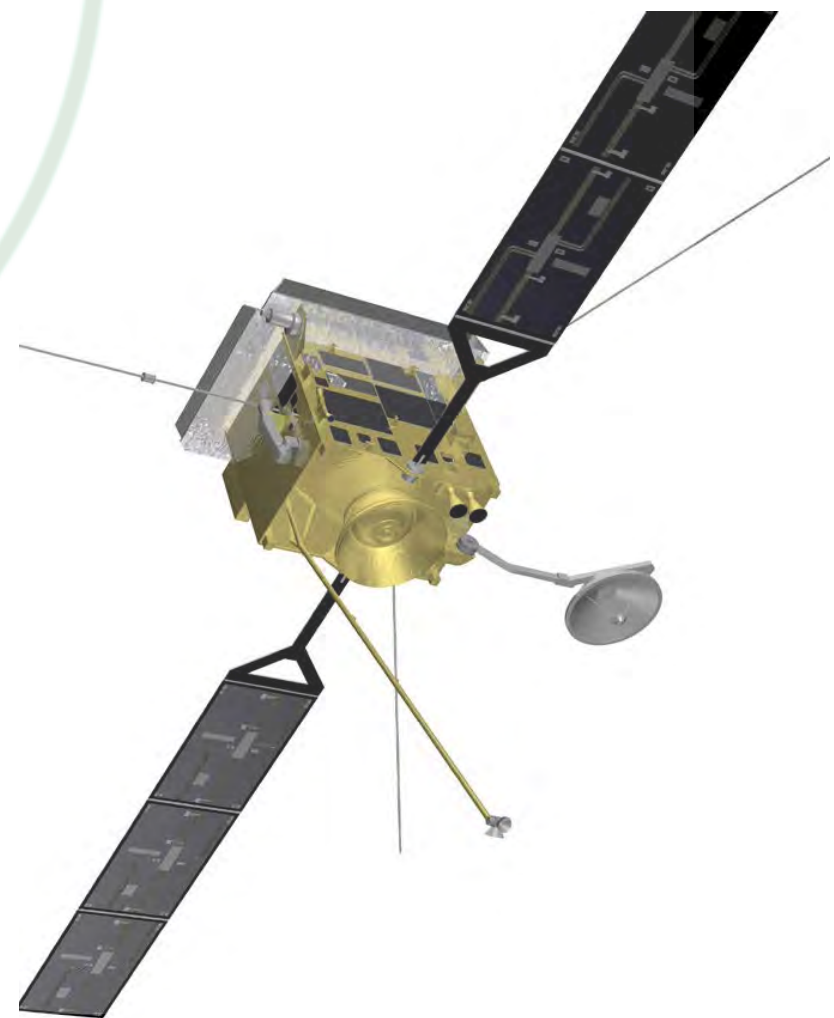
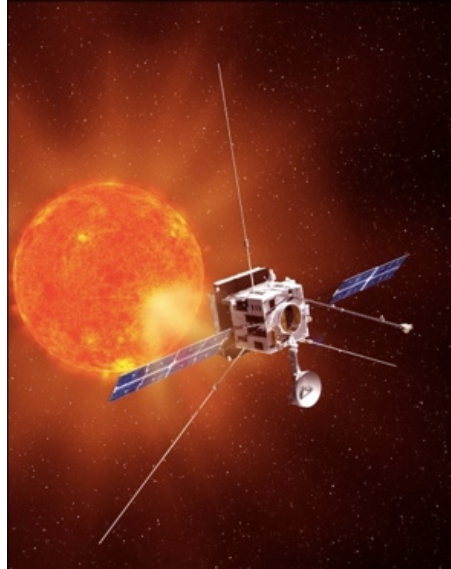
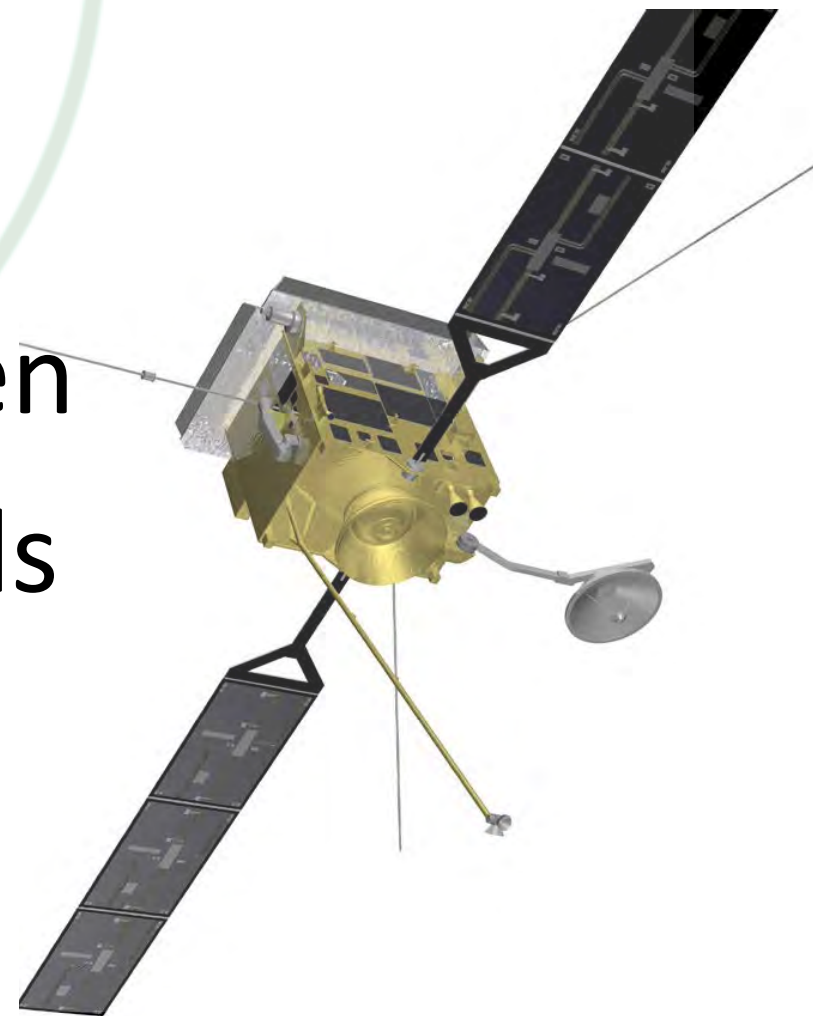


Die VUV-Instrumente der Solar Orbiter Mission

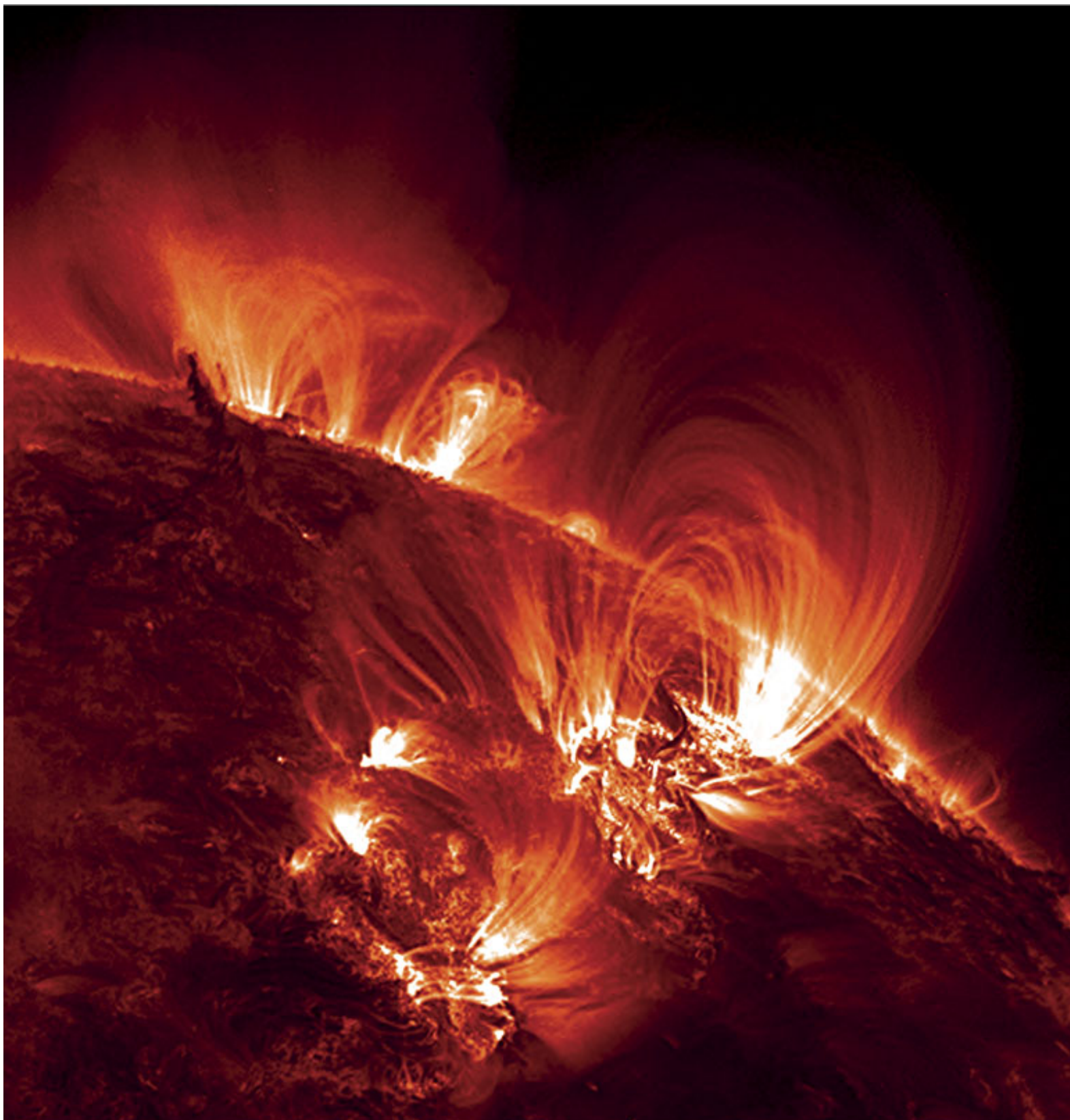


Überblick

- Einleitung: Die Solar Orbiter Mission
- Die Nutzlastinstrumente
- Der VUV Spektrograph “SPICE”
- SPICE Teleskopspiegel Design
- Test Programm der Spiegelproben
- Design und Fertigung des Spiegels



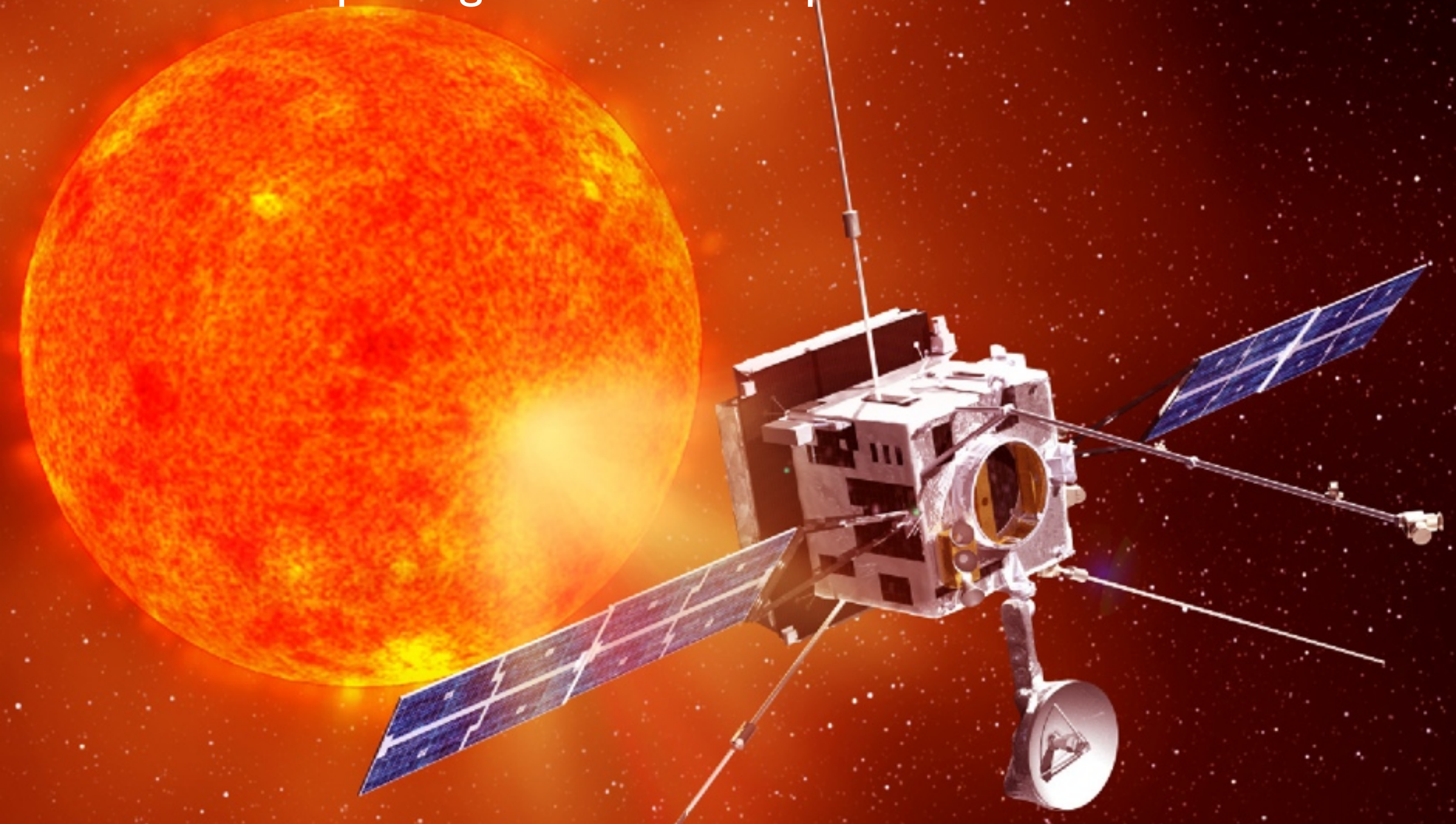
EUV-Emission der Sonne





Solar Orbiter

Exploring the Sun-Heliosphere Connection

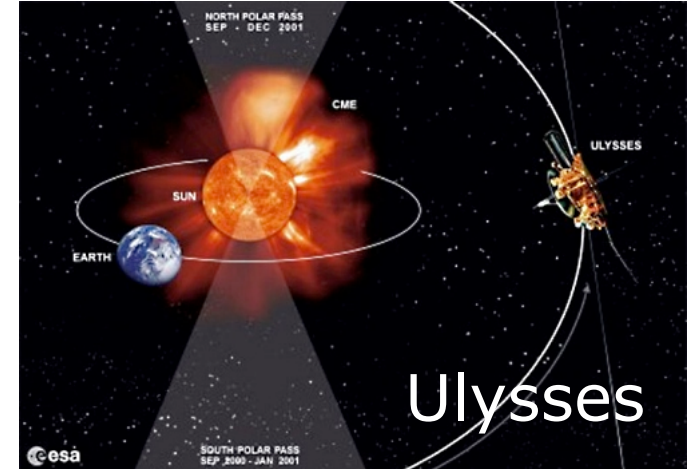


Solar Orbiter

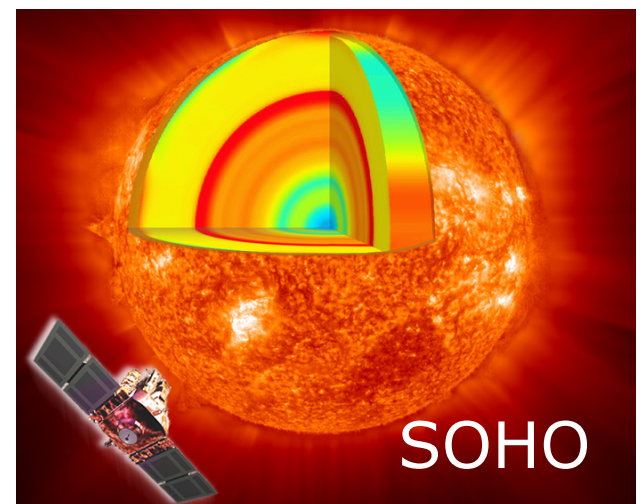
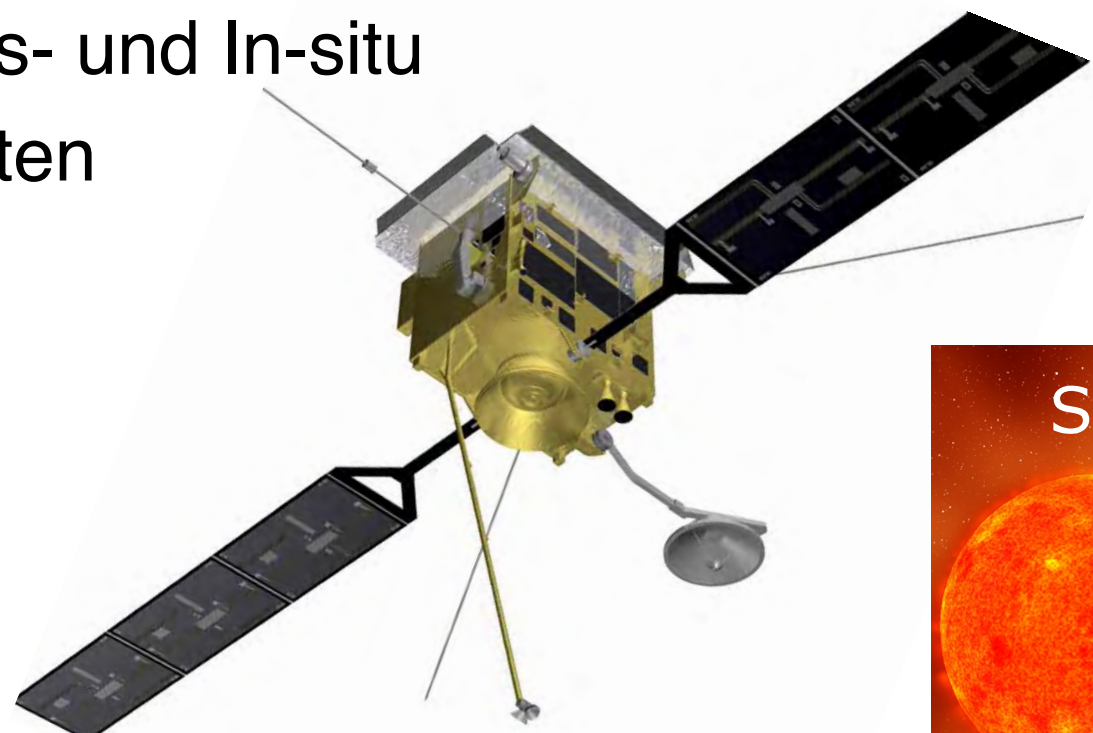
Exploring the Sun-Heliosphere Connection



- Erste “Medium-Class Mission in ESA’s Cosmic Vision Programm 2015 - 2025 gemeinsam mit NASA



- Spezialisierte Nutzlast mit 10 Fernerkundungs- und In-situ Messinstrumenten



Solar Orbiter

Exploring the Sun-Heliosphere Connection

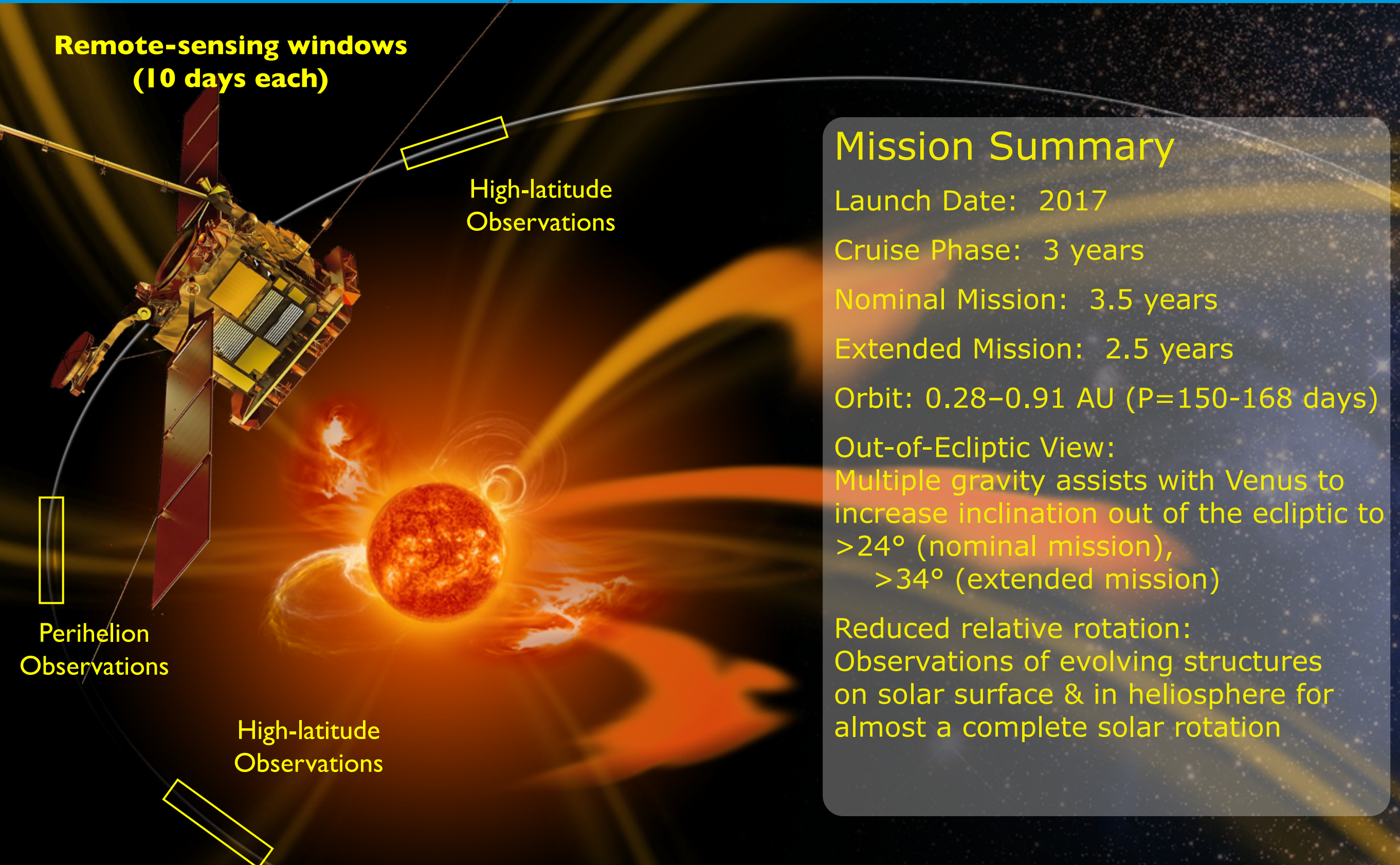


Die Raumfahrt:

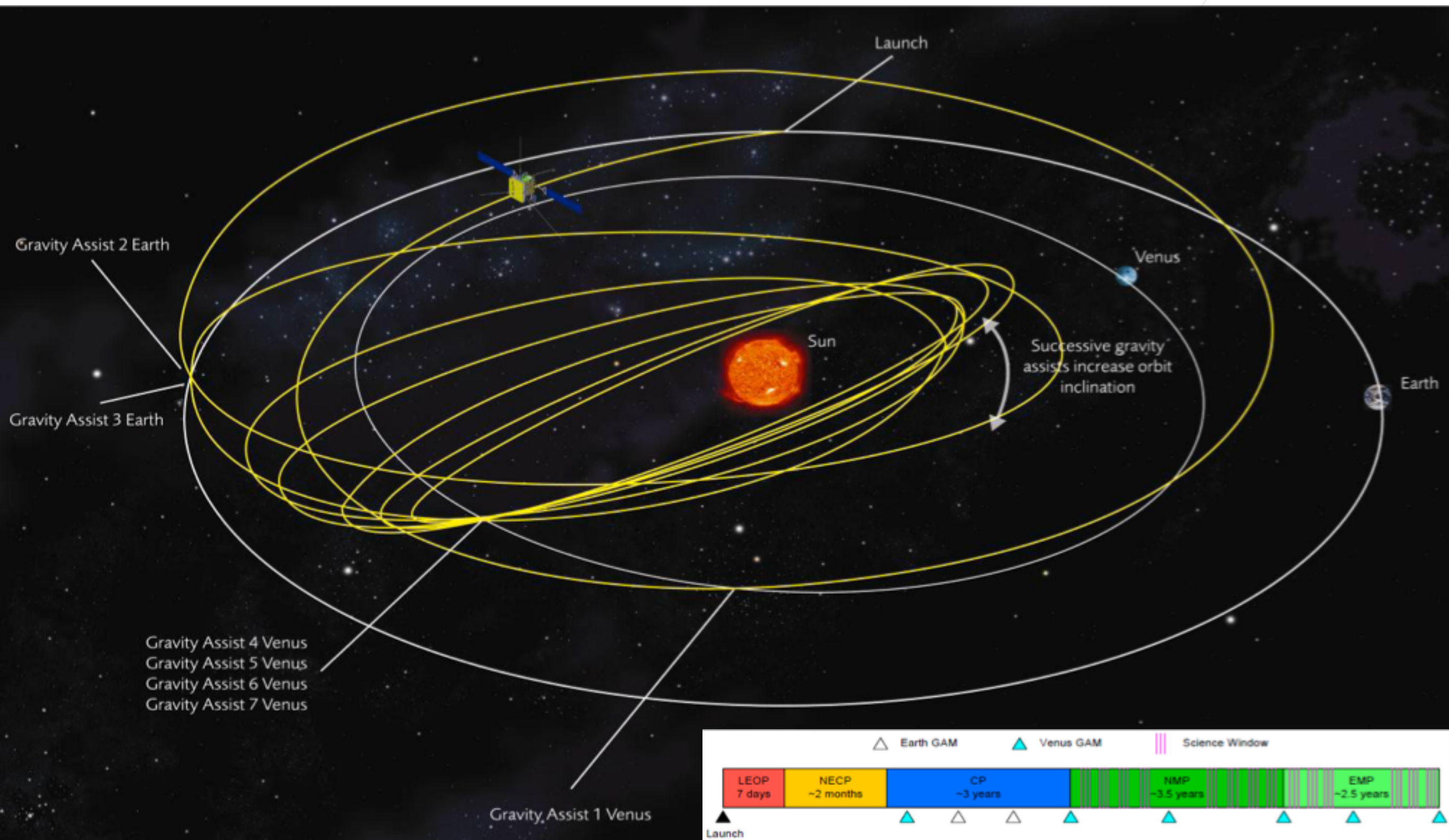
- Drei-Achsen-stabilisiert
- Gewicht: 1,8 t
- Sonnenzentriert mit Ausrichtungsmöglichkeit +- 2°
- Perihel: 0.28 AU
- Hitzeschild notwendig

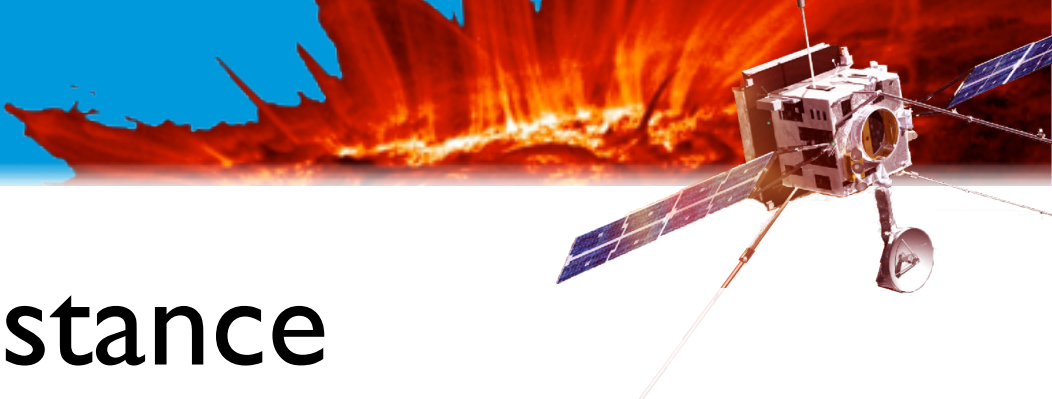
Solar Orbiter

Exploring the Sun-Heliosphere Connection

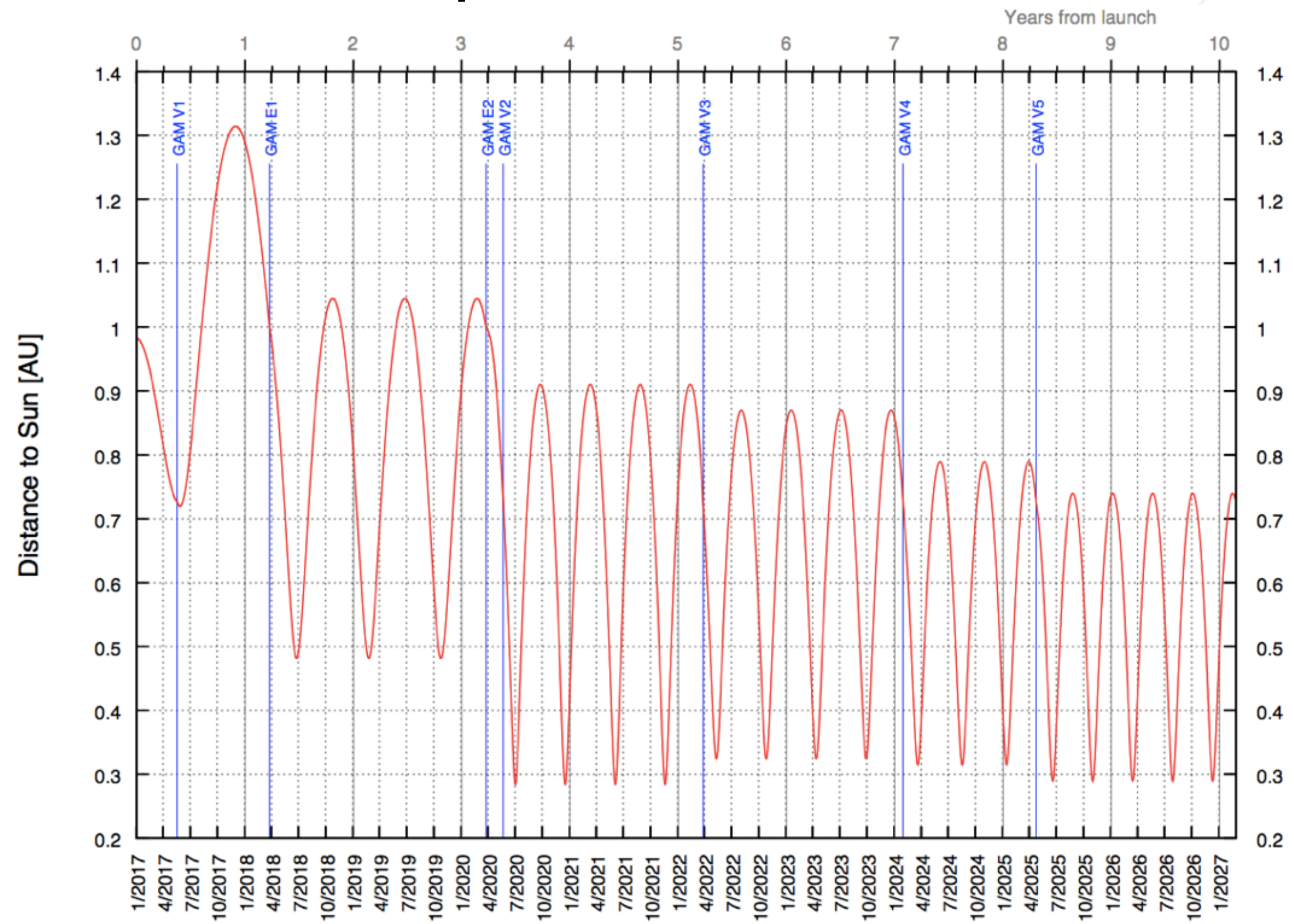


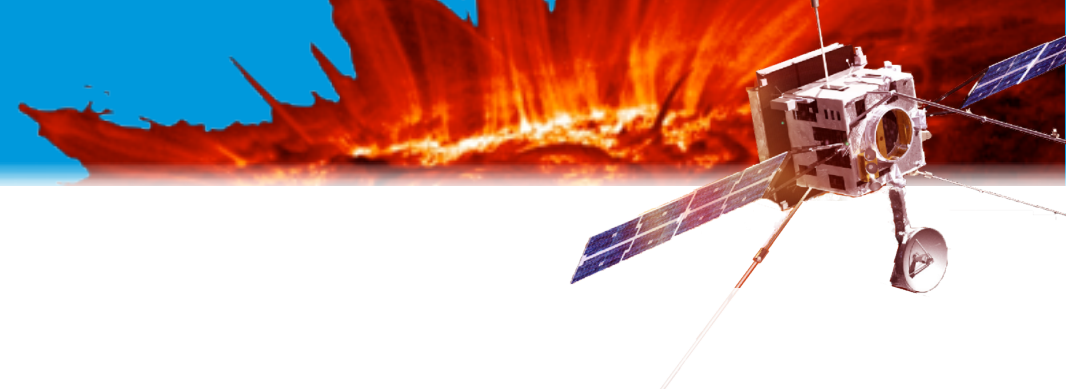
Missionsprofil



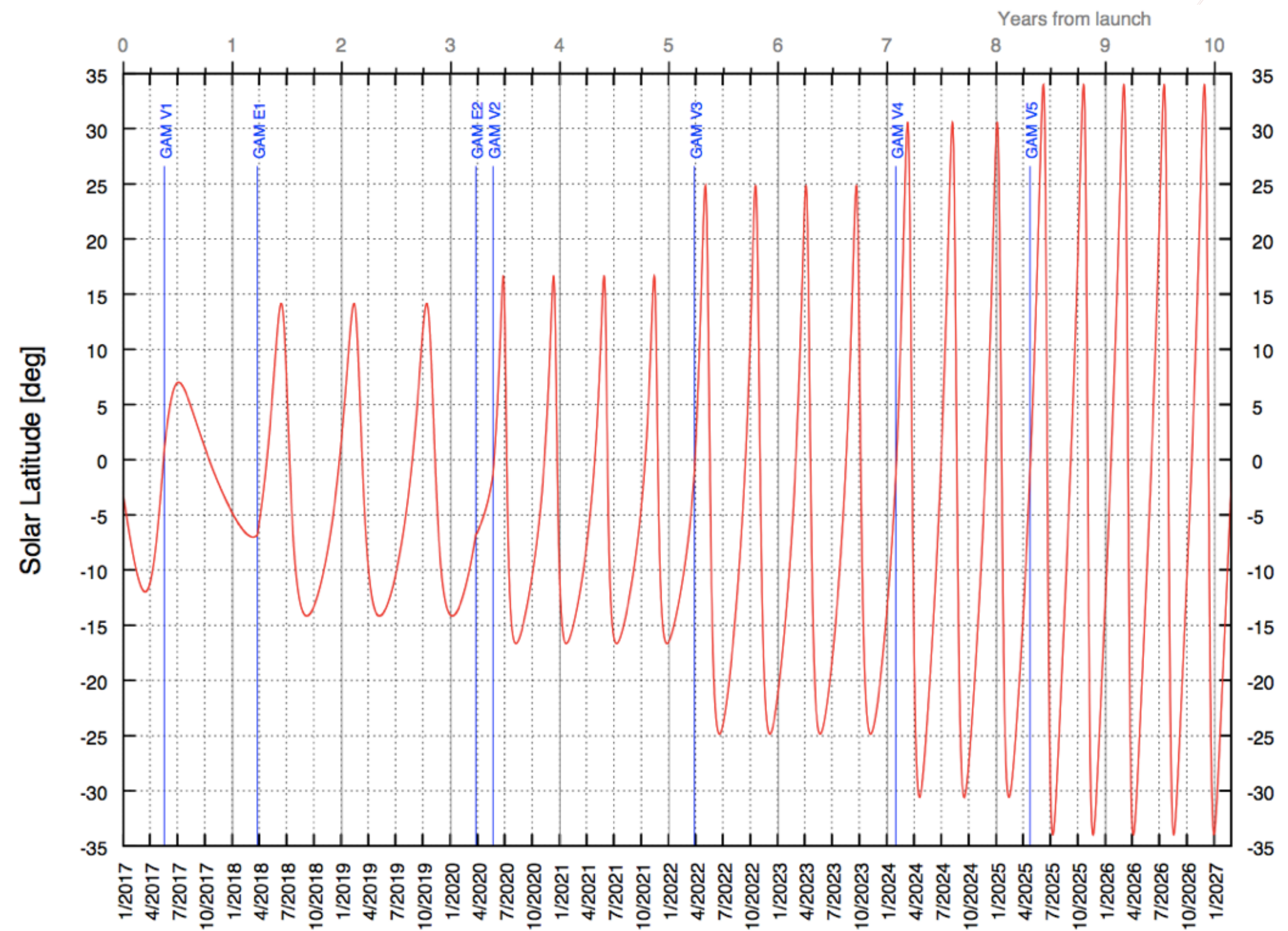


2017 Launch: Sun-Spacecraft Distance



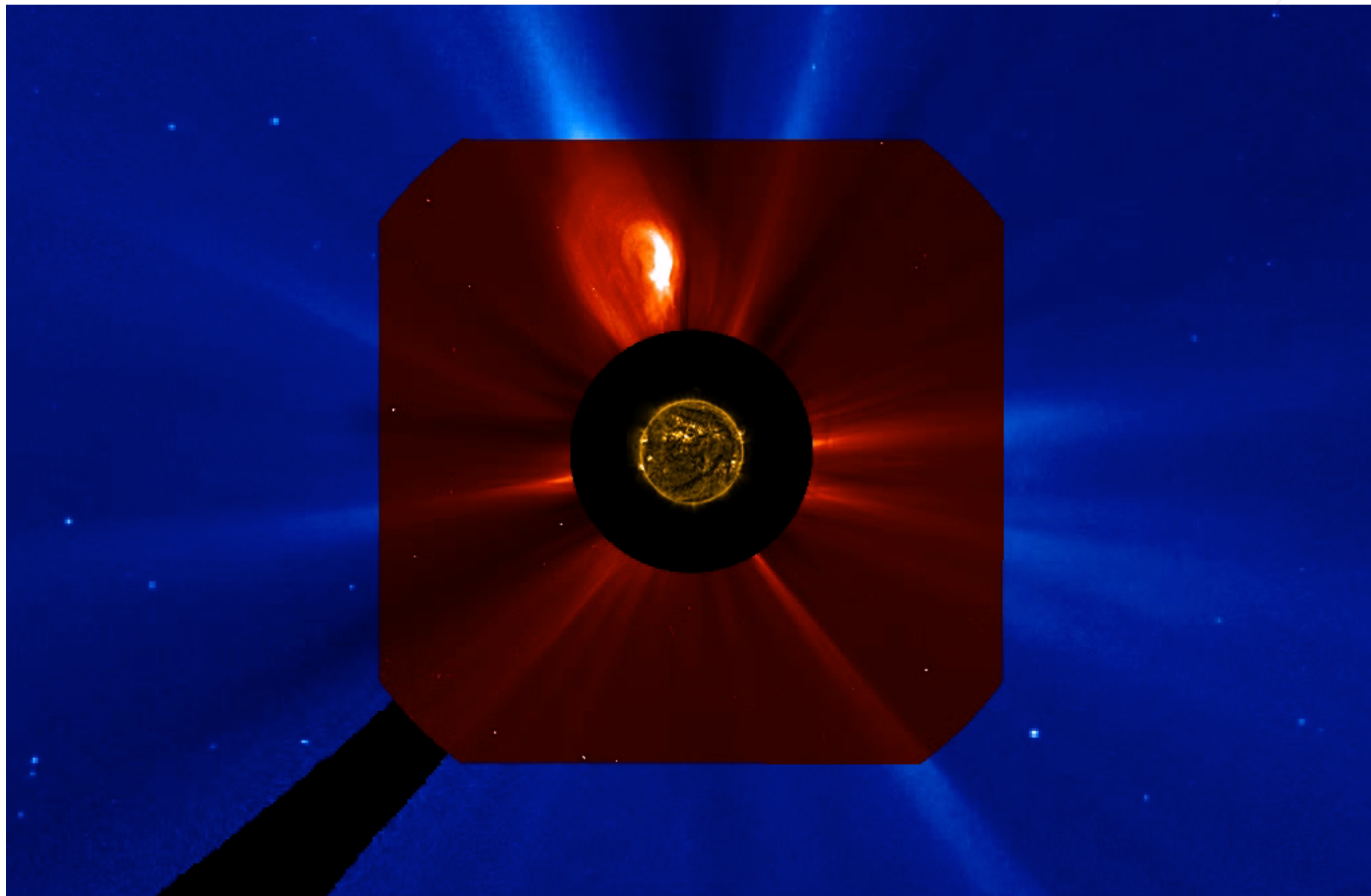


2017 Launch: Orbit Inclination





Sonnenkorona, Sonnenwind und magnetische Aktivität → Dynamik der Heliosphäre



AIA 171 - 2012/03/01 - 00:00:00Z

LASCO C2 - 2012/03/01 - 00:00:06Z

LASCO C3 - 2012/03/01 - 00:06:05Z

Solar Orbiter

Exploring the Sun-Heliosphere Connection

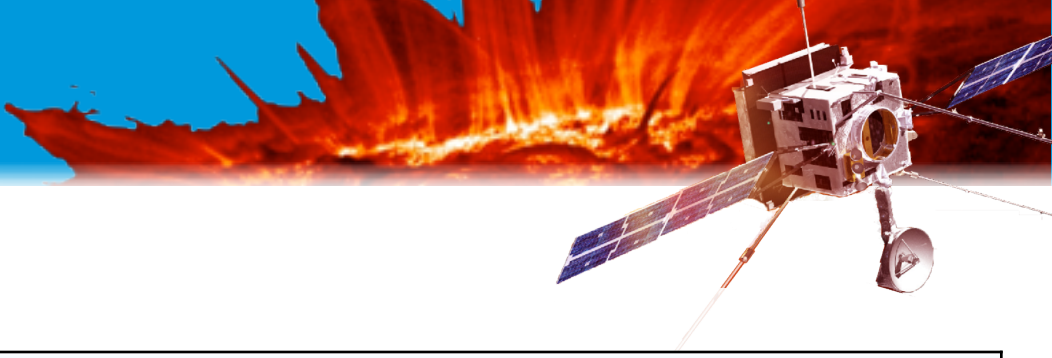


2017_case2_1ate.bsp

2020-03-21

Courtesy W.Thompson

Dist: 0.999
Lon: 94.5
Lat: -6.9



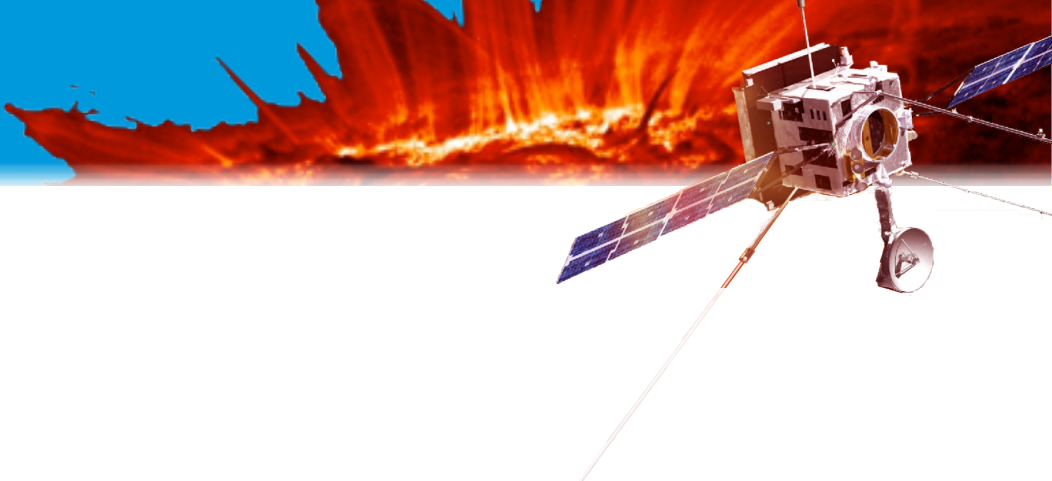
Instrumente der Nutzlast

In-Situ Instruments

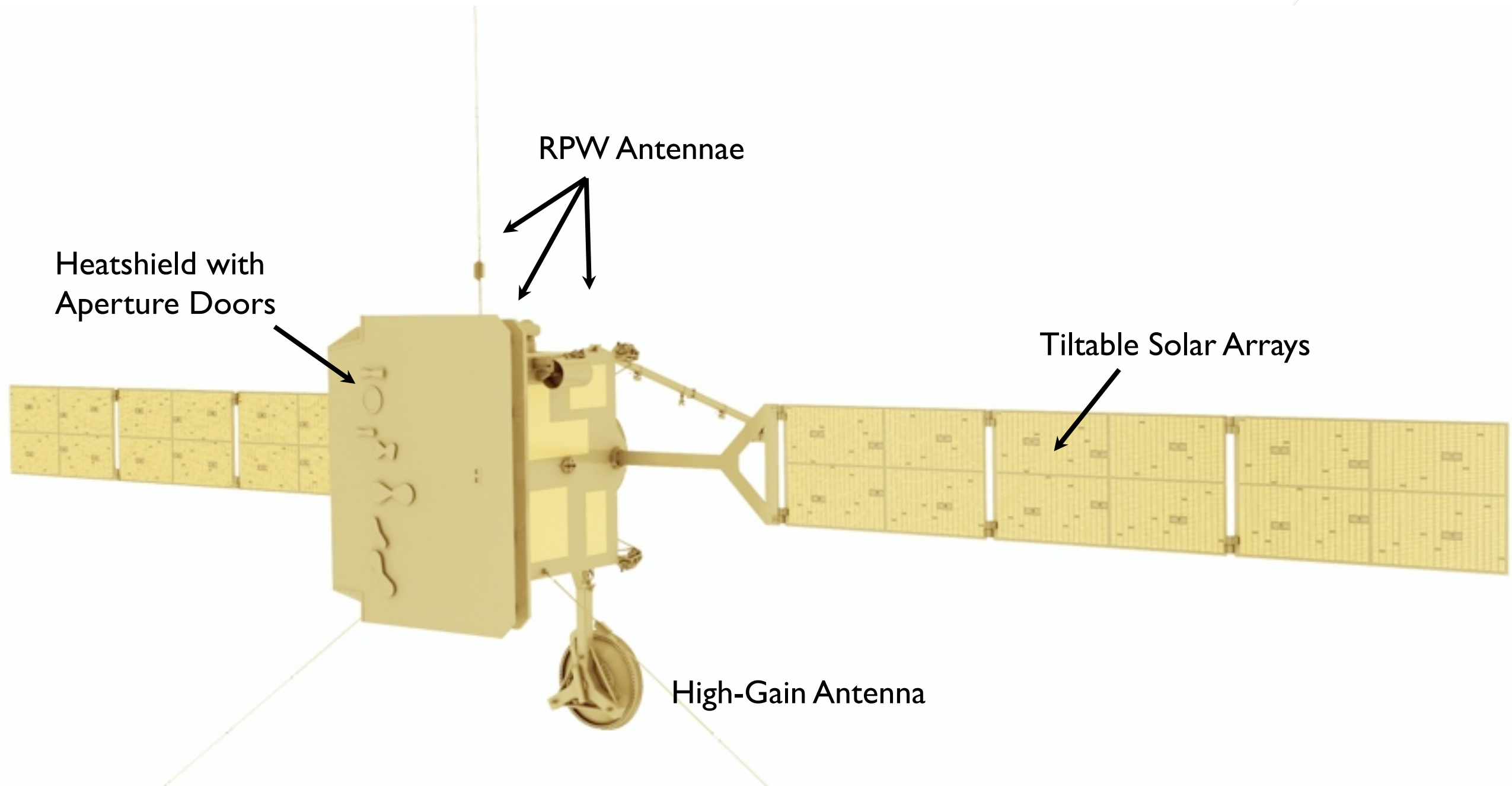
EPD	Energetic Particle Detector	J. Rodríguez-Pacheco 	Composition, timing and distribution functions of energetic particles
MAG	Magnetometer	T. Horbury 	High-precision measurements of the heliospheric magnetic field
RPW	Radio & Plasma Waves	M. Maksimovic 	Electromagnetic and electrostatic waves, magnetic and electric fields at high time resolution
SWA	Solar Wind Analyser	C. Owen 	Sampling protons, electrons and heavy ions in the solar wind

Remote-Sensing Instruments

EUI	Extreme Ultraviolet Imager	P. Rochus 	High-resolution and full-disk EUV imaging of the on-disk corona
METIS	Multi-Element Telescope for Imaging and Spectroscopy	E. Antonucci 	Imaging of the off-disk corona
PHI	Polarimetric & Helioseismic Imager	S. Solanki 	High-resolution vector magnetic field, line-of-sight velocity in photosphere, visible imaging
SoloHI	Heliospheric Imager	R. Howard 	Wide-field visible imaging of the solar off-disk corona
SPICE	Spectral Imaging Coronal Environment	Instrument with high-res spectrographic capabilities	
STIX	Spectrometer/Telescope for Imaging X-rays	S. Krucker 	Imaging spectroscopy of solar X-ray emission

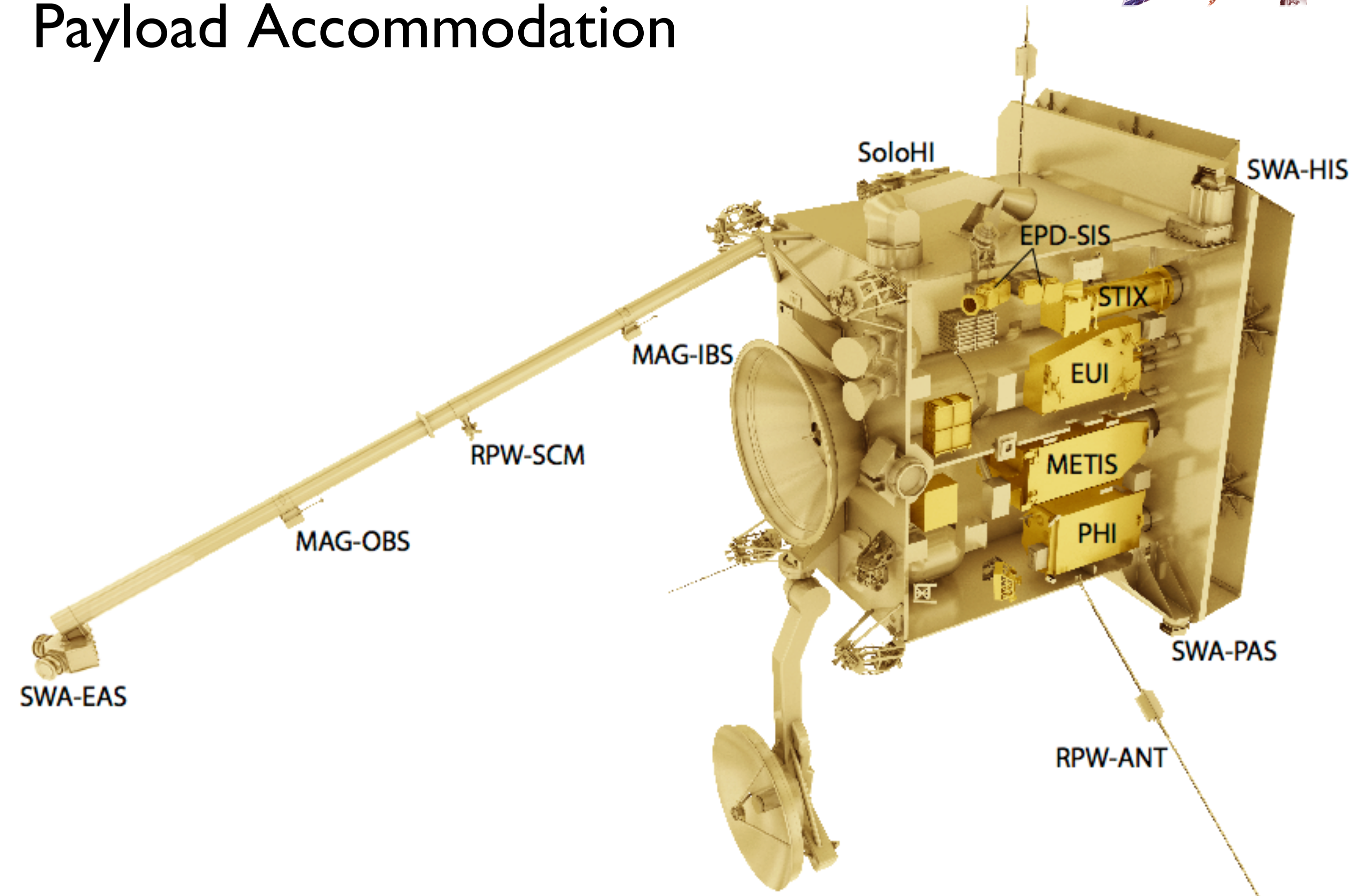


The Spacecraft



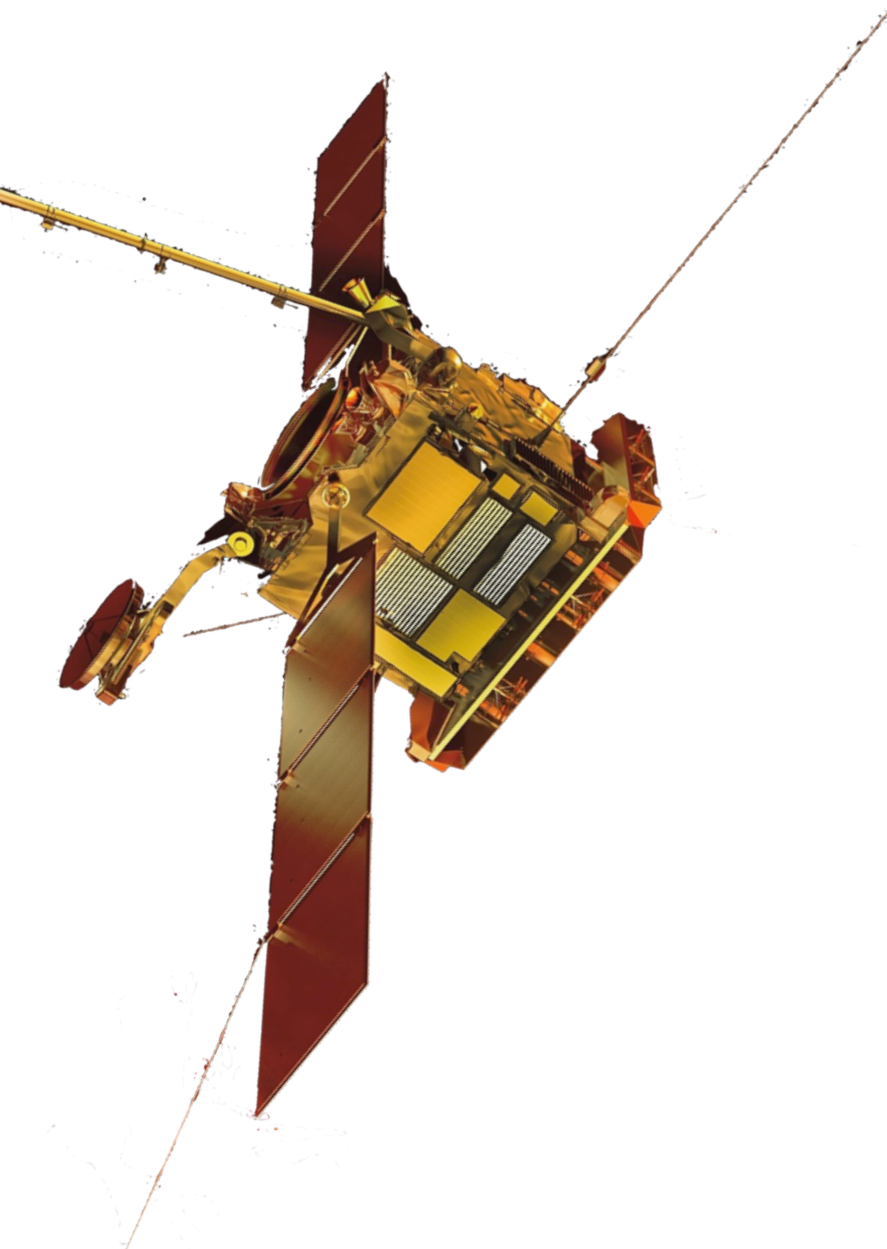


Payload Accommodation



Solar Orbiter

Exploring the Sun-Heliosphere Connection



Missions-Charakteristik

- In-situ Instrumente für Sonnenwind und energetische Teilchenstrom von der Sonne
- Fernerkundungsinstrumente zur Beobachtung der Sonnenscheibe und der Korona
- Gleichzeitige hochauflöste Beobachtungen der Sonne mit Ausrichtung der Raumfahre auf Zielgebiete
- Autonome Messinstrumente, die gemeinsam nach Zeitplan operieren



Nutzlastinstrumente

Remote-sensing-Instrumente

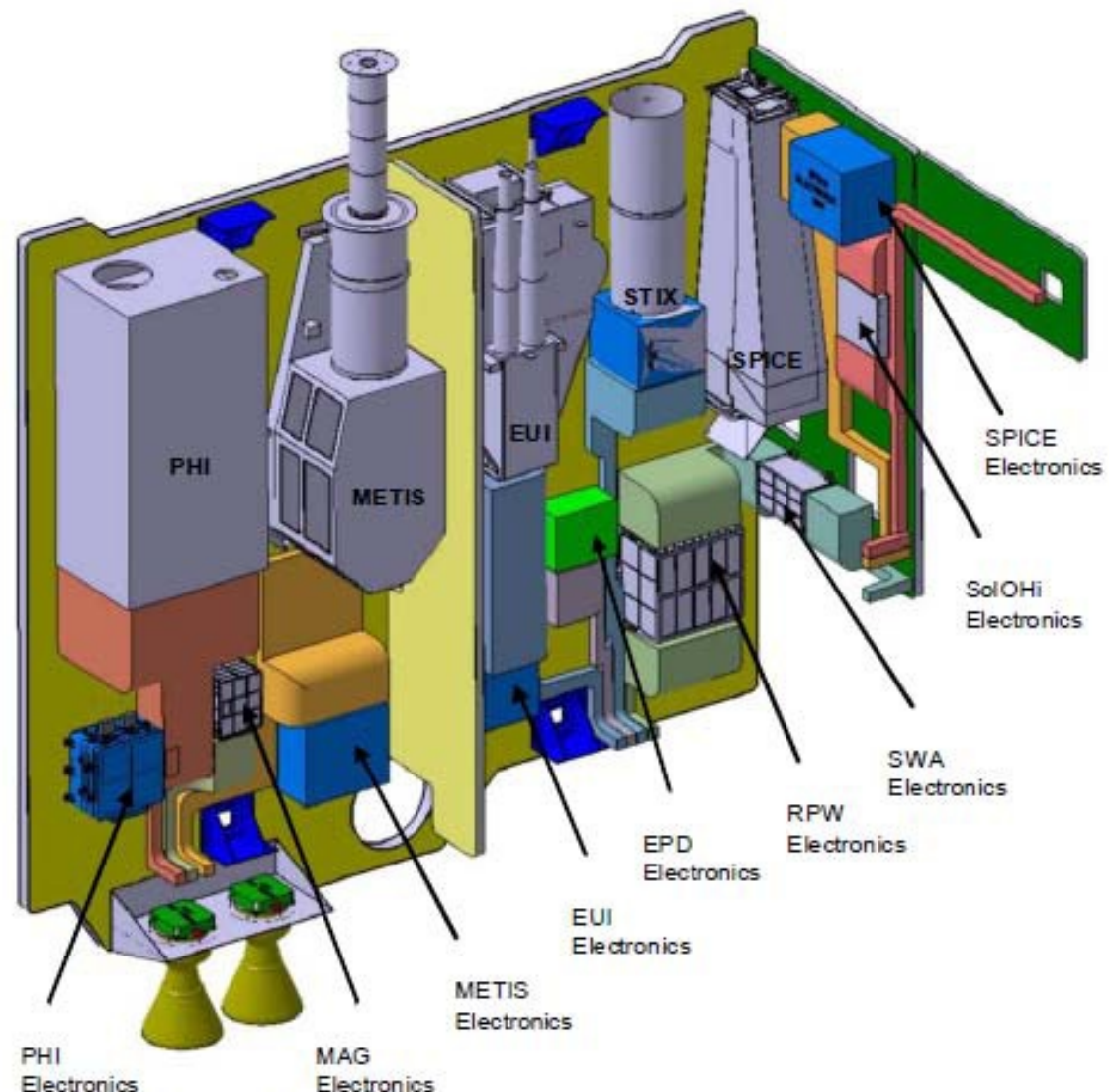


Figure 5-2 Internal Payload Accommodation on -Y Wall (including Harness Volume)

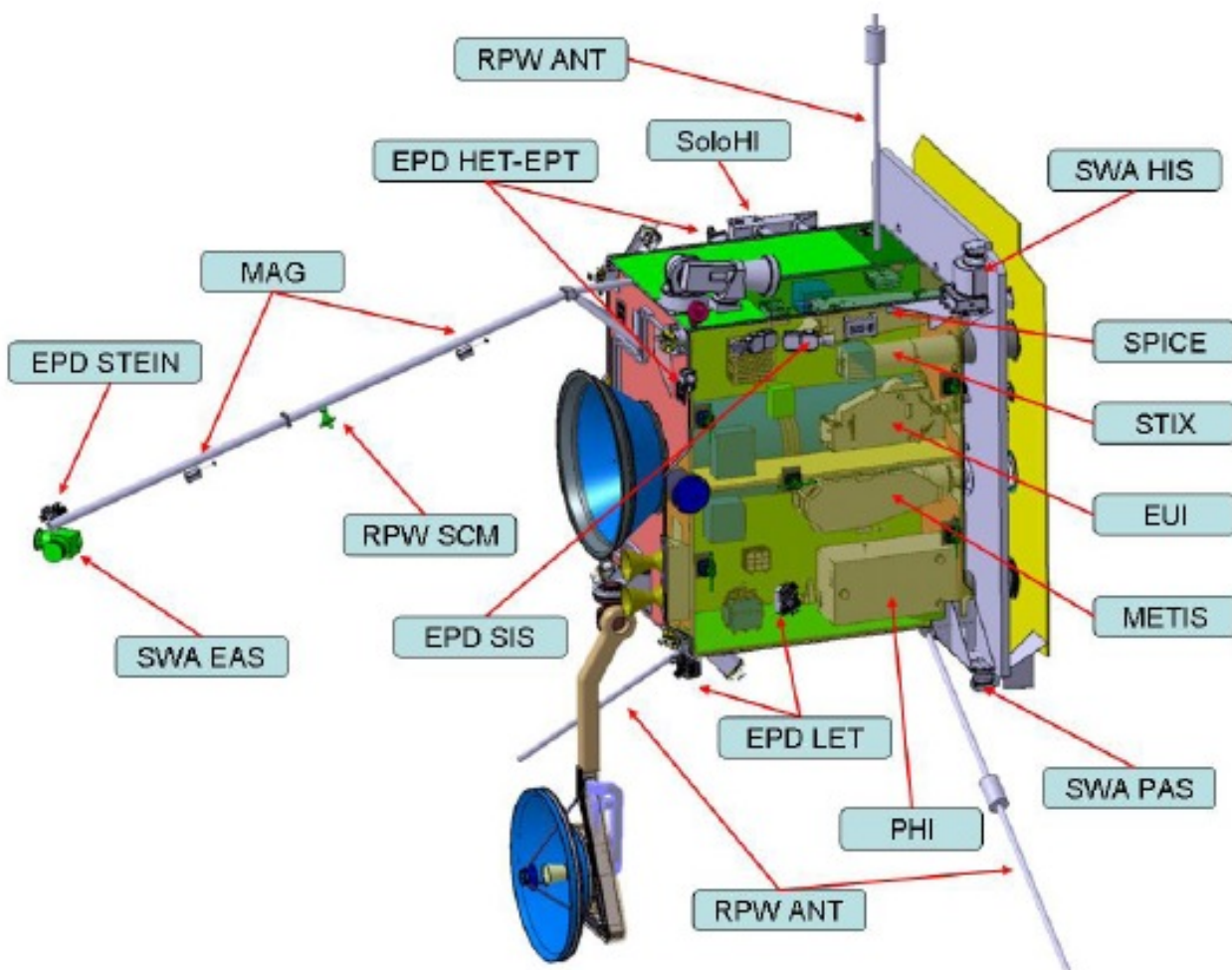


Figure 5-1 External Overview of Payload Accommodation

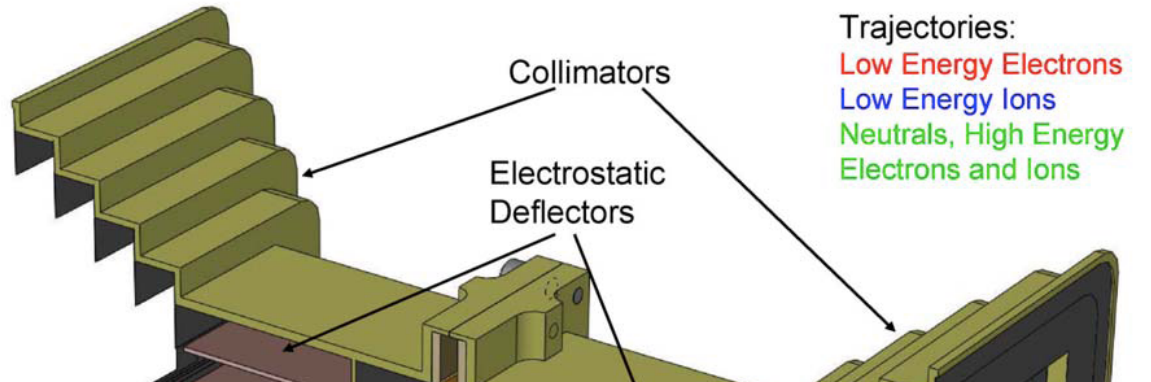
In-situ-Instrumente

SOLAR ORBITER

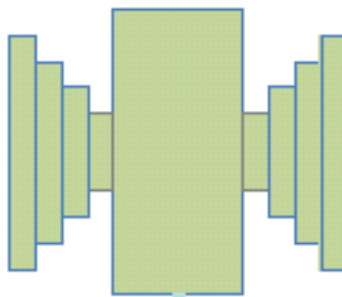
In-situ instruments (I)



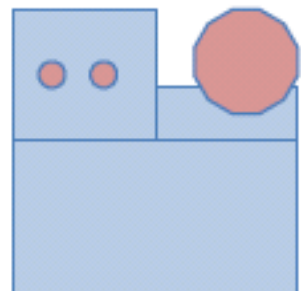
EPD Energetic Particle Detectors



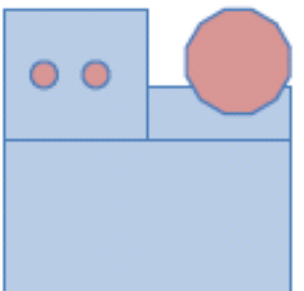
STEIN



HET-EPT_1



HET-EPT_2



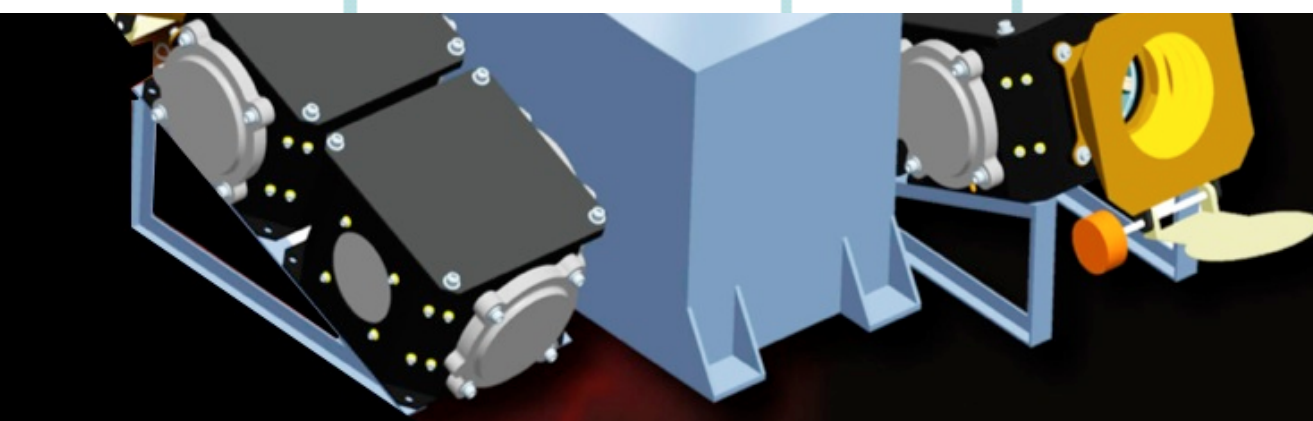
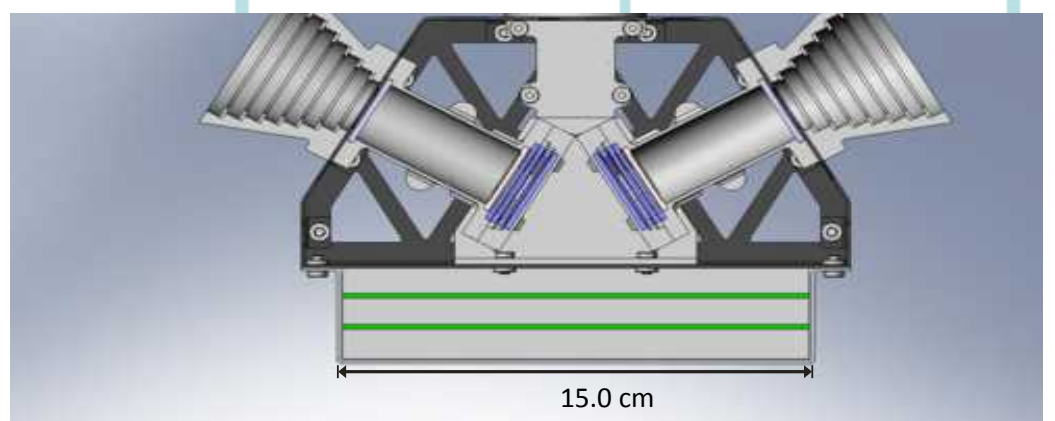
LET_1



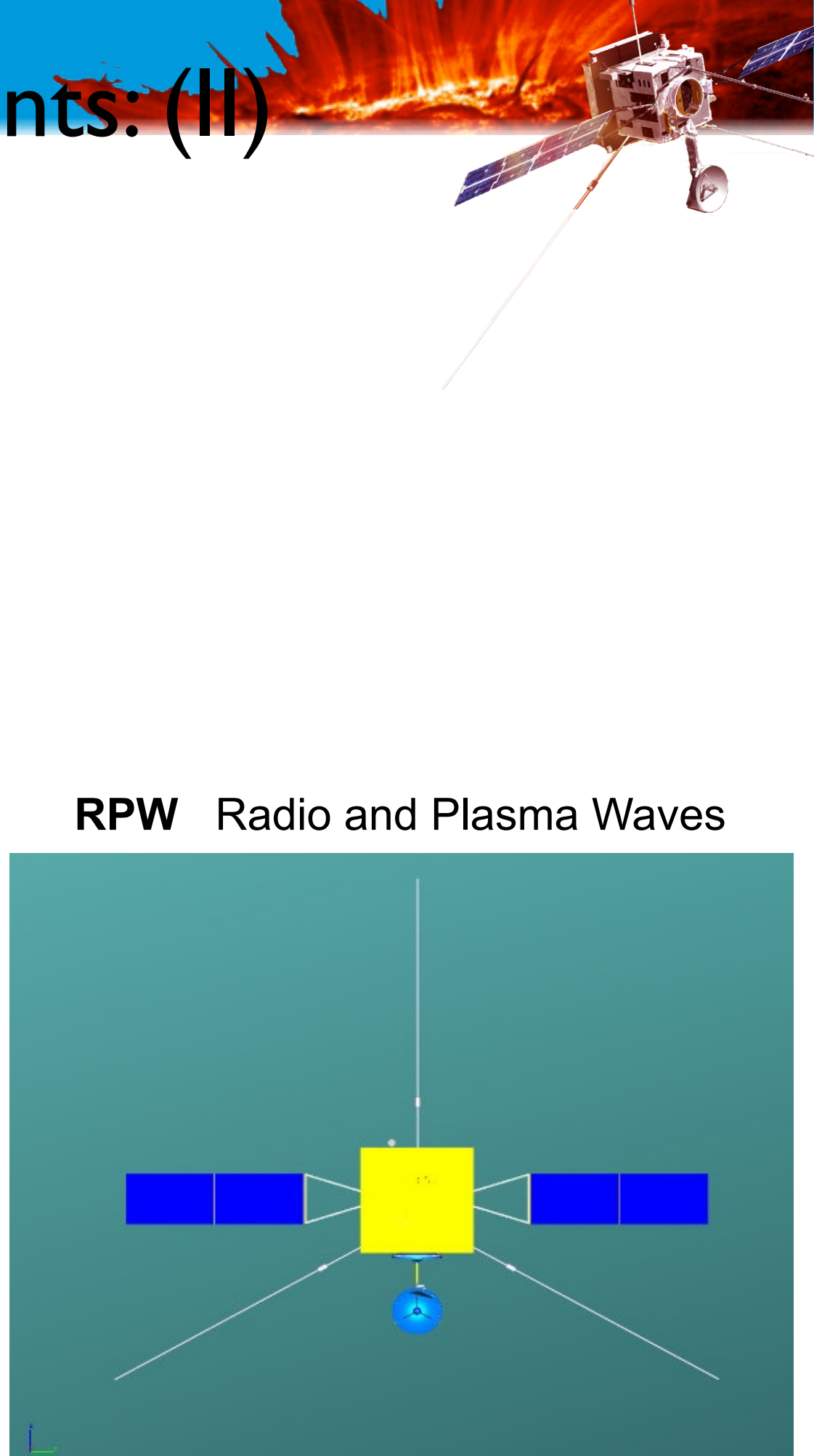
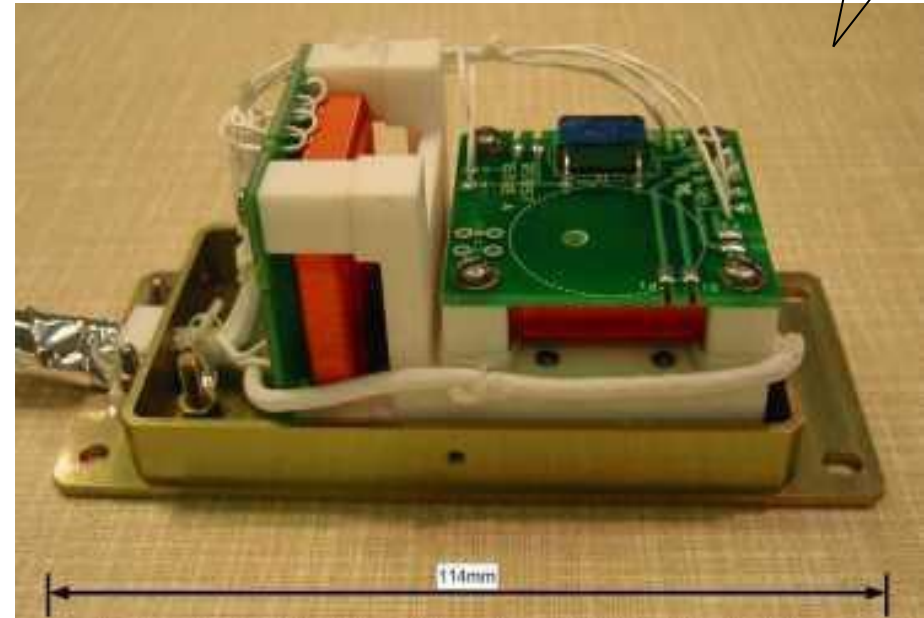
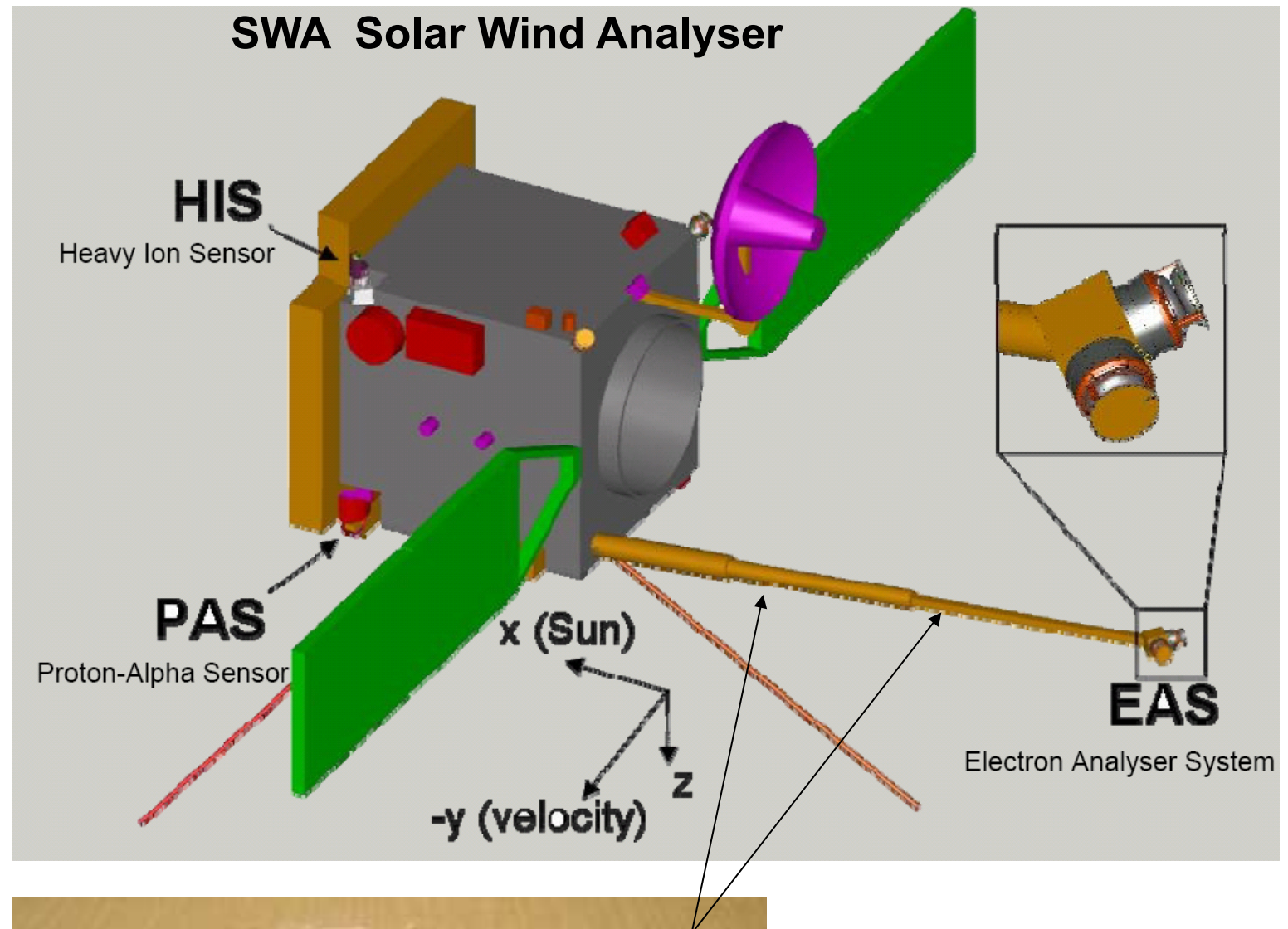
LET_2



SIS



SOLAR ORBITER In-situ instruments: (II)

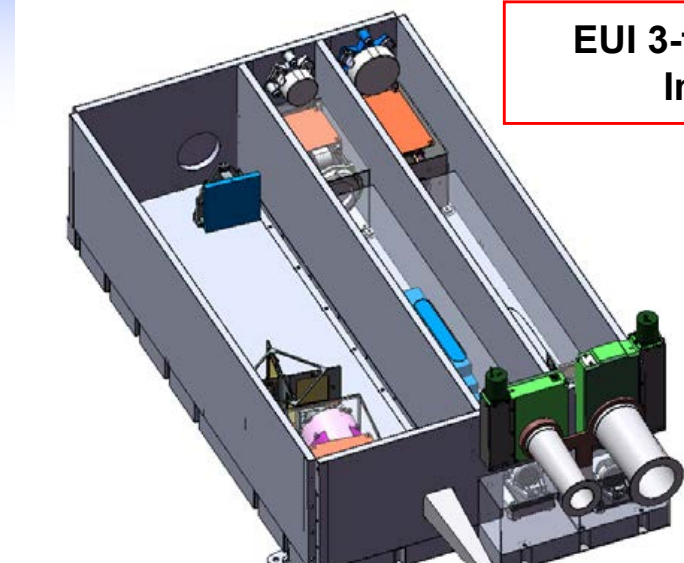


Remote Sensing Instruments

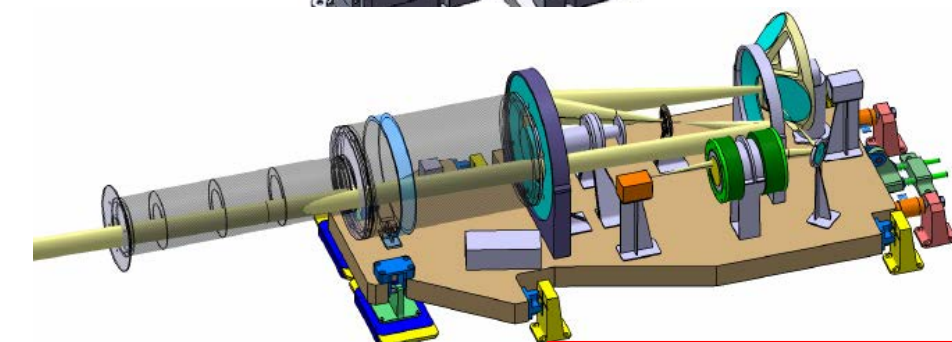


Suite of 6 Instruments

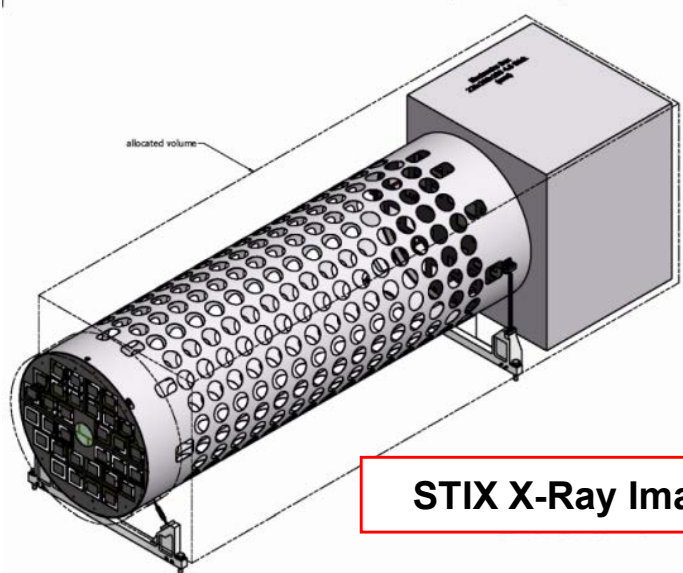
- **Imagers / polarimeter / coronograph**
(EUI, SOLOHI, PHI, METIS)
 - Bandwidth: Visible, UV, EUV bands
- **Spectral Imagers / Spectrometers**
(SPICE, STIX)
 - Bandwidth: EUV and x-ray



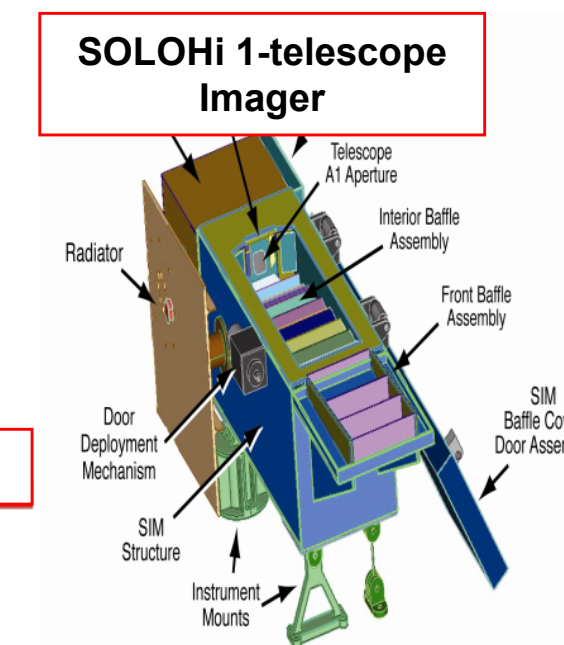
EUI 3-telescopes
Imager



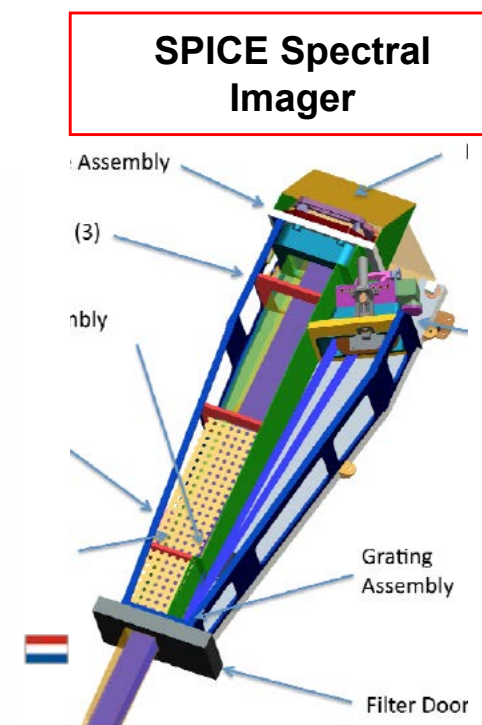
METIS 2-channels
Coronograph



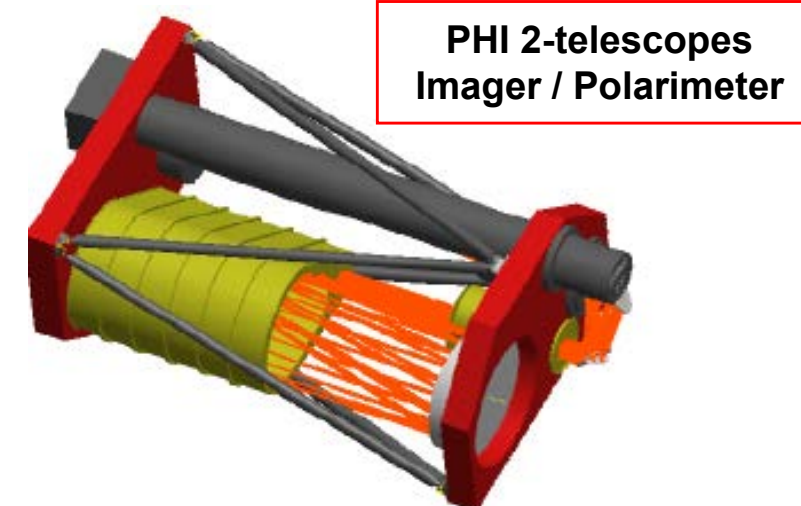
STIX X-Ray Imager



SOLOHI 1-telescope
Imager

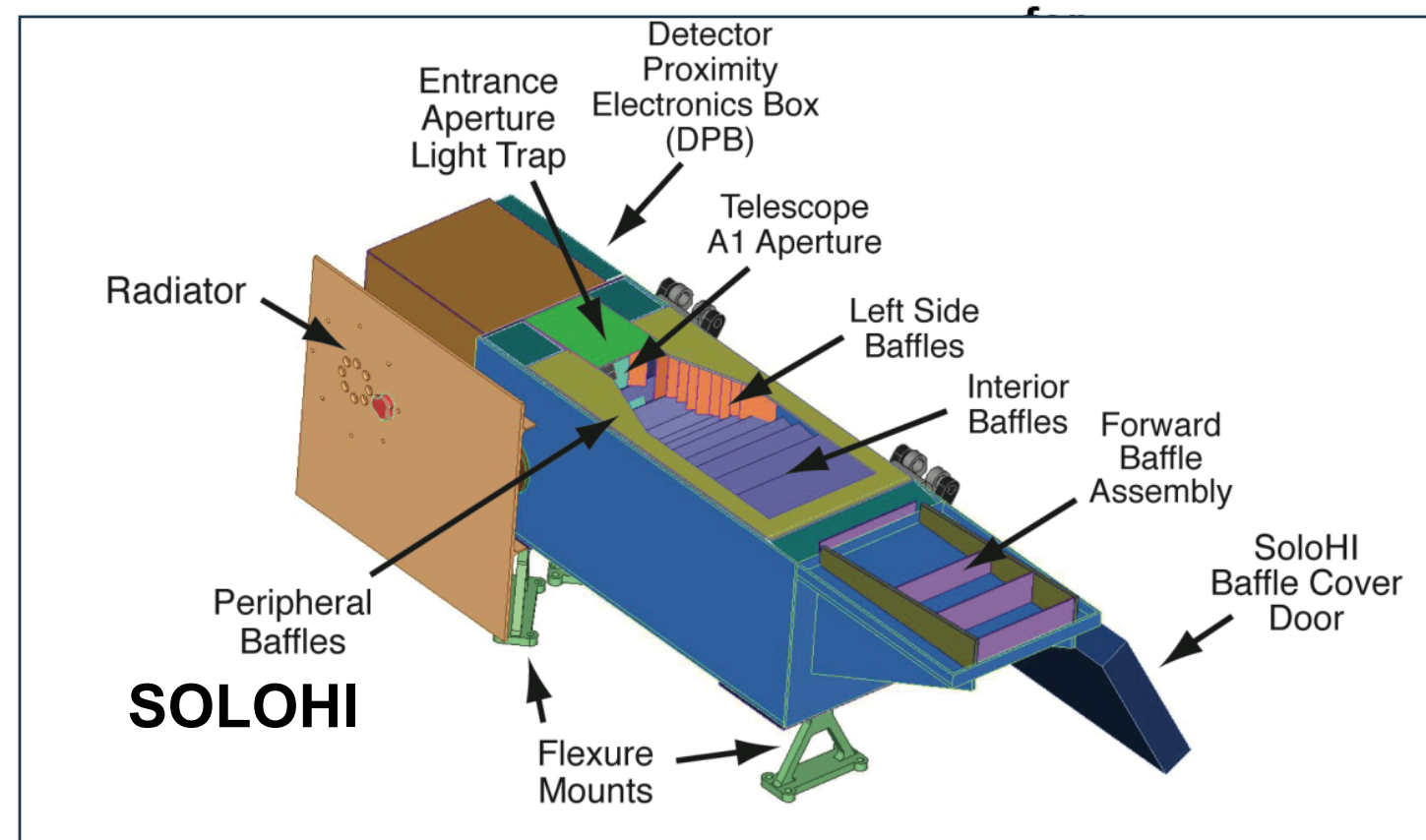
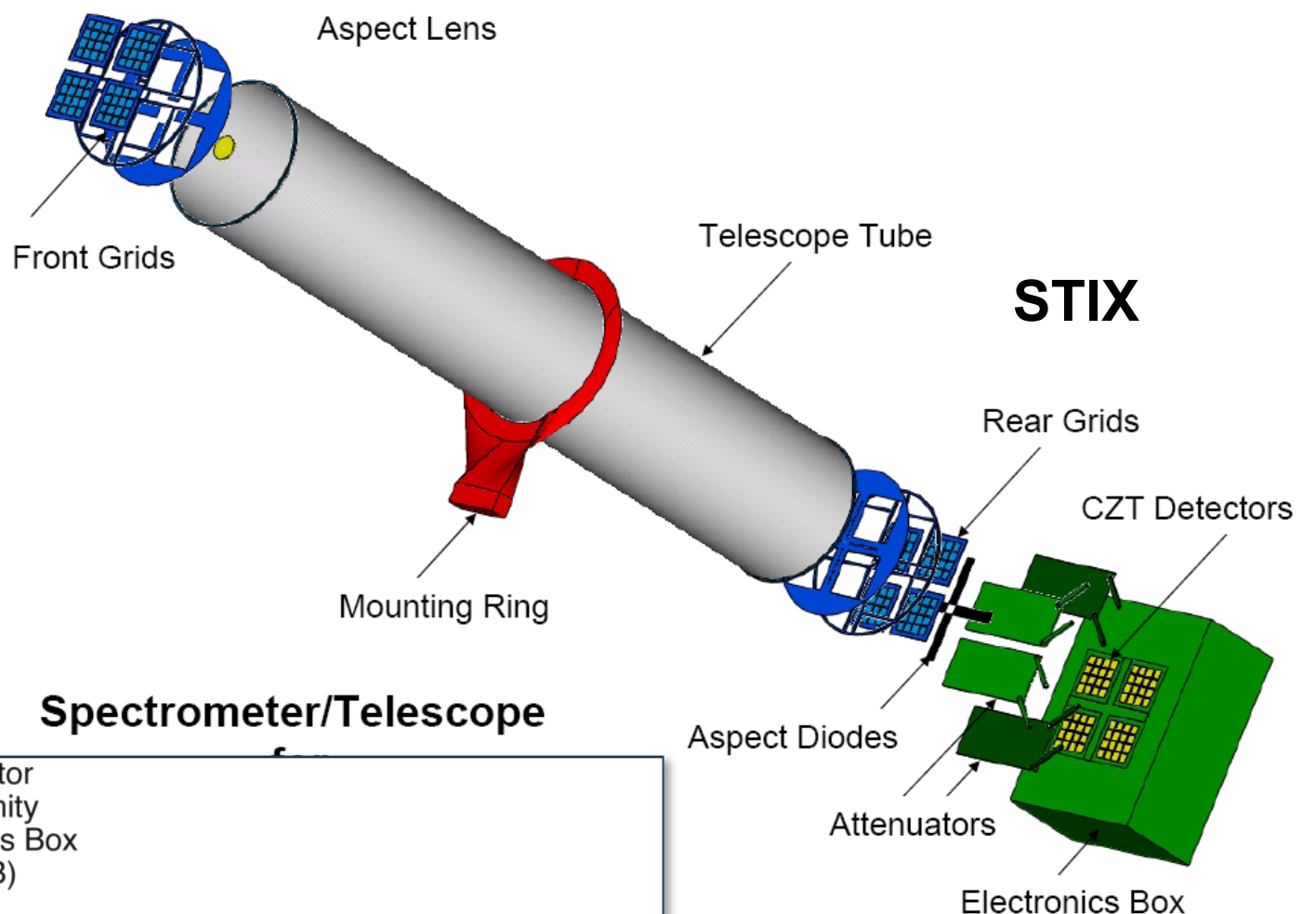
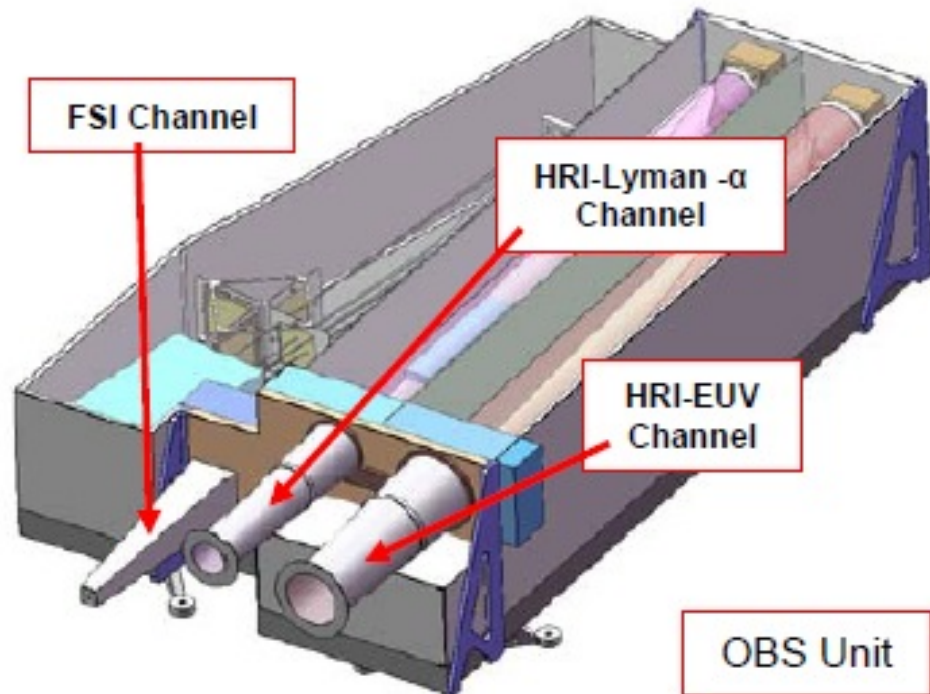
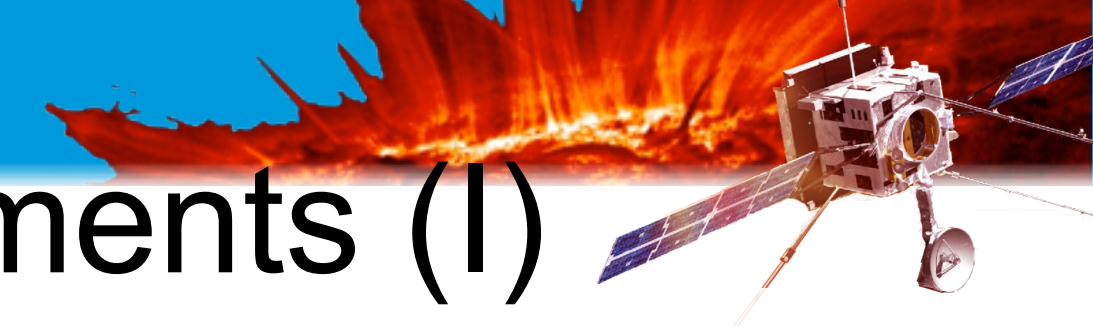


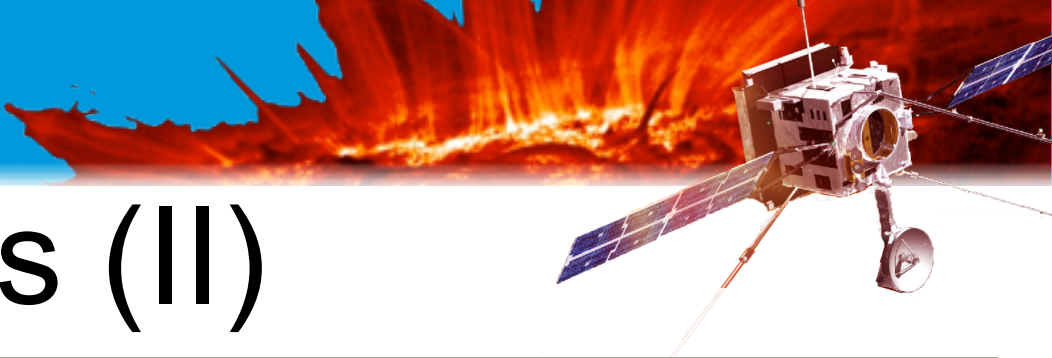
SPICE Spectral
Imager



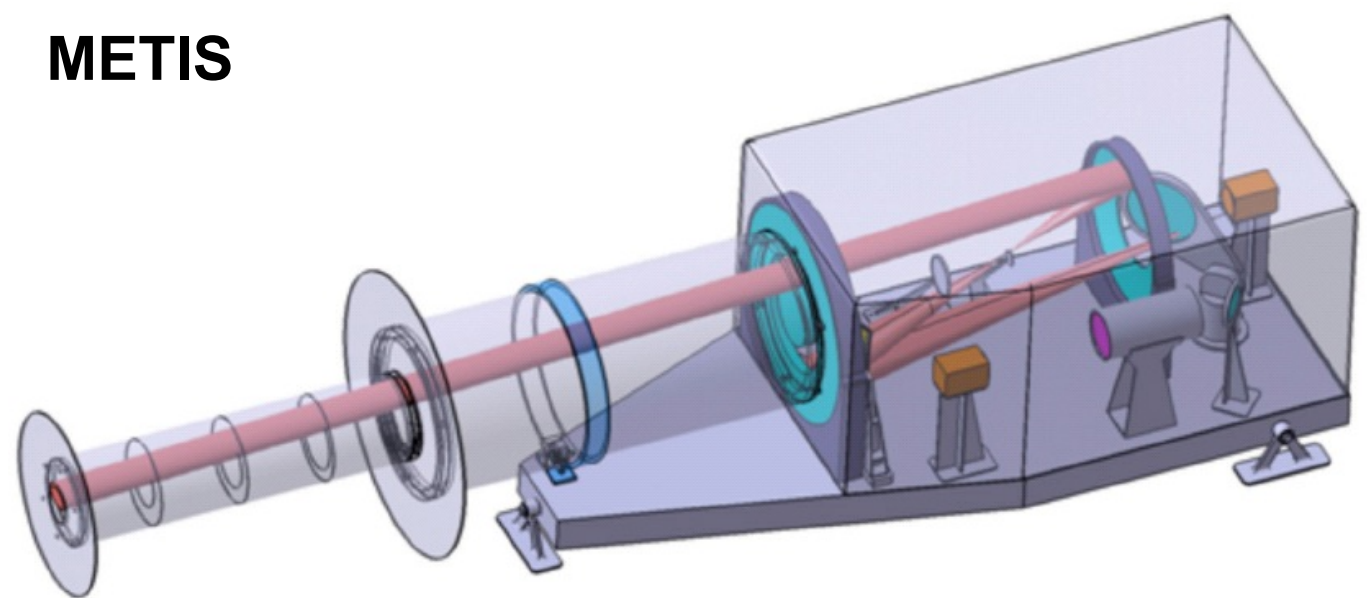
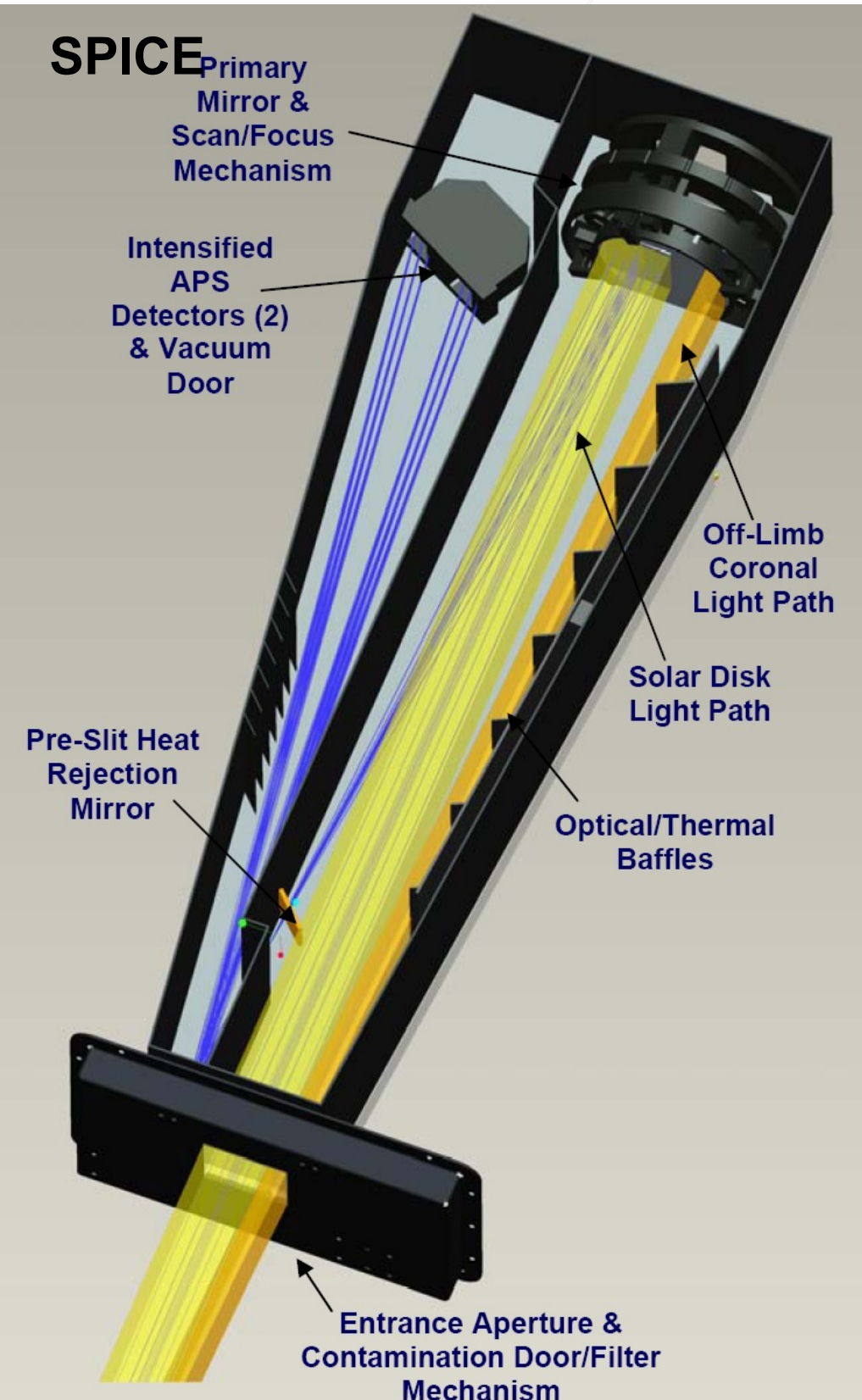
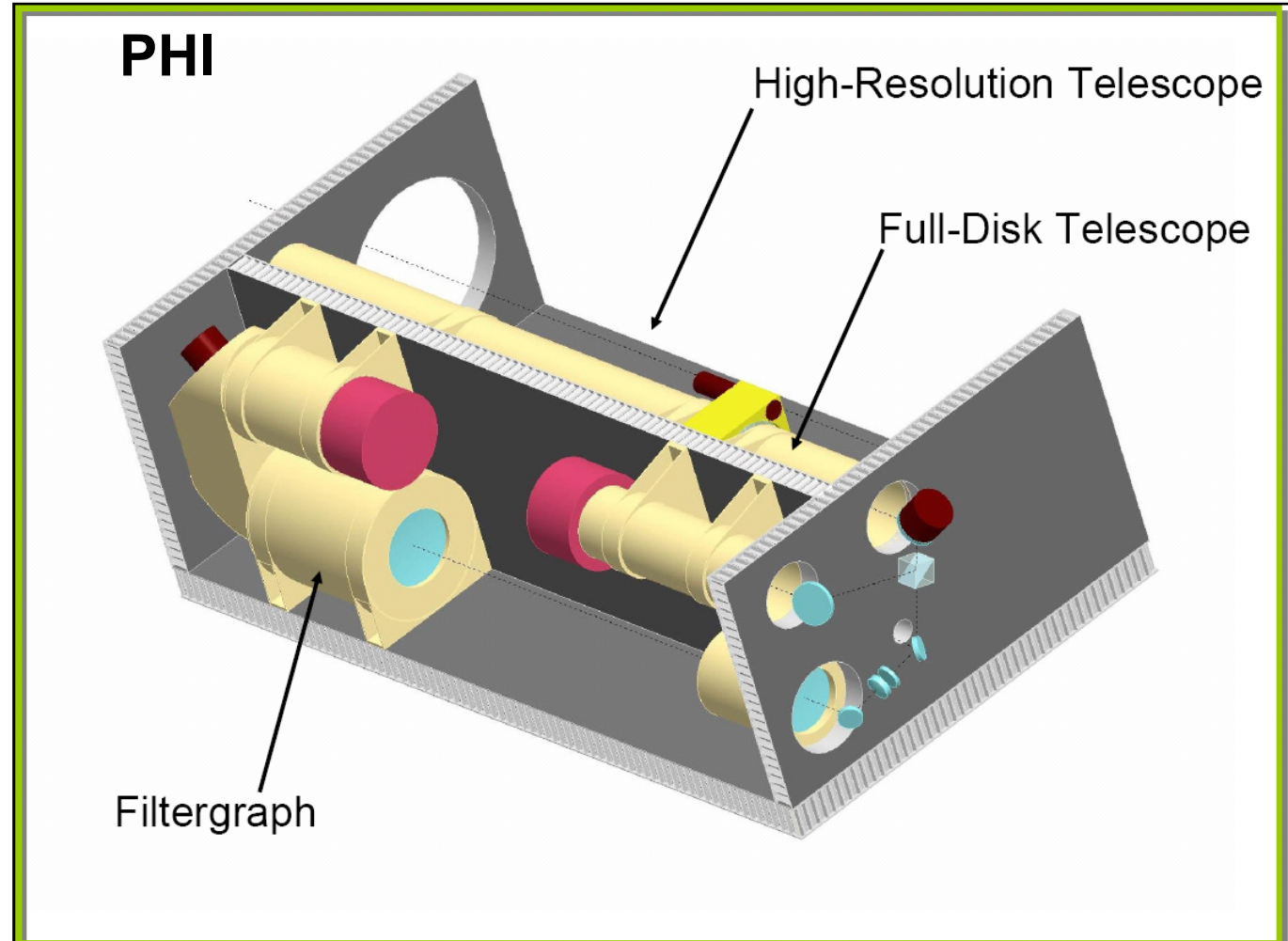
PHI 2-telescopes
Imager / Polarimeter

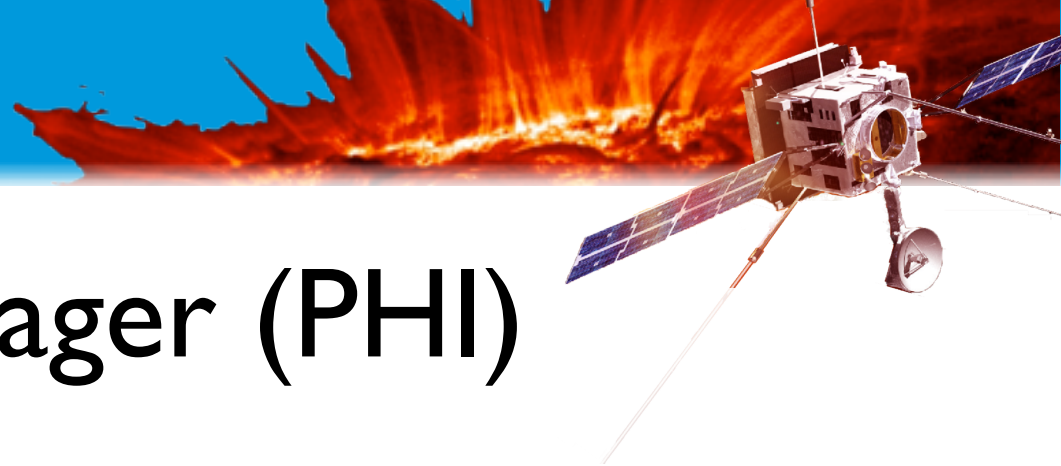
Remote-sensing instruments (I)



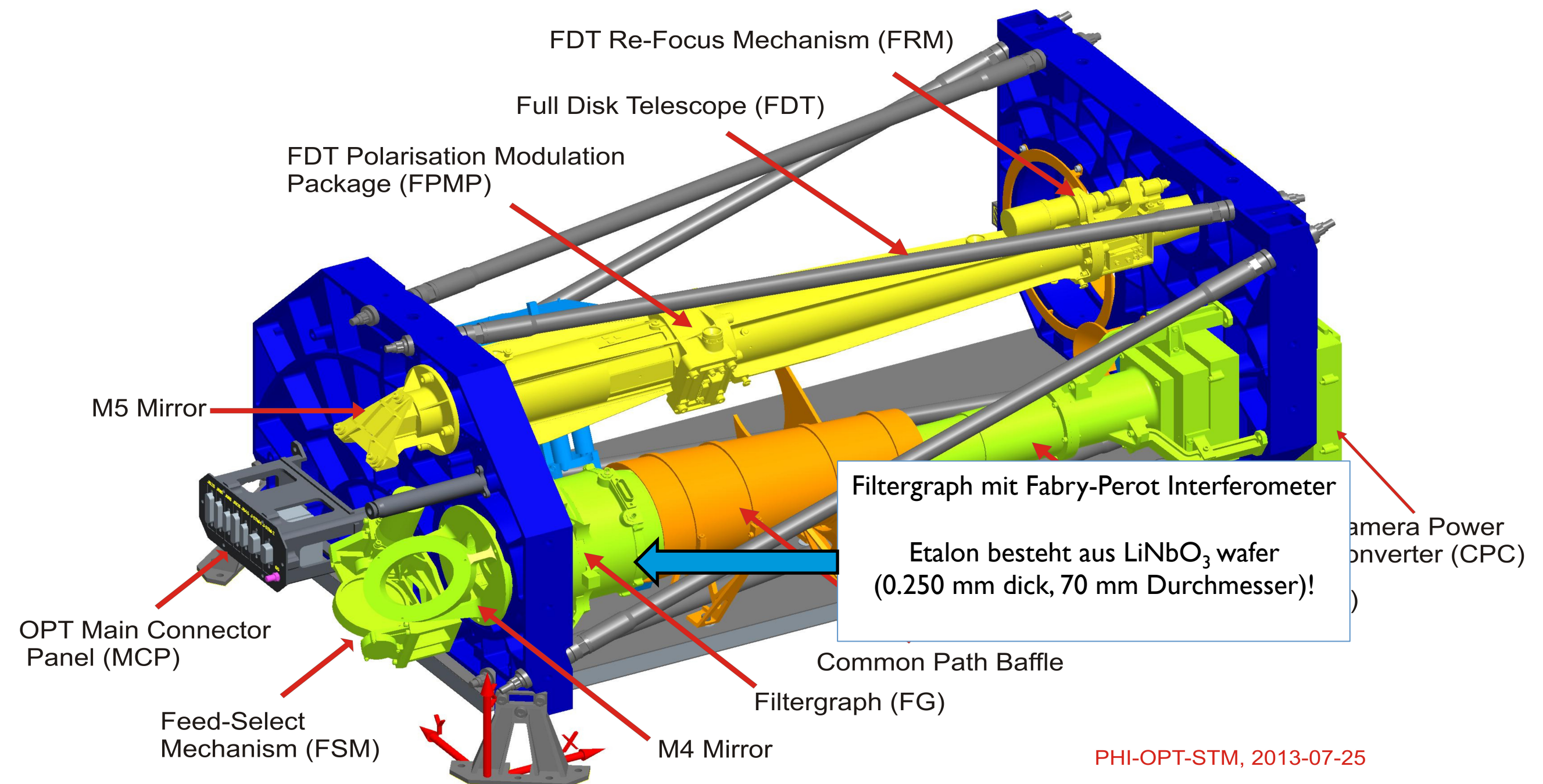


Remote-sensing instruments (II)



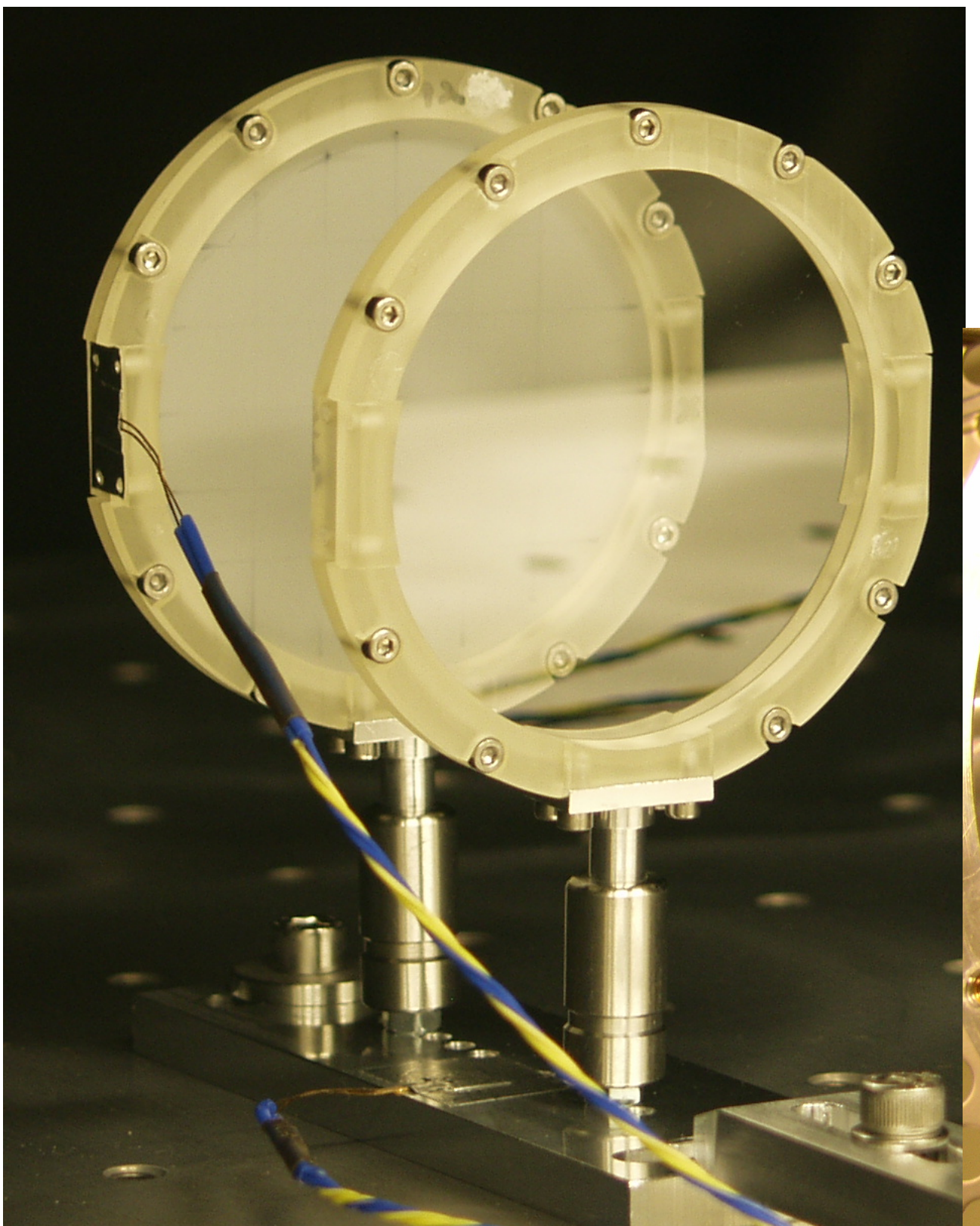


Polarimetric & Helioseismic Imager (PHI)

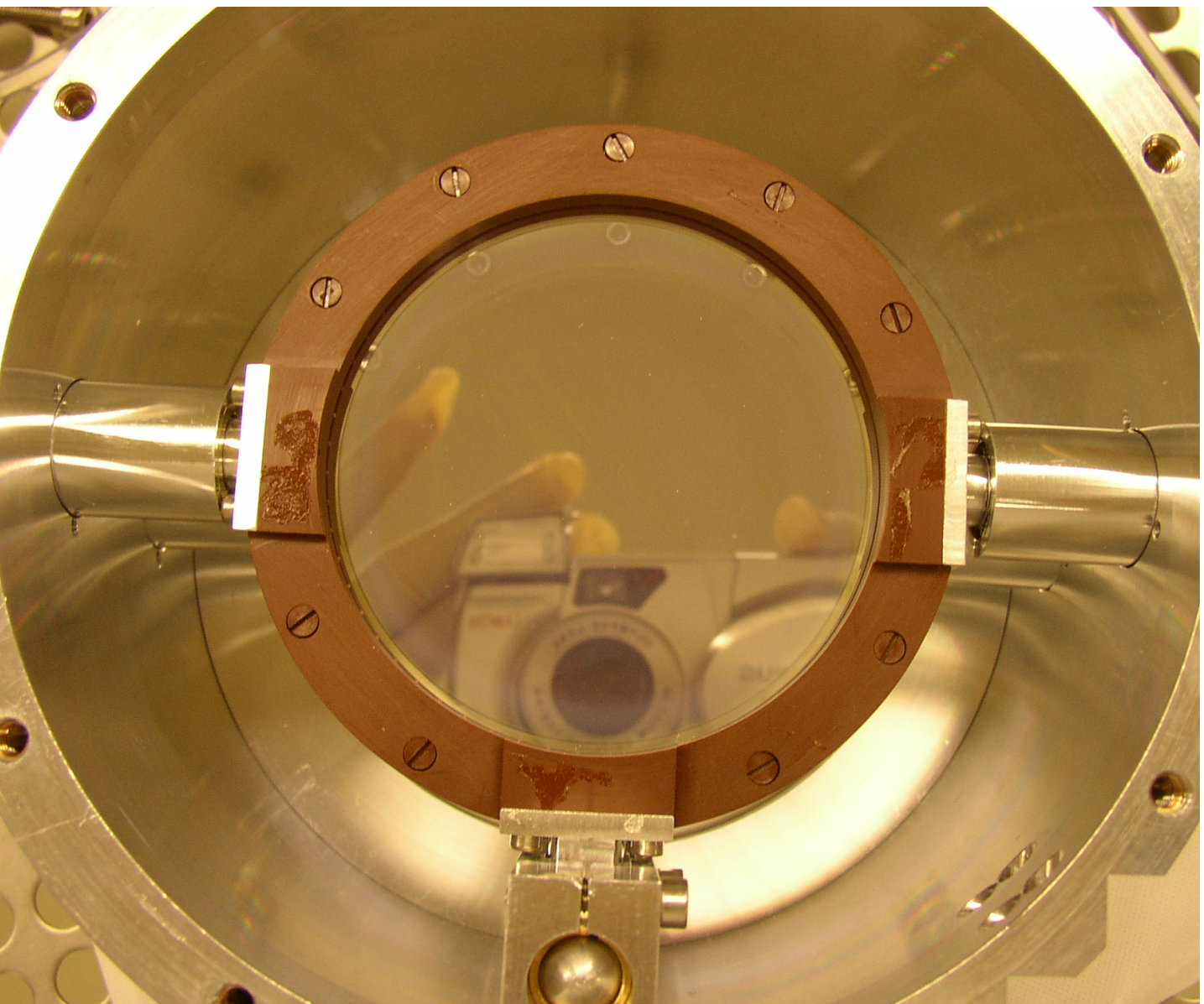


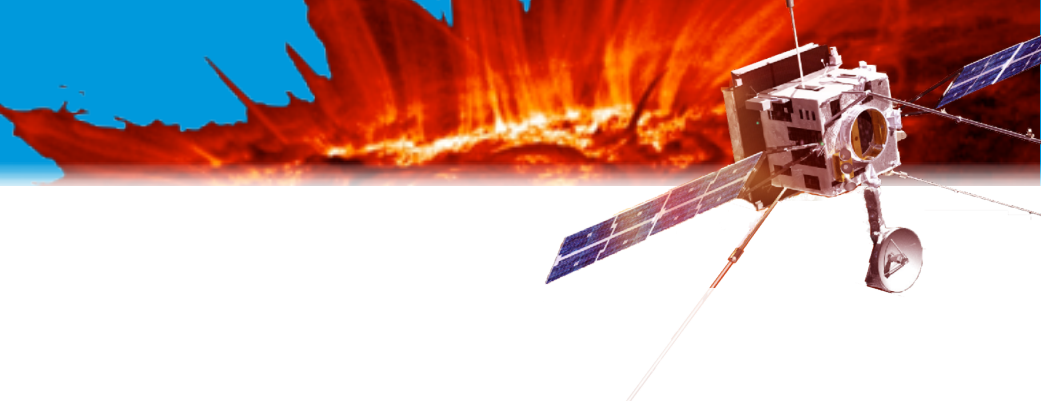


Einschub: Lithium-Niobat-Filter

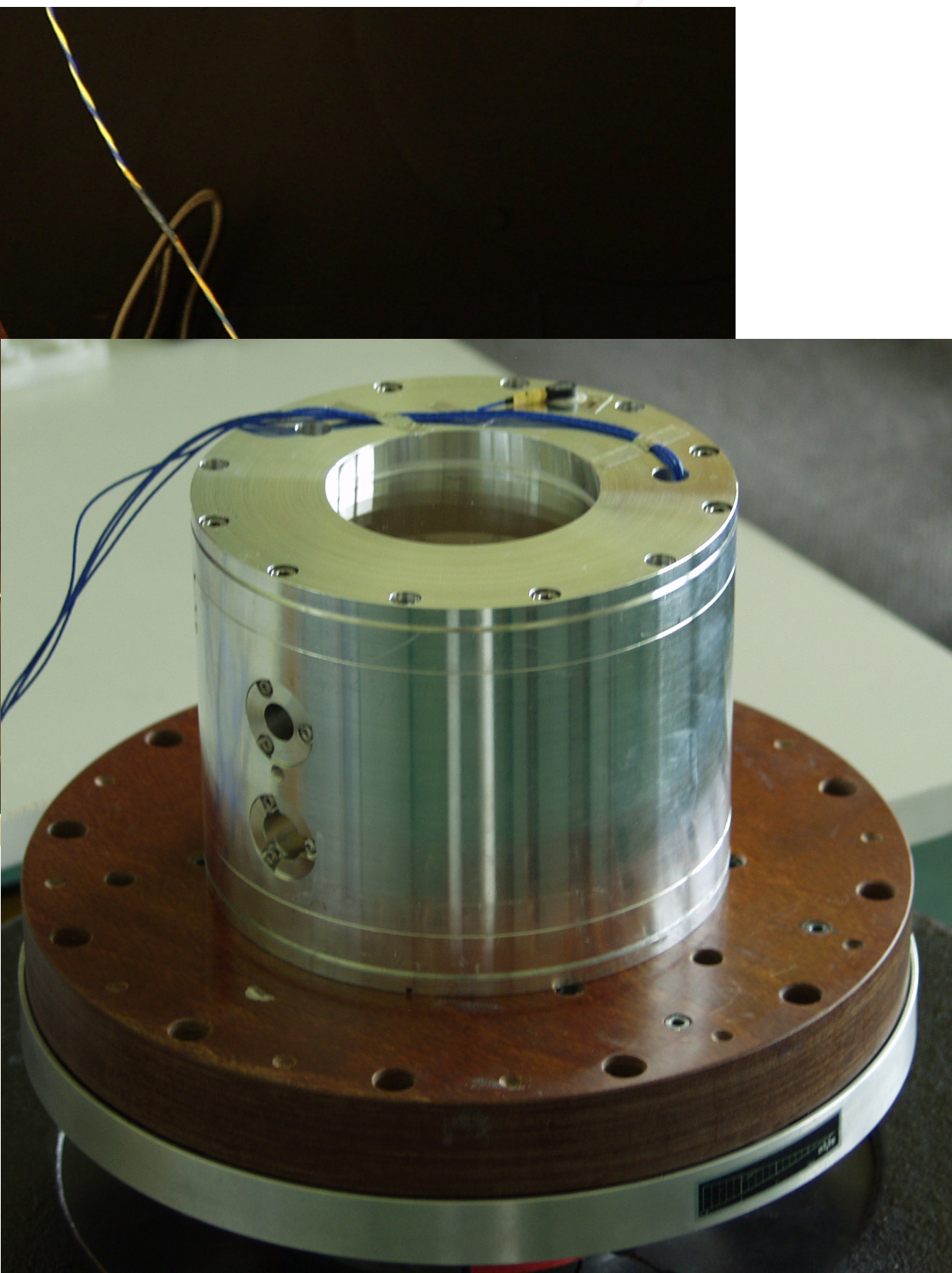
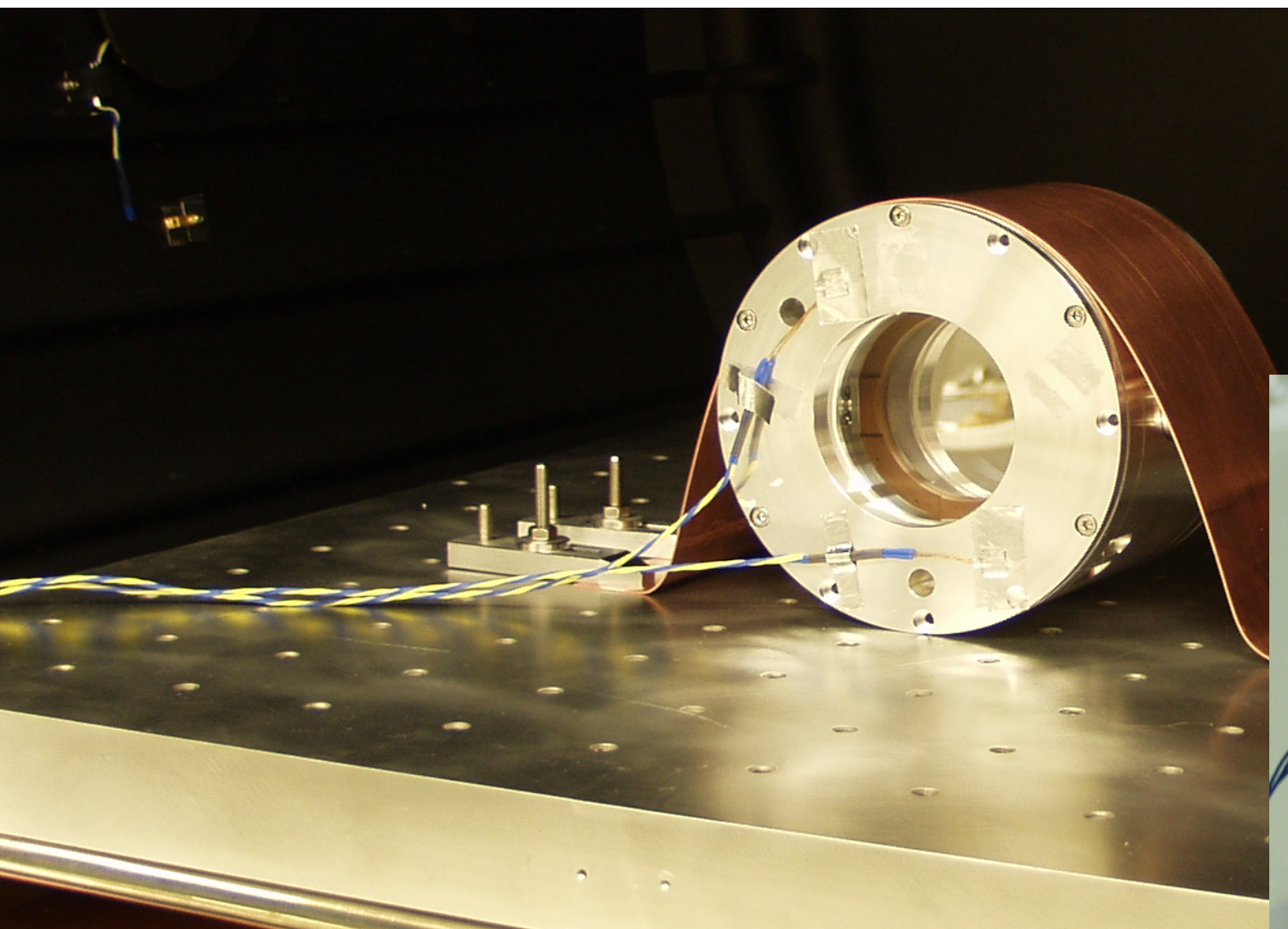


3" LiNbO₃ wafer („z-cut“): CSIRO
(Commonwealth Scientific and Industrial Research Organisation, Australia)
Apertur: 70 mm Durchmesser
Dicke: 0.250 mm
Finesse: >20
Metallbeschichtet + kontaktiert
→ Voltage tuning !

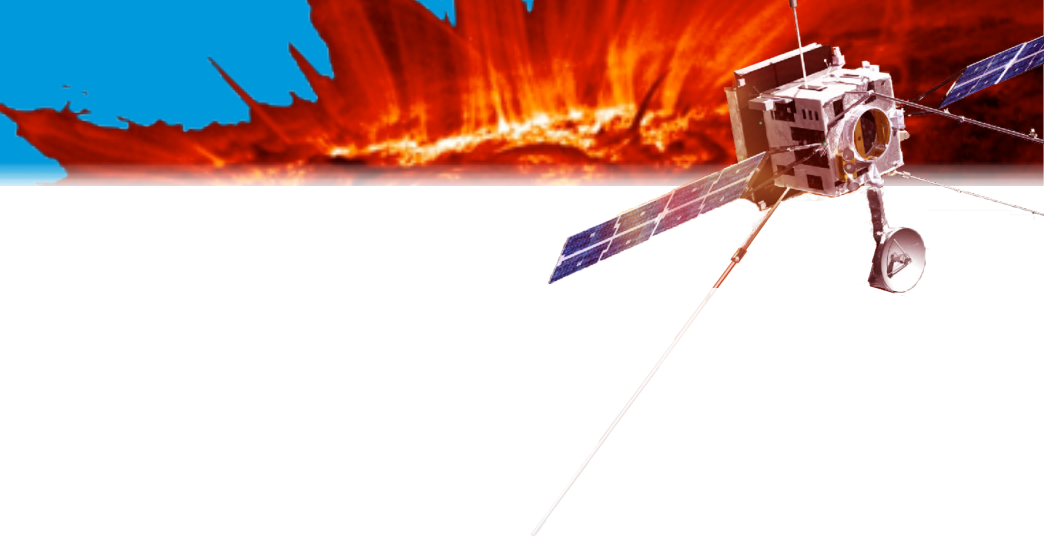




Einschub: LiNbO₃ Etalon



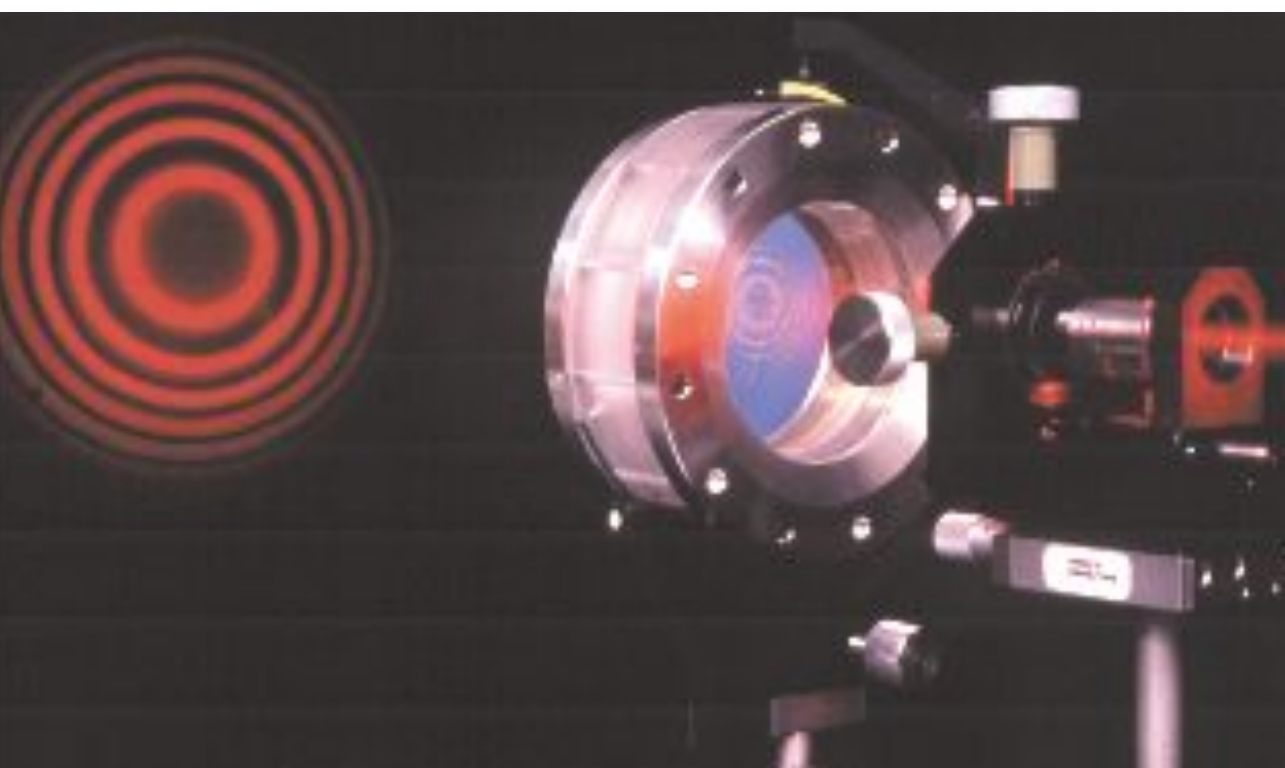
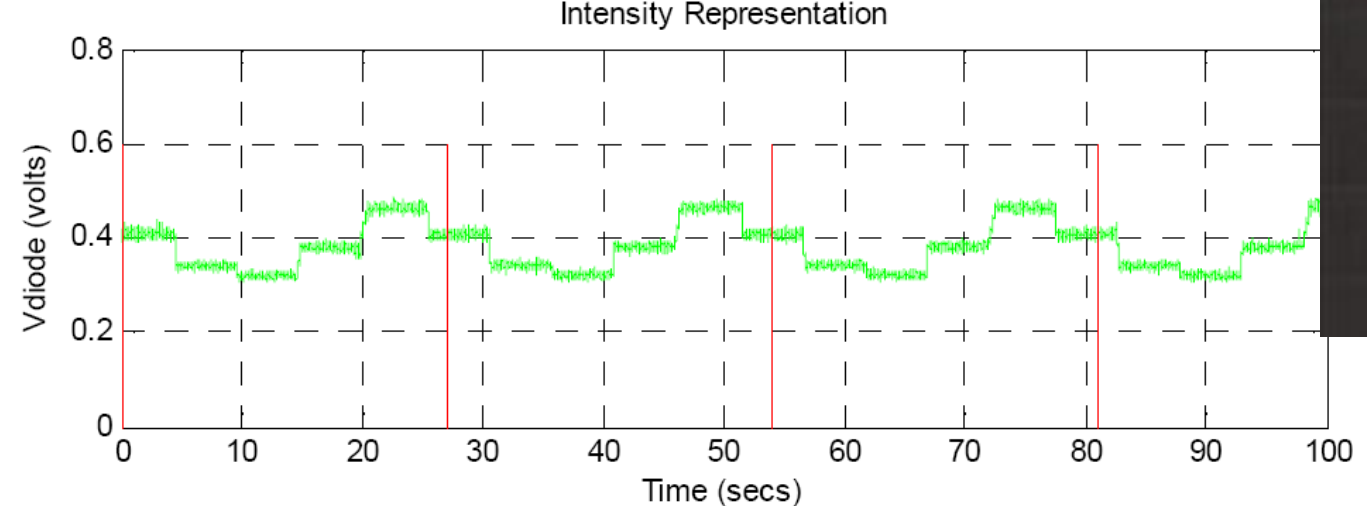
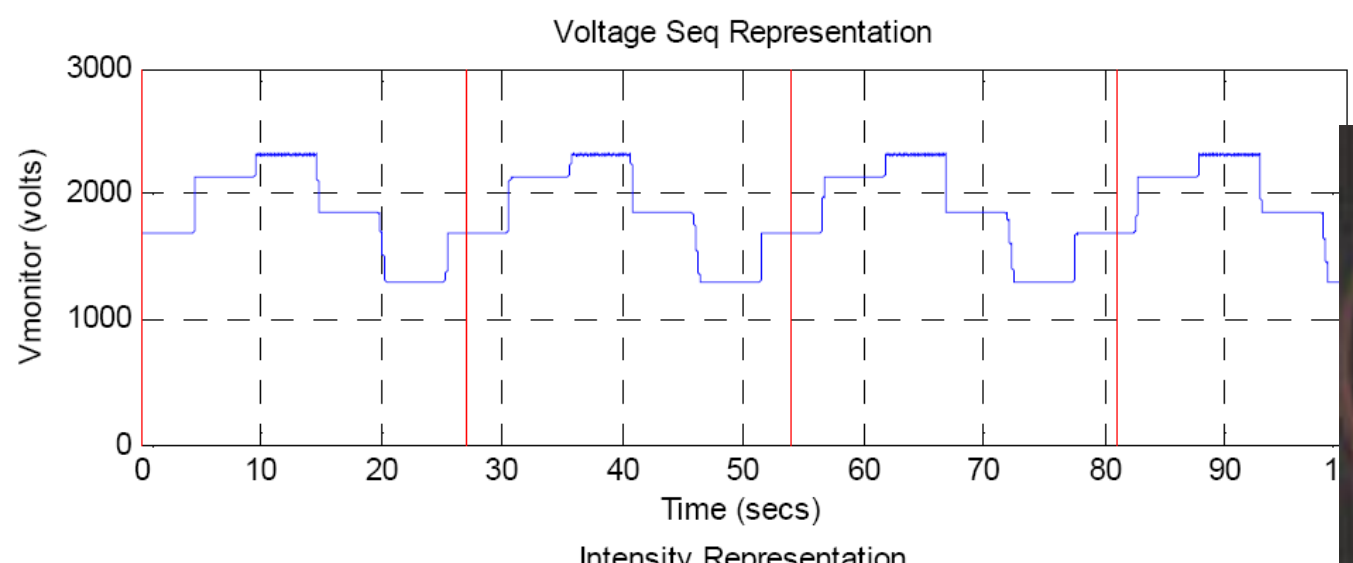
- Thermalzyklus-Test unter Vakuum
- Vibrationstest
- Voltage tuning Tests

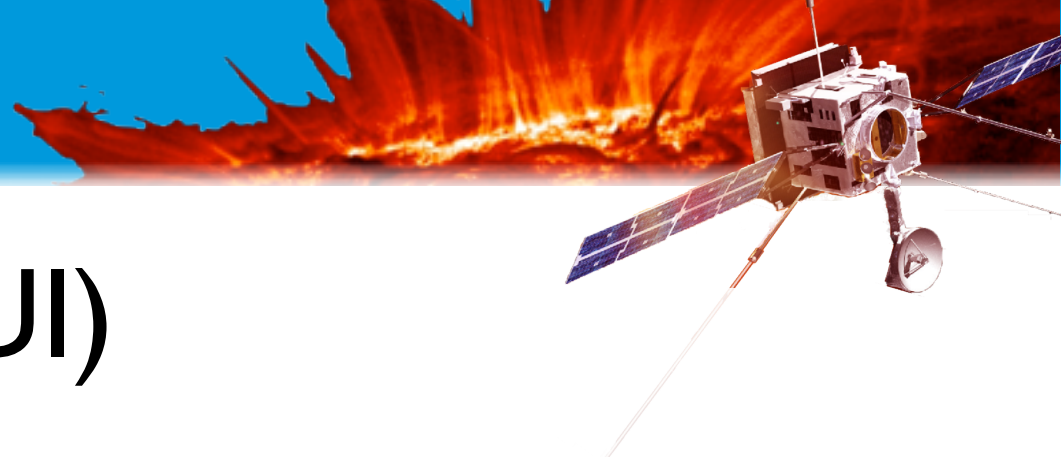


Einschub: LiNbO₃ Etalon

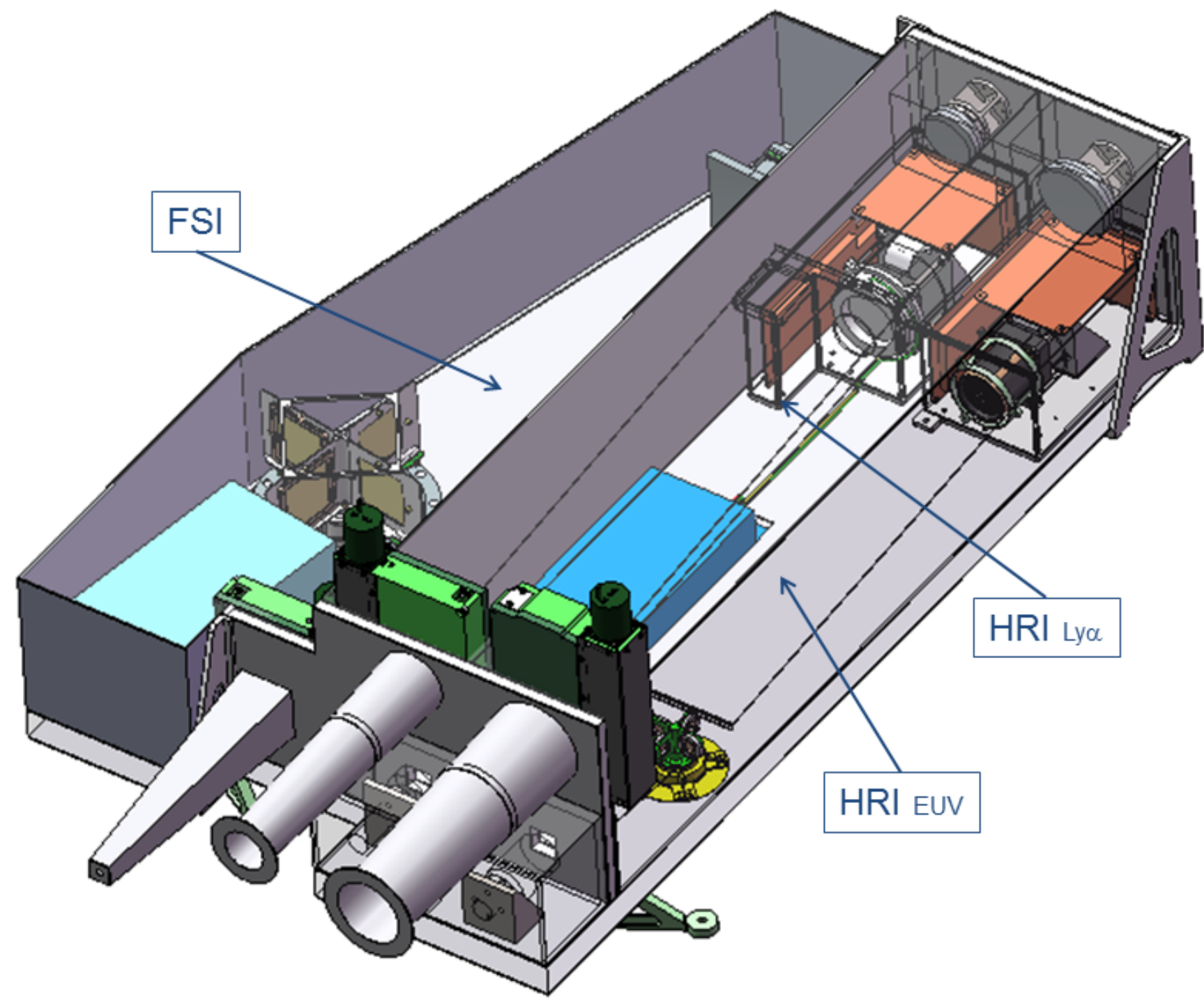
Voltage tuning test

Wechselspannung 3 kV/ s

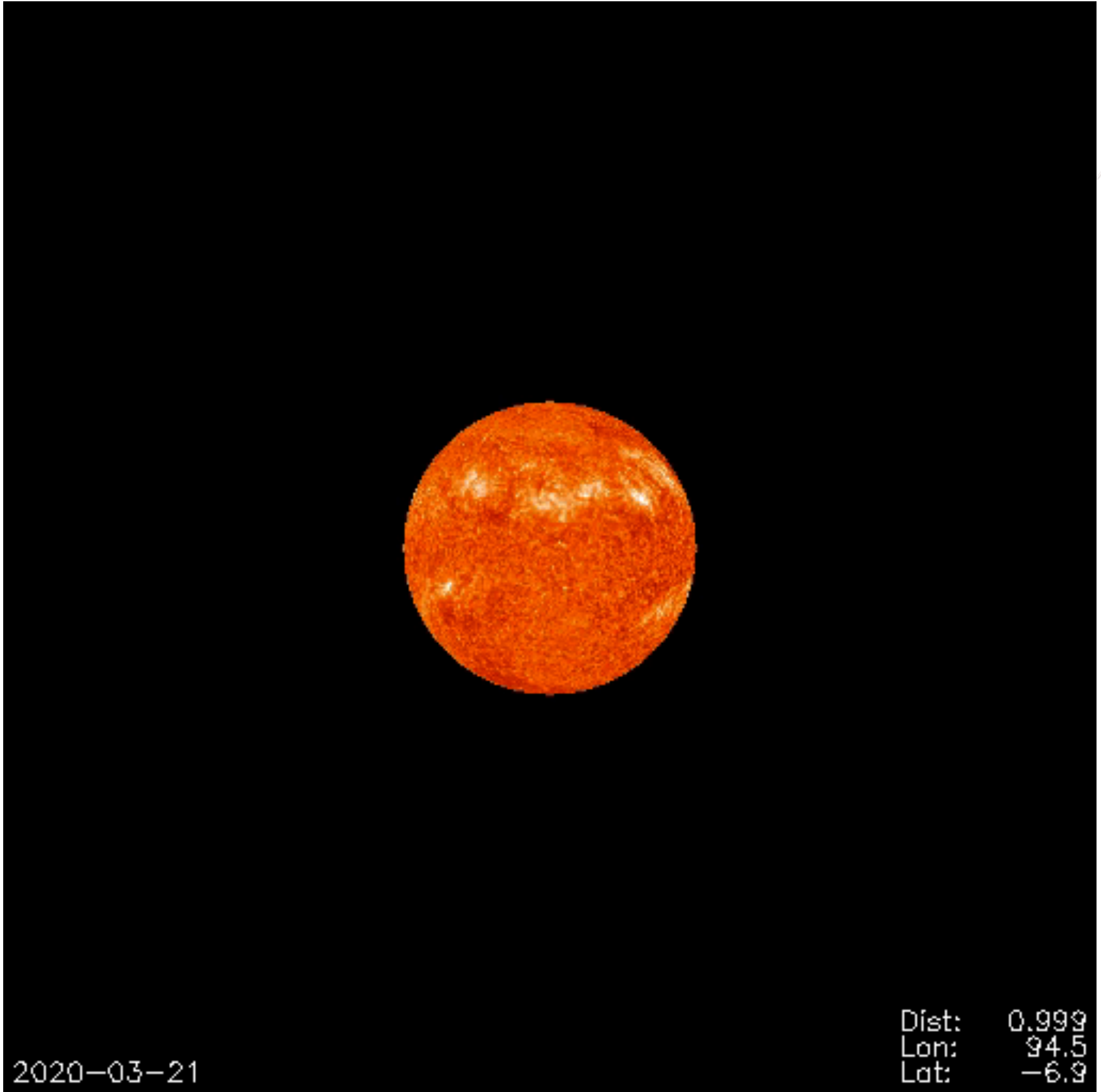




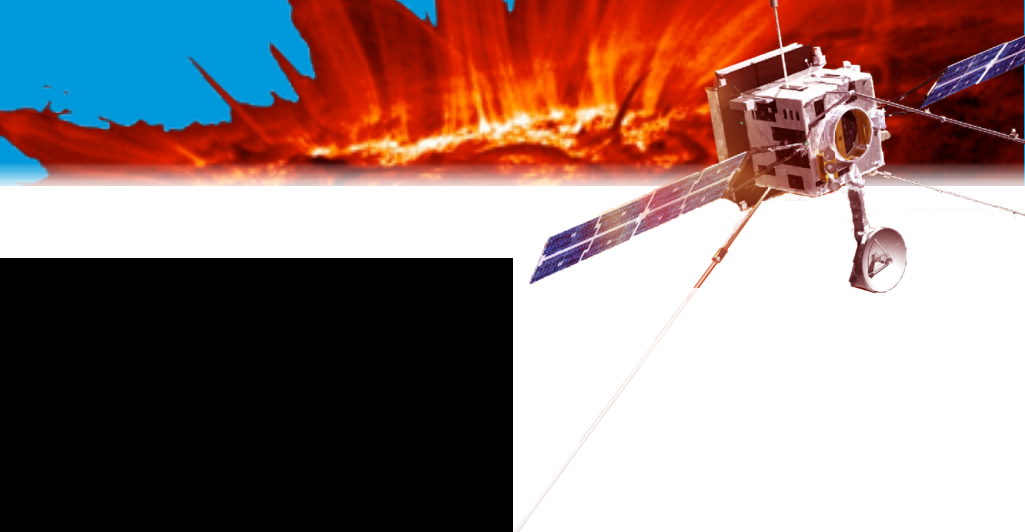
Extreme Ultraviolet Imager (EUI)

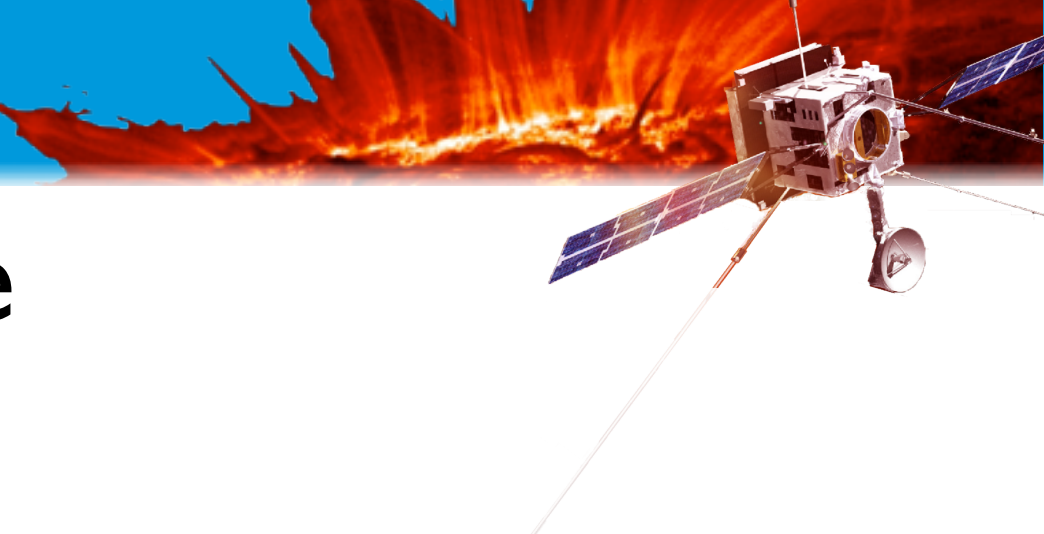


SOLAR ORBITER



Courtesy W.Thompson





Optische Anforderungen an die Instrumente

- Gemeinsame Bildfeldgröße von mind. $200''^2$
 - Auflösungsvermögen 1"
 - Teleskope kleiner als 1 m
 - Strahlungshartes Design
 - Temperaturtoleranz
-
- Minimales Gewicht
 - Autonomer Betrieb

Beispiel eines der Instrumente: SPICE

SPICE – Vakuum-Ultraviolett Spektrograph

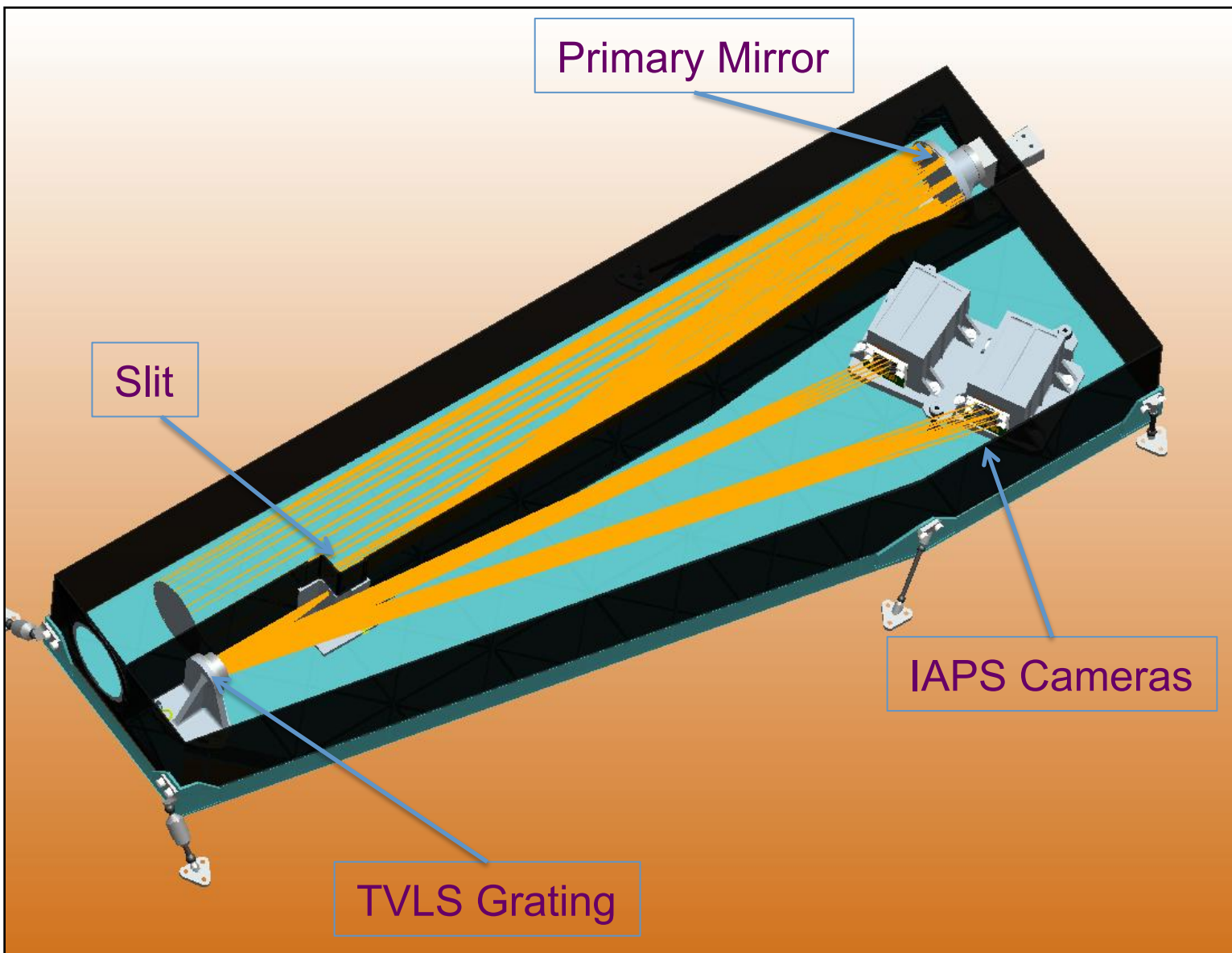
für die Wellenlängenbereiche

70.2 nm bis 79.2 nm

und von

97.0 nm bis 105.0 nm

(48.5 nm bis 52.5 nm in 2. Ordnung).

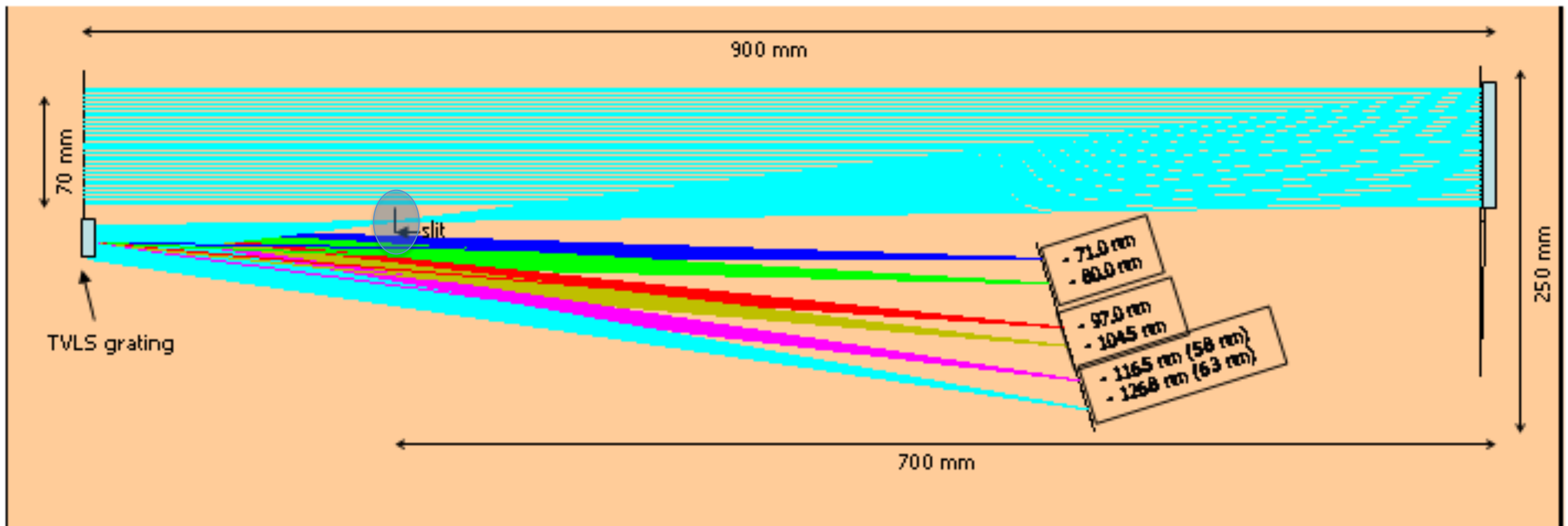




Herkunft des SPICE Designs

- Erstmals vorgeschlagen von Roger Thomas (NASA-GSFC) (2004)
- Optisches Konzept eines Toroidal Variable Line Space Gitters von Kita and Harada (J) (1983)
- NASA-Raketennutzlast: EUNIS, RAISE (2006...)
- HINODE-Mission: Extreme Ultraviolet Imaging spectrograph EIS (2006)

SPICE Optische Design-Optimierung



Optisch ein Kompromiss aus vielen unterschiedlichen Anforderungen:

1. Große Apertur, Einzelspiegel,
2. großes Bildfeld & hohe Auflösung → kleiner Achsenabstand
3. Großer Bildbereich → großer Achsenabstand.
4. TVLS-Gitter in elliptischer Anordnung mit Vergrößerungsverhältnis
5. Temperaturstabilität ist die größte Herausforderung!

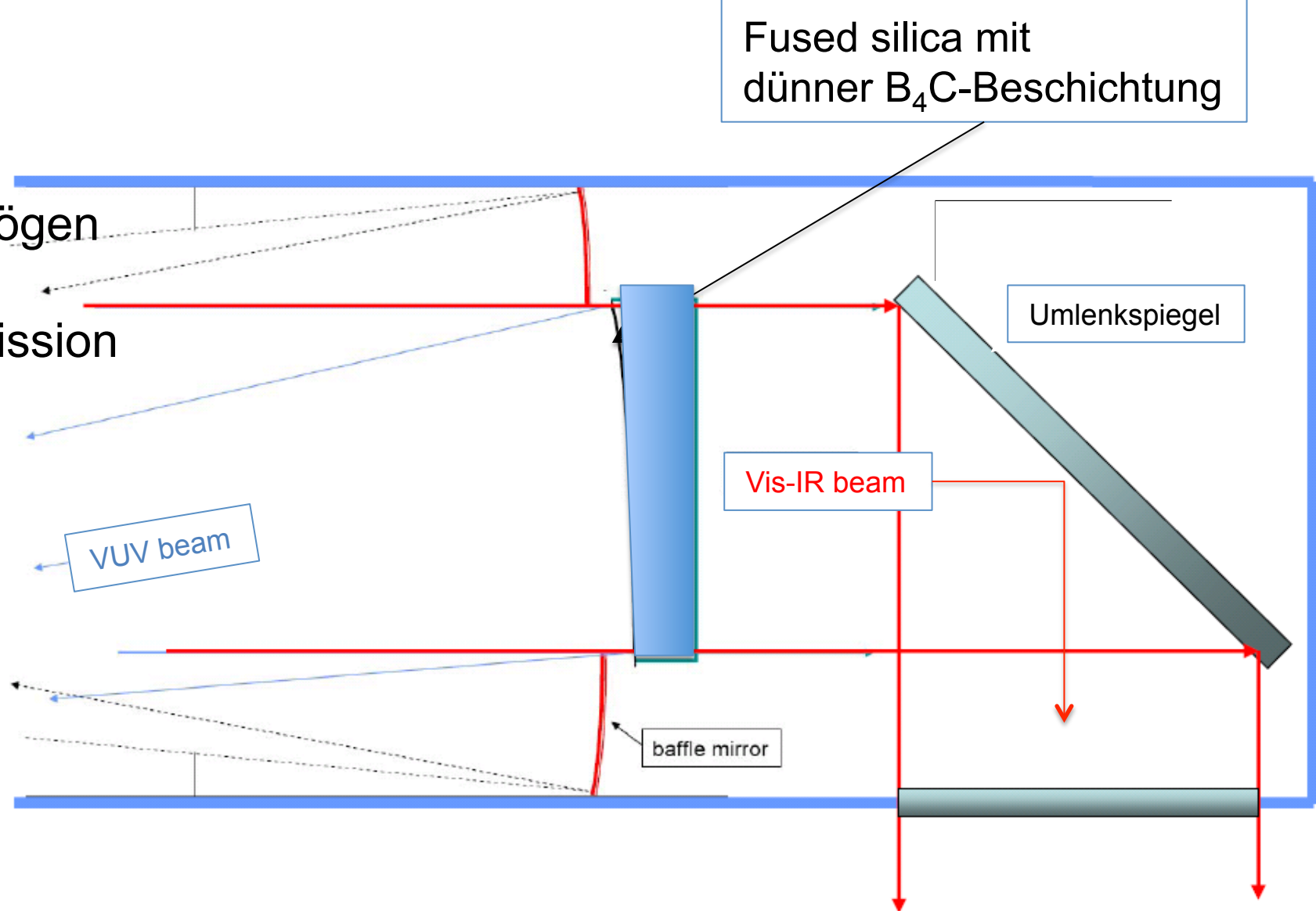
Teleskopspiegel Designanforderungen

Principal Requirements:

1. Hohes VUV Reflexionsvermögen über großen Spektralbereich
2. Hitzeverteilung: hohe Transmission von Vis-IR



- Form: Off-axis Paraboloid
- Surface: low scatter, 1" PSF
- Substrat: fused silica
- Beschichtung:
Front: dünne B_4C
Rück: anti-reflex



==> Wärmestrahlung der Sonne wird durchgelassen!

Verteilung der Sonneneinstrahlung

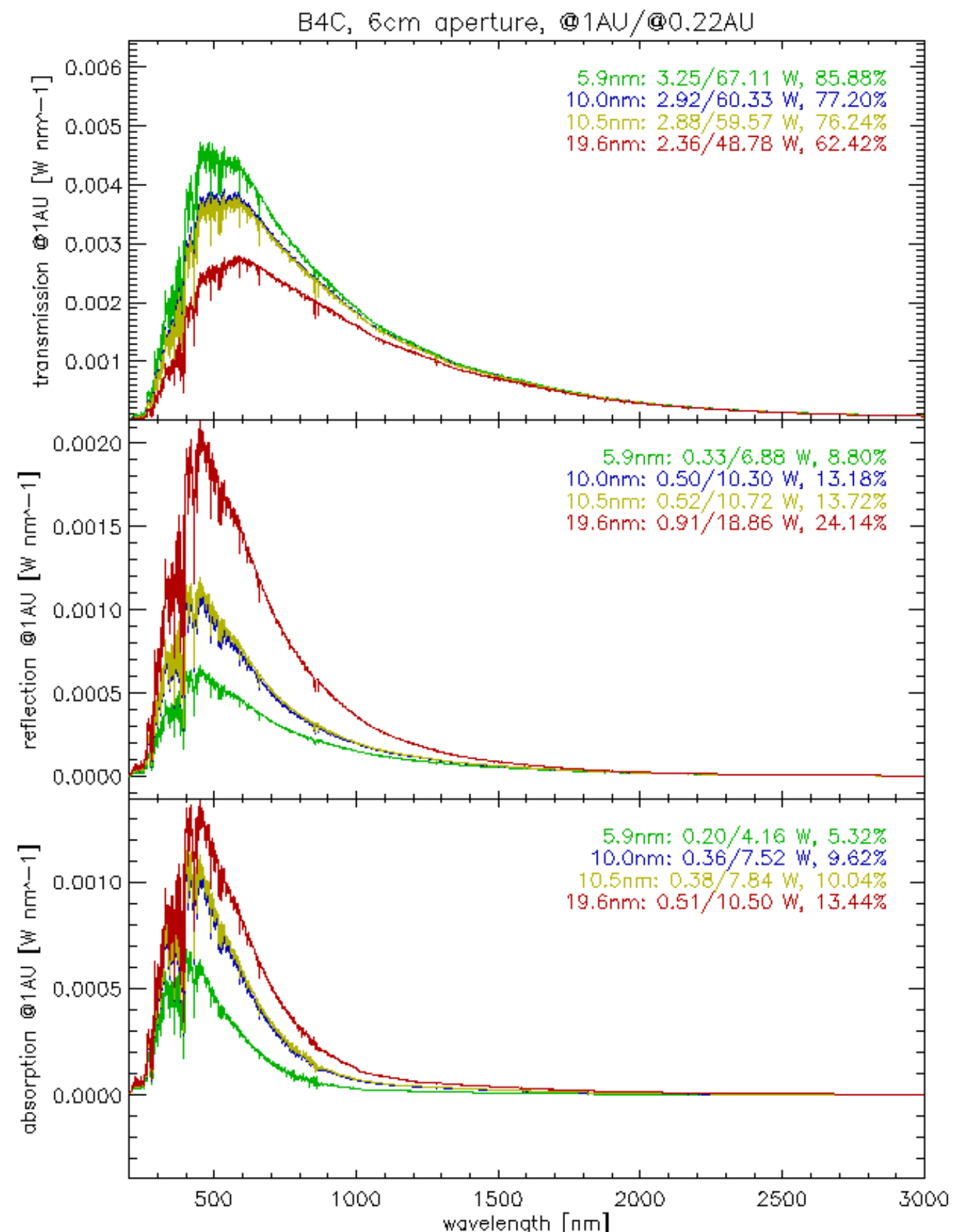
Spiegelproben von FhG-IOF
mit verschiedenen Schichtdicken
Borkarbid (B_4C).

Messung von Reflexion,
Transmission und Absorption.

Simulation Strahlungsverteilung

→ Energiebudget für eine
10 nm B_4C -Schicht:

$$\begin{aligned} T &= 77 \% \\ R &= 13 \% \\ A &= 10 \% \end{aligned}$$





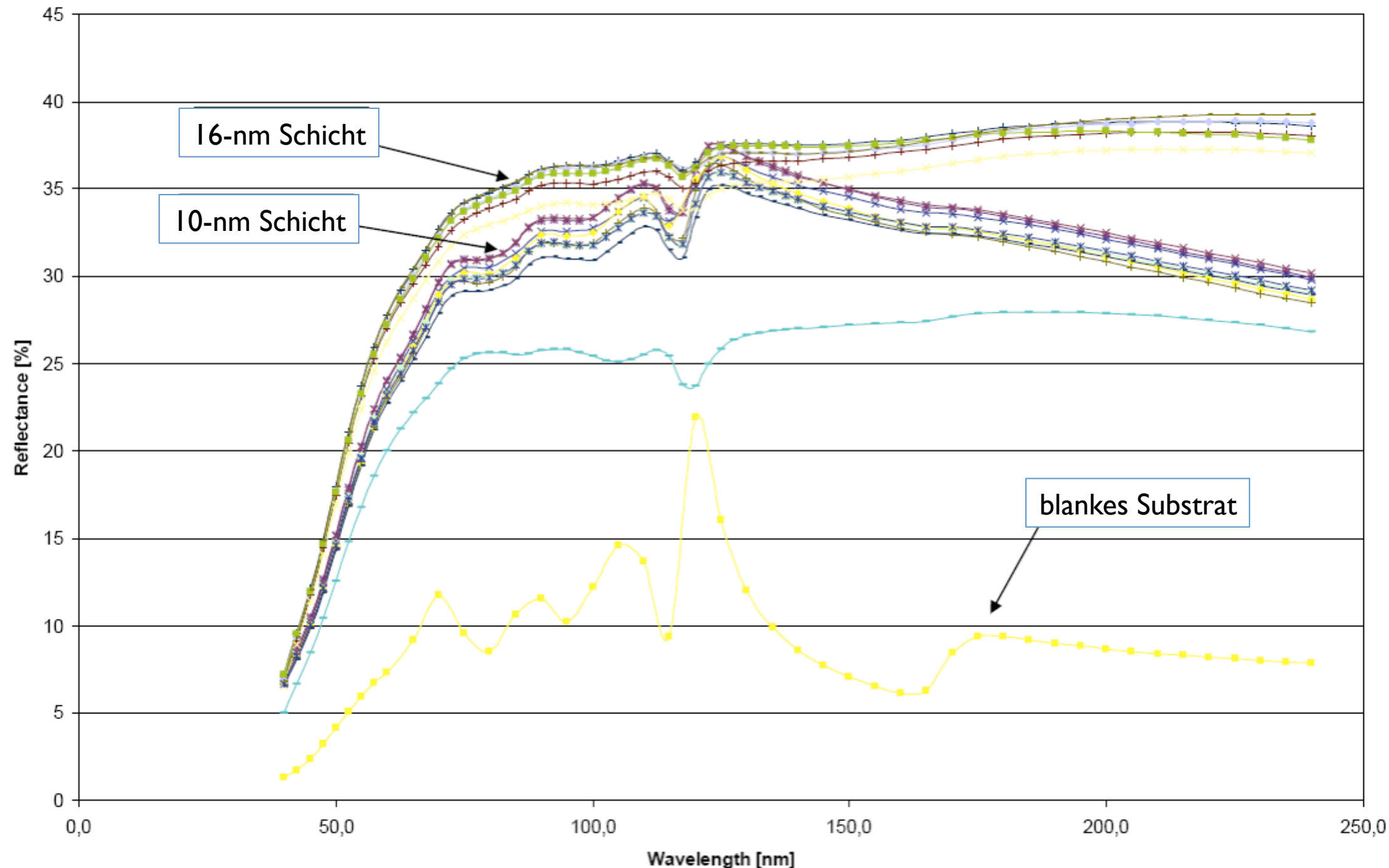
Weltraumqualifizierung

- Weltraumsimulation durch Bestrahlung mit 10 - 60 MeV Protonen
- Sonnenwindsimulation durch Bestrahlung mit 1 keV Protonen
(Missionsäquivalente Dosis)
- Sonnen-UV-Simulation durch Bestrahlung mit hoch-intensiver UV-Quelle (möglichst mit 20-facher Solarkonstanten)

Qualifikationstestplan

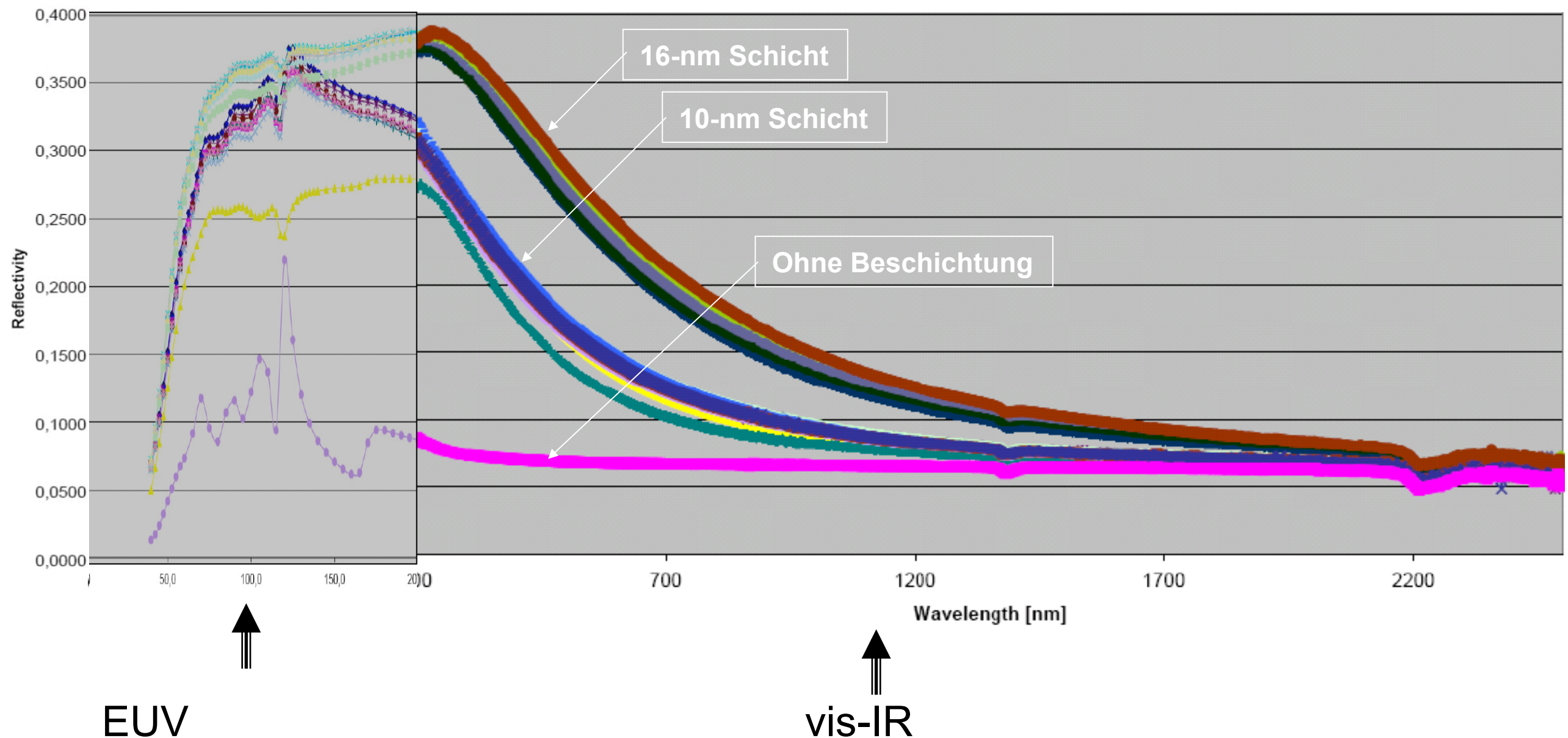
Measurement	Samples Coated	Samples Uncoated	Note
AFM ($1\mu\text{m}^2 + 10\mu\text{m}^2$)	0	18	charaterization surface rouhgness
Coating B ₄ C 10 nm	10	1	surface coating with B ₄ C for 10 nm
Coating for B ₄ C 16 nm	6	1	surface coating with B ₄ C for 16 nm
AFM ($1\mu\text{m}^2 + 10\mu\text{m}^2$)	13	2	surface roughness after coating
X-ray diffraction	16	0	coating thickness calculation
Spectral photometry (T/R)	16	1	visible reflectance/transmittance
VUV-Reflectance Test	16	1	VUV measurements at PTB-MLS
Irradiation protons	6	1	protons at 10 MeV - 60 MeV (PSI)
Irradiation protons	6	1	solar wind protons at 1 keV (FZD)
AFM ($1\mu\text{m}^2 + 10\mu\text{m}^2$)	12	2	surface roughness after irradiations
X-ray diffraction	12	2	coating thickness verification
Spectral photometry (T/R)	12	2	visible reflectance/transmittance
VUV-Reflectance Test	12	2	VUV measurements at PTB-MLS

EUV-Reflektivität



Reflektivitätskurven aller Proben

Reflektivität der B_4C -Schichten



@PTB

@ FhG-IOF

Bestrahlungstests mit Protonen

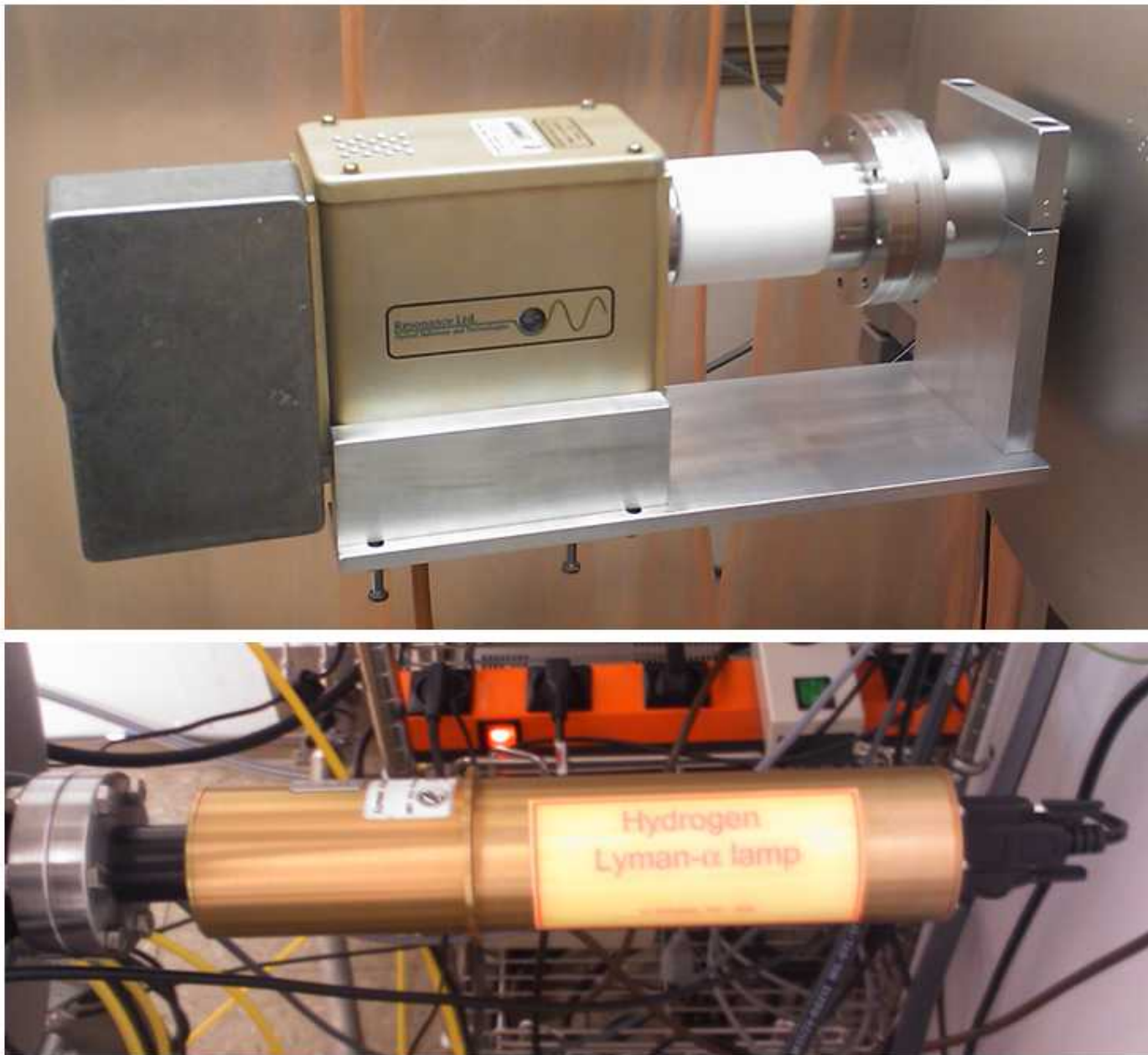
- High energy p⁺

<i>Position</i>	<i>Sample #</i>	<i>proton energy</i>	<i>fluence [#/cm²]</i>	<i>Remarks</i>
<i>P1</i>	12894	10 MeV	4×10^{11}	10 nm B₄C
<i>P2</i>	12891	10 MeV	4×10^{11}	16 nm B₄C
<i>P3</i>	12930	20 MeV	$+8 \times 10^{10}$	10 nm B₄C
<i>P4</i>	12890	20 MeV	$+8 \times 10^{10}$	16 nm B₄C
<i>P5</i>	12637	60 MeV	$+2 \times 10^{10}$	10 nm B₄C
<i>P6</i>	12645	all	$+2 \times 10^{10}$	shielded
<i>P7</i>	12931	60 MeV	$+2 \times 10^{10}$	no coating

- Low energy p⁺ (Sonnenwind-Äquivalent bei 1 keV)

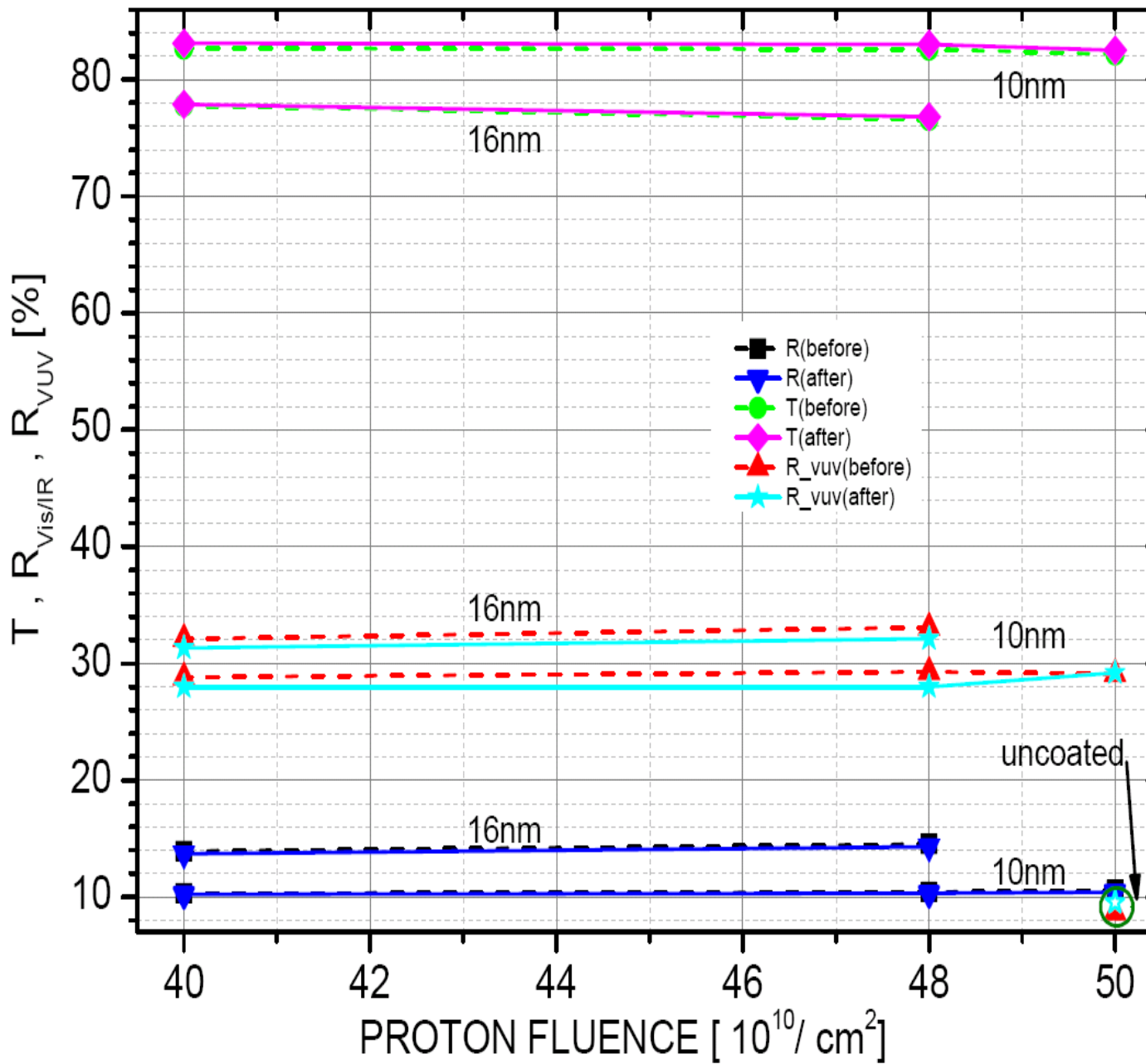
<i>C</i>	<i>Sample ID</i>	<i>Fluence [#/cm²]</i>	<i>Remarks</i>
<i>P8</i>	12644	1×10^{10}	10 nm B₄C
<i>P9</i>	12638	5×10^{10}	10 nm B₄C
<i>P10</i>	11863	10×10^{10}	10 nm B₄C
<i>P11</i>	12935	30×10^{10}	16 nm B₄C
<i>P12</i>	12834	60×10^{10}	16 nm B₄C
<i>P13</i>	12934	60×10^{10}	no coating
<i>P14</i>	12893	shielded	~16nm B₄C

VUV-Bestrahlung im Vakuum



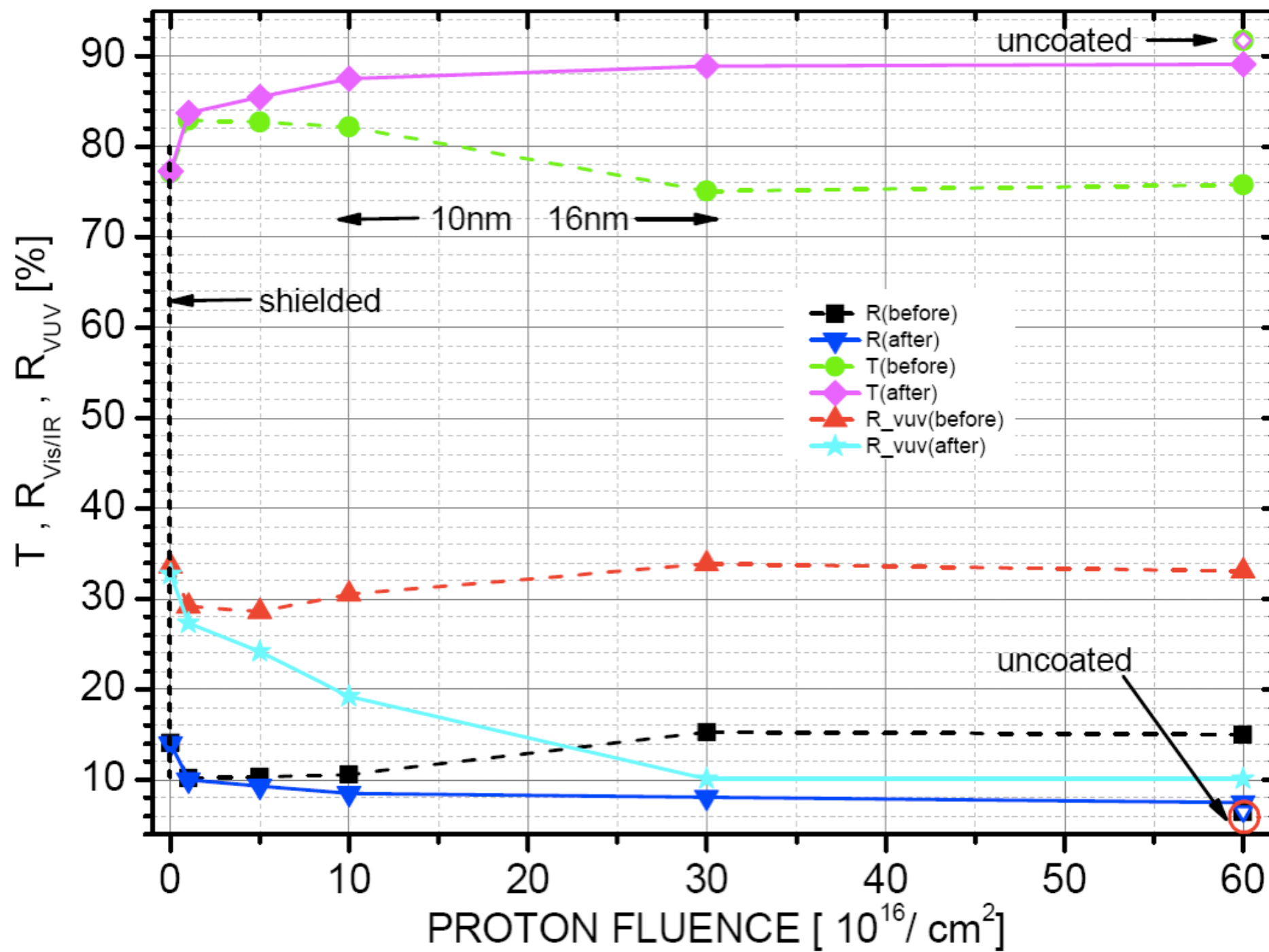
Hoch-intensive Krytonlampe für Bestrahlung bei 123 nm.
Wasserstoff-Lyman-Alpha-Quelle zur Messung bei 122 nm.

Reflektivität & Transmission nach Bestrahlung mit Protonen > 10 MeV

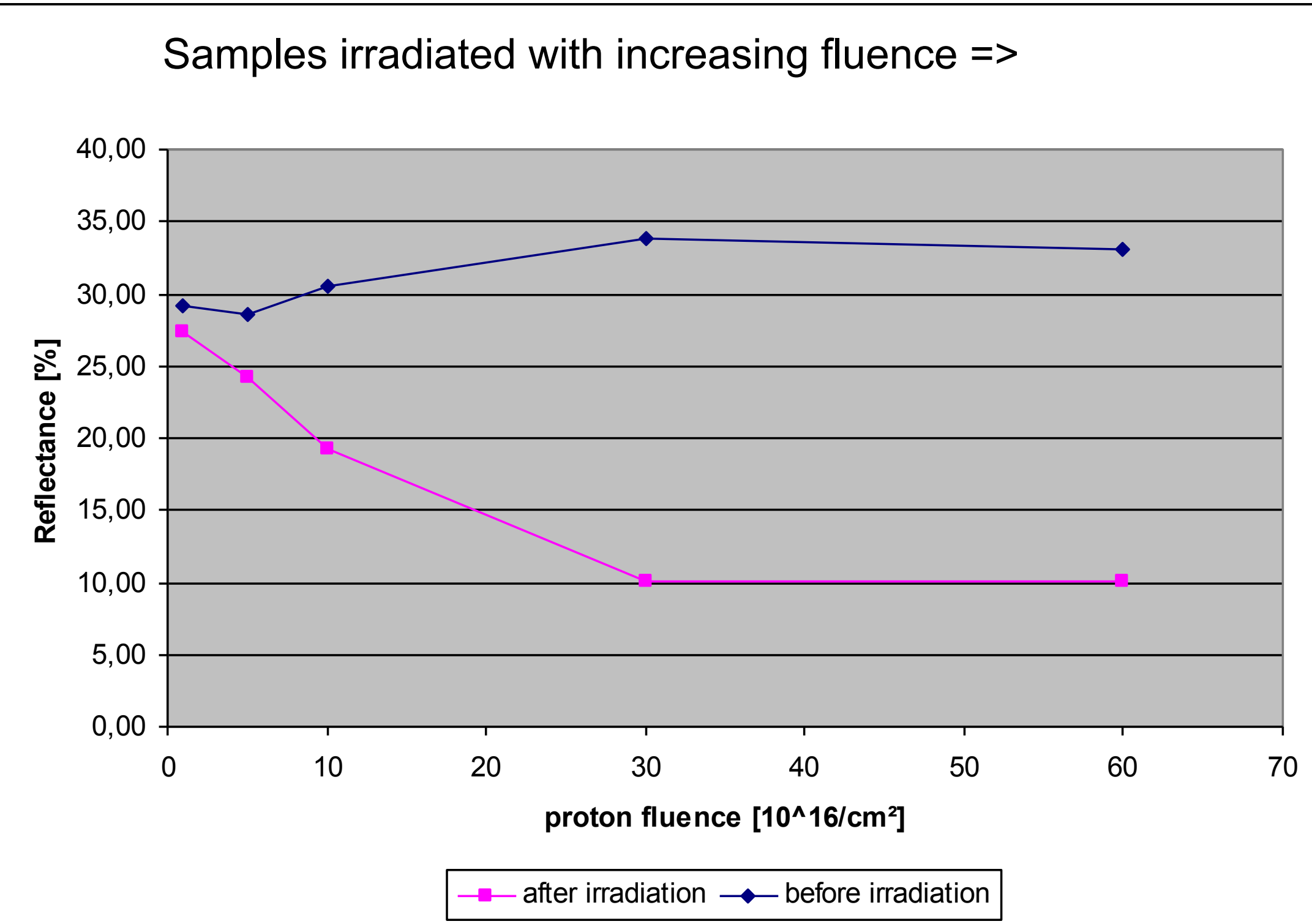


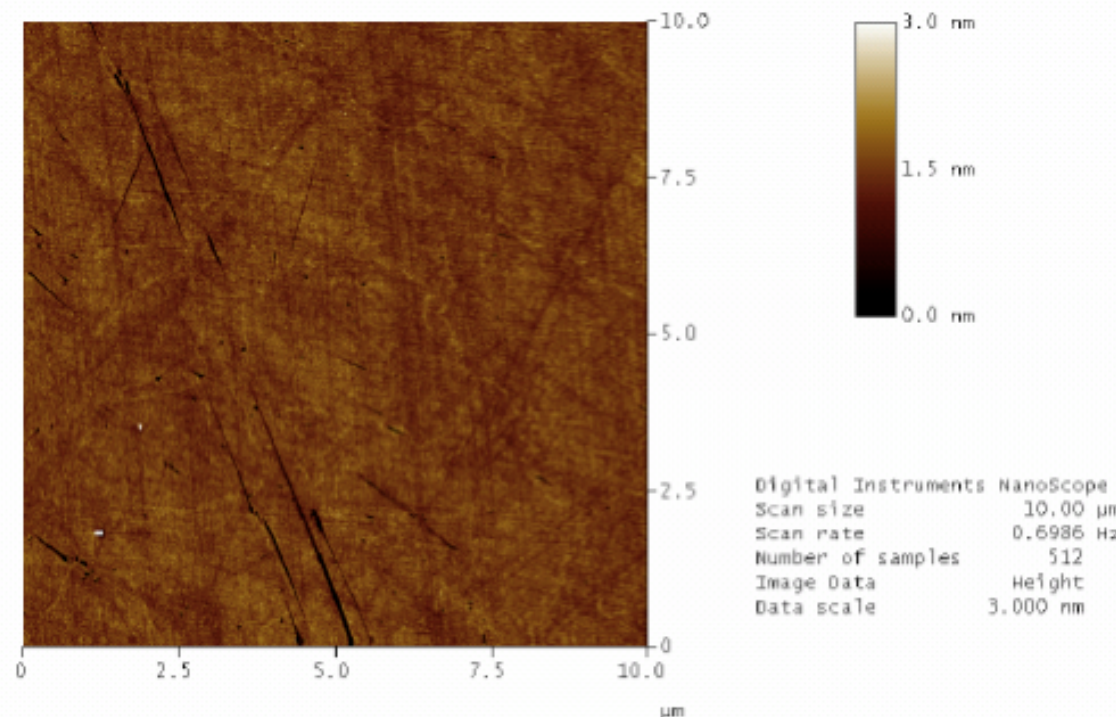
Sample ID	128 94	129 30	126 37	126 45	128 90	128 91	129 31
Fluence $\times 10^{11} \text{ p/cm}^2$	4,00	4,80	5,00	shie lded	4,80	4,00	5,00
R_{before}	10,3	10,4	10,6	10,7	15,5	13,9	-
R_{after}	10,2	10,3	10,4	10,6	14,3	13,7	6,4
T_{before}	82,7	82,6	82,2	81,8	76,6	77,8	-
T_{after}	83,1	83	82,5	82,1	76,8	77,9	91,8
$R_{\text{vuv before}}$	28,8 0	29,3 0	29,1 0	30,5 0	33,1 0	32,1 0	8,70
$R_{\text{vuv after}}$	28,0 0	28,0 0	29,2 0	29,9 0	32,1 0	31,3 0	9,50

Reflektivität & Transmission nach Bestrahlung mit Protonen @ 1 keV

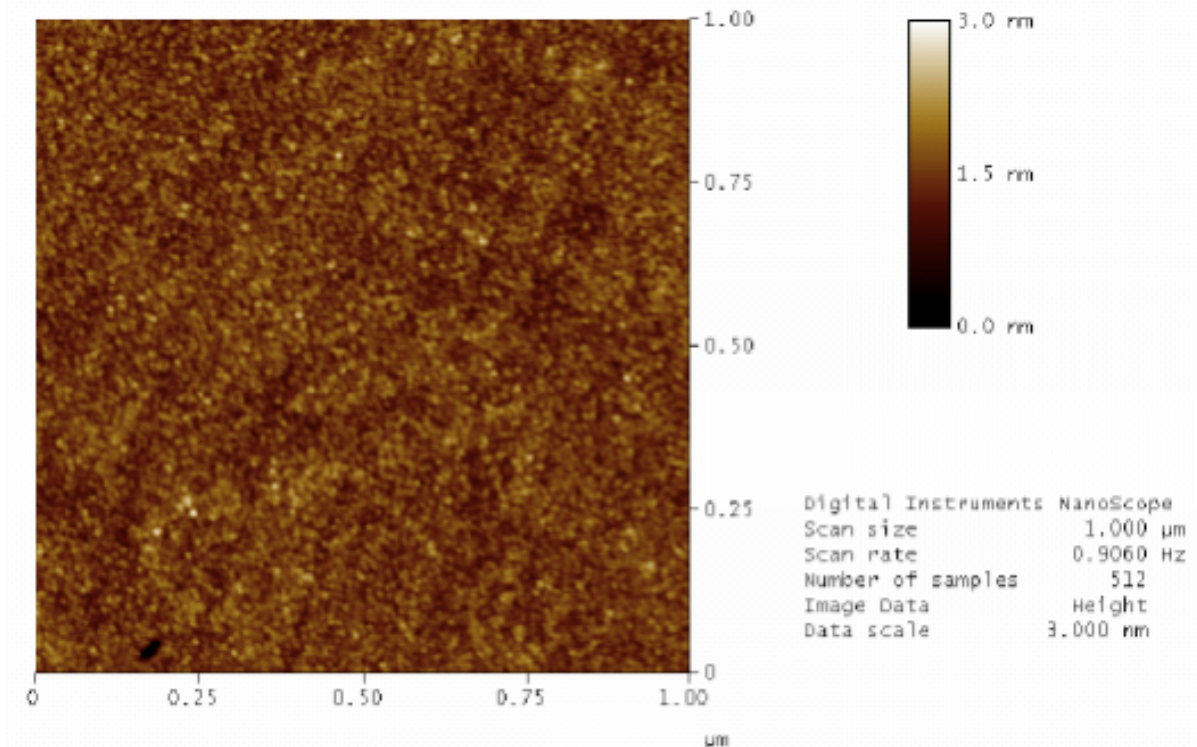


VUV-Reflektivität gegenüber Bestrahlungsfluss

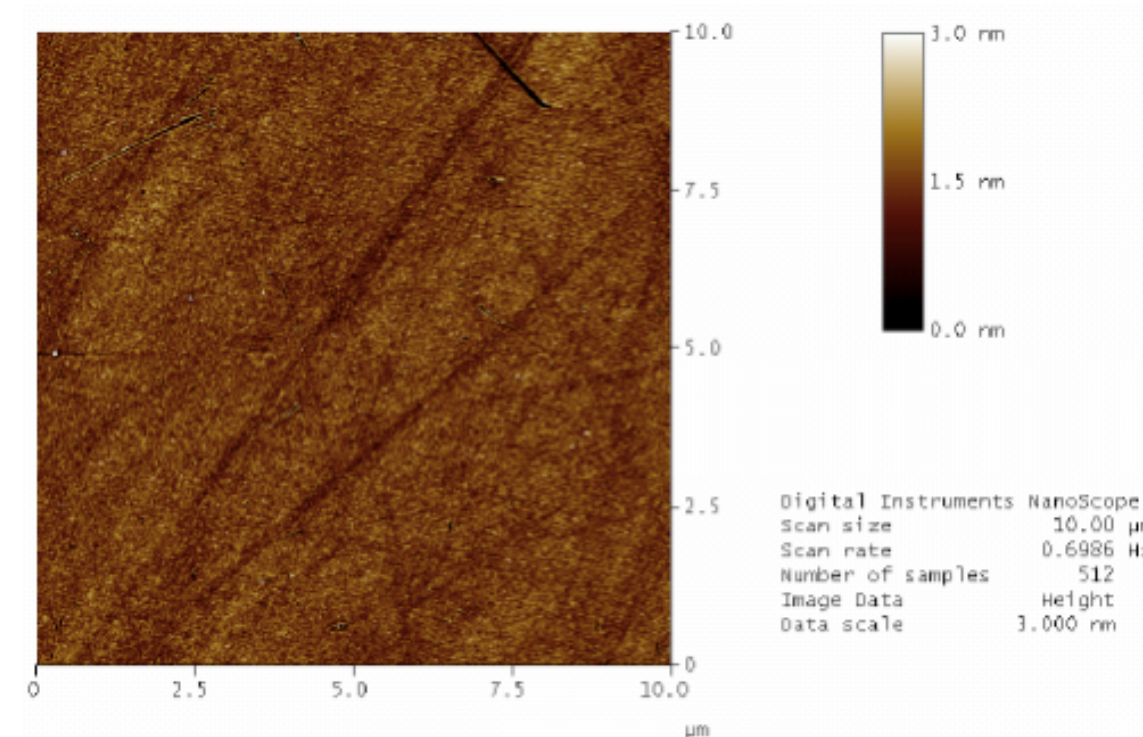




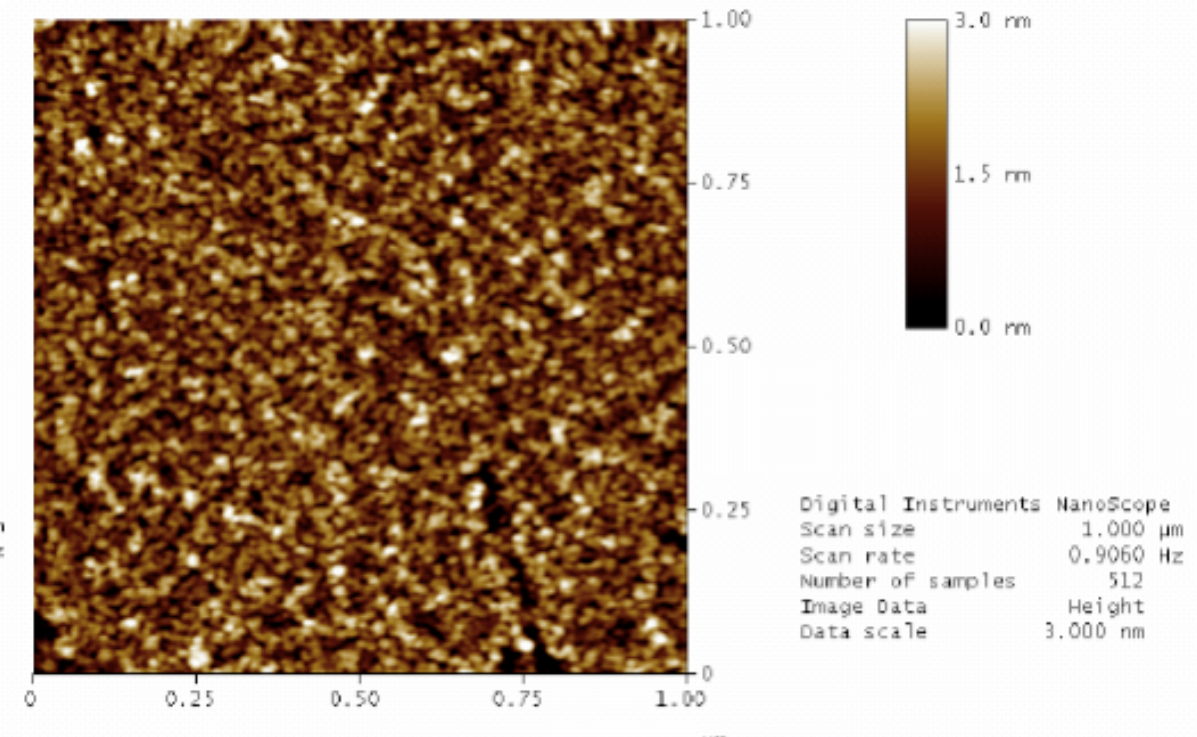
16nm B4C: rms = 0.27(0.19) nm; f13
12834_n21.100



16nm B4C: rms = 0.24 nm; f11
12834_n11.010



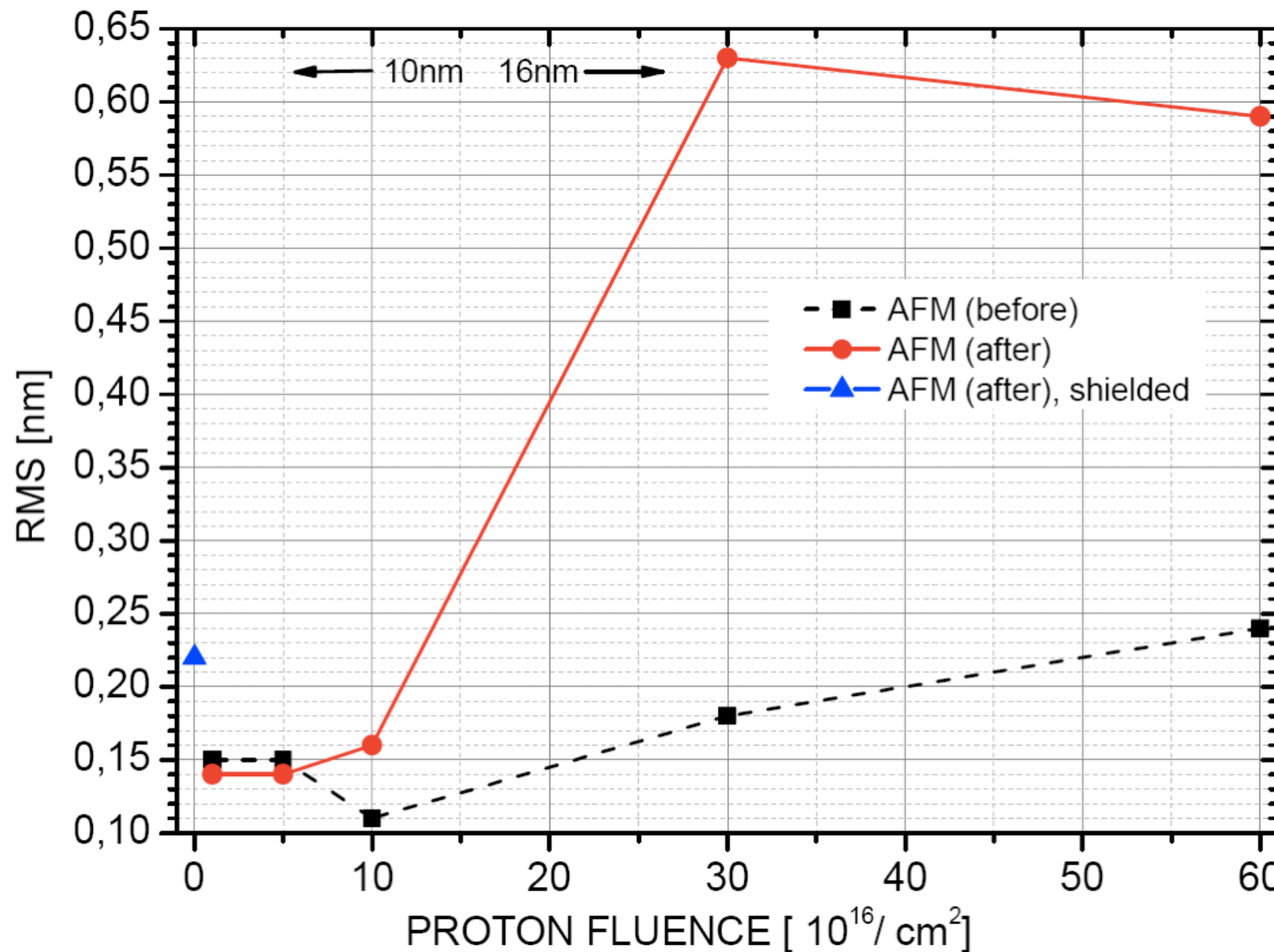
rms = 0.34 nm f13
12834_n81.100



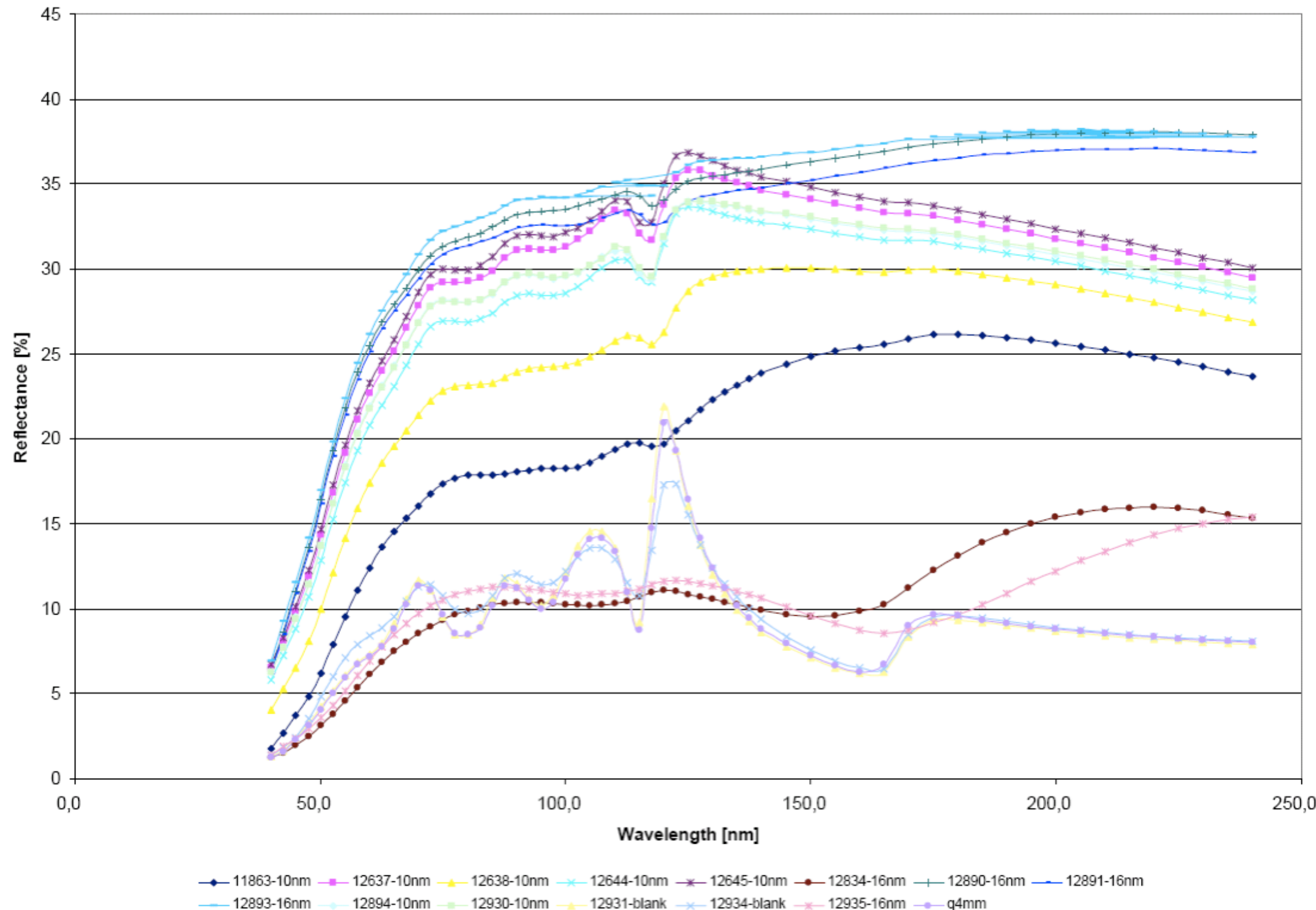
rms = 0.59 nm f11
12834_n31.010

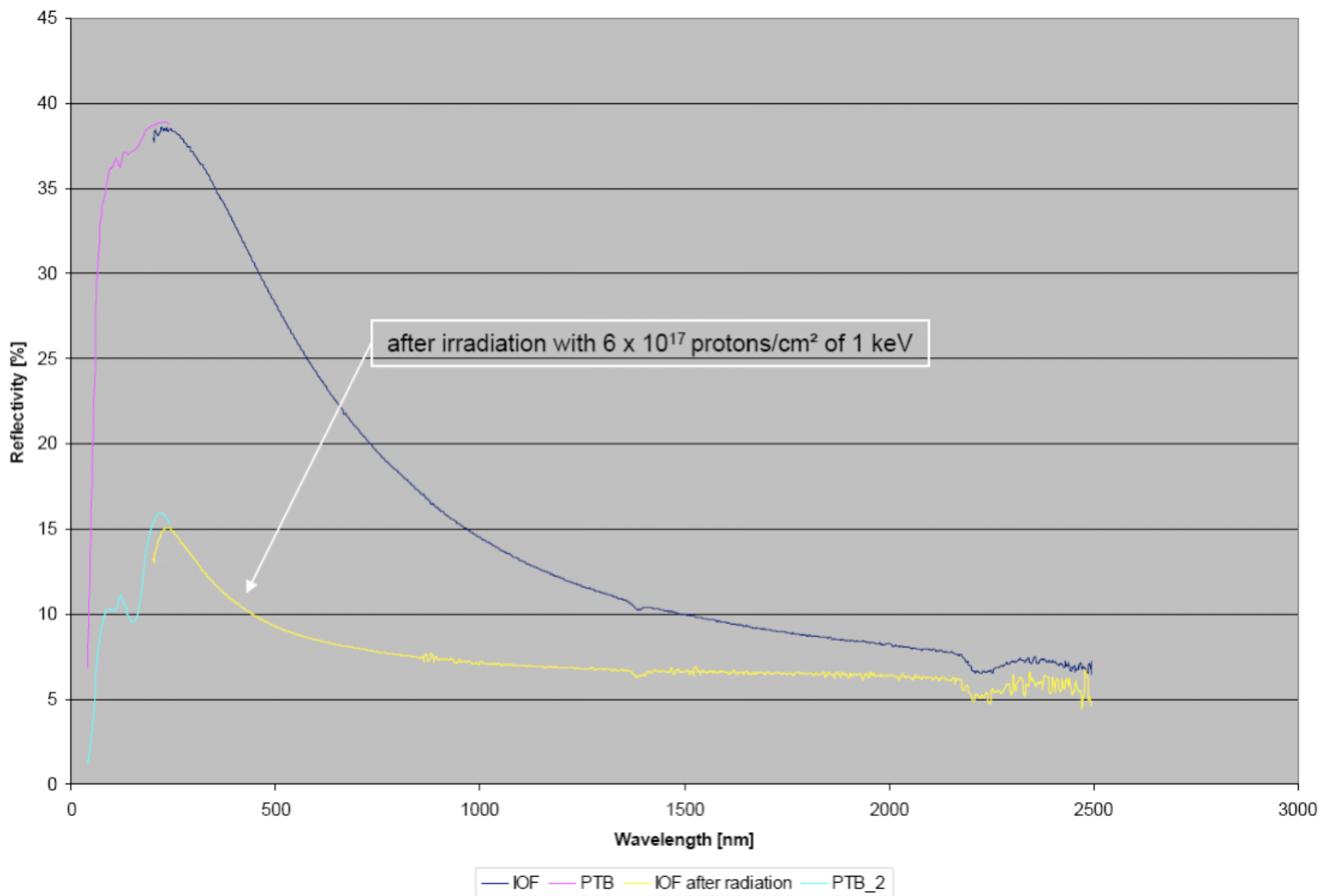
Mikro-Rauigkeit vor (oben) und nach (unten)
Bestrahlung mit Sonnenwindprotonen bei 1 keV. (measured by FhG-IOF)

Mikro-Rauhigkeit nach 1 keV Protonenimplantation



EUV-Reflektivität nach Protonenimplantation



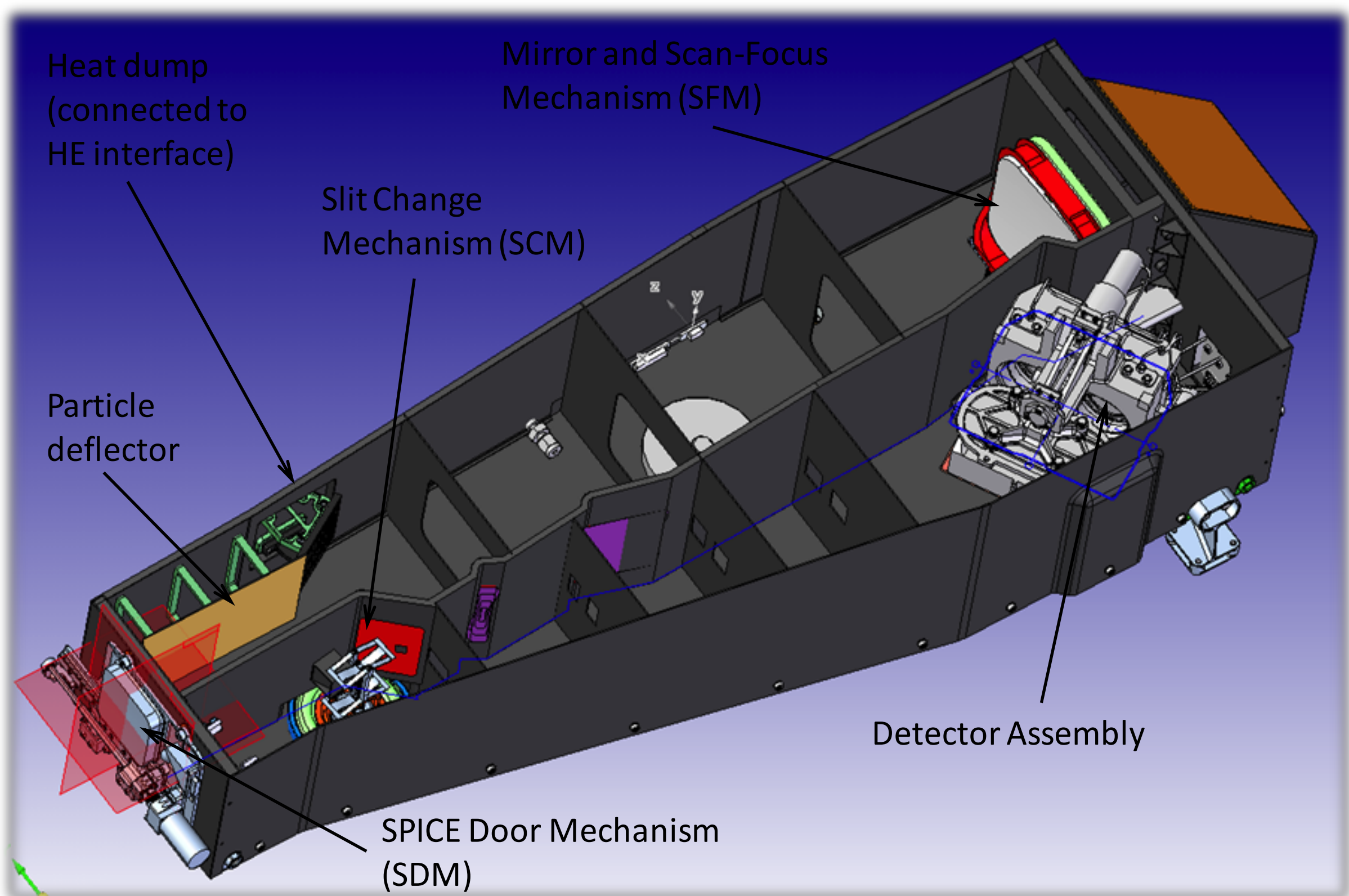


Vergleich der Reflektivität bevor und nach Bestrahlung mit 6×10^{17} p+/cm 2

Testergebnisse

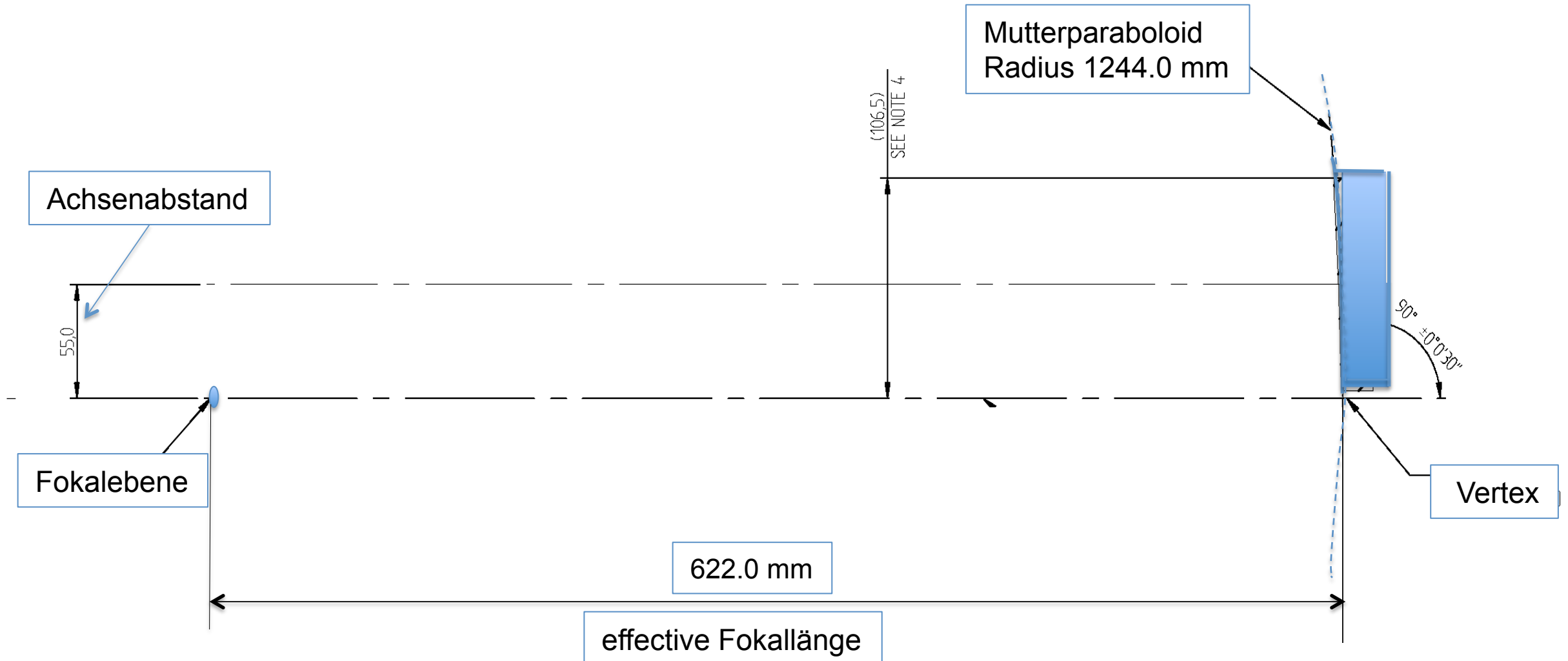
- Bestrahlung mit Protonen zwischen 10 MeV und 60 MeV bis zu einem Fluss von $5 \times 10^{11} \text{ cm}^{-2}$ hat keinen Einfluss auf die Spiegelbeschichtung (keinen Einfluss auf die VUV-Reflektivität, die thermo-optischen Eigenschaften und die Mikro-Rauigkeit.)
- Bestrahlung mit Protonen des Sonnenwinds bei 1 keV bis zu einem Fluss von $1 \times 10^{16} \text{ cm}^{-2}$ hat einen zerstörenden Einfluss auf die Spiegelbeschichtung (auf die VUV-Reflektivität, die thermo-optischen Eigenschaften und die Mikro-Rauigkeit.)
- Überraschenderweise wurden keine Effekte auf dem unbeschichteten Substrat gefunden.
- Die Bestrahlung mit der hochintensiven Lampe bei 123. nm hat keinen Effekt auf die Beschichtung.

SPICE Instrumentdesign

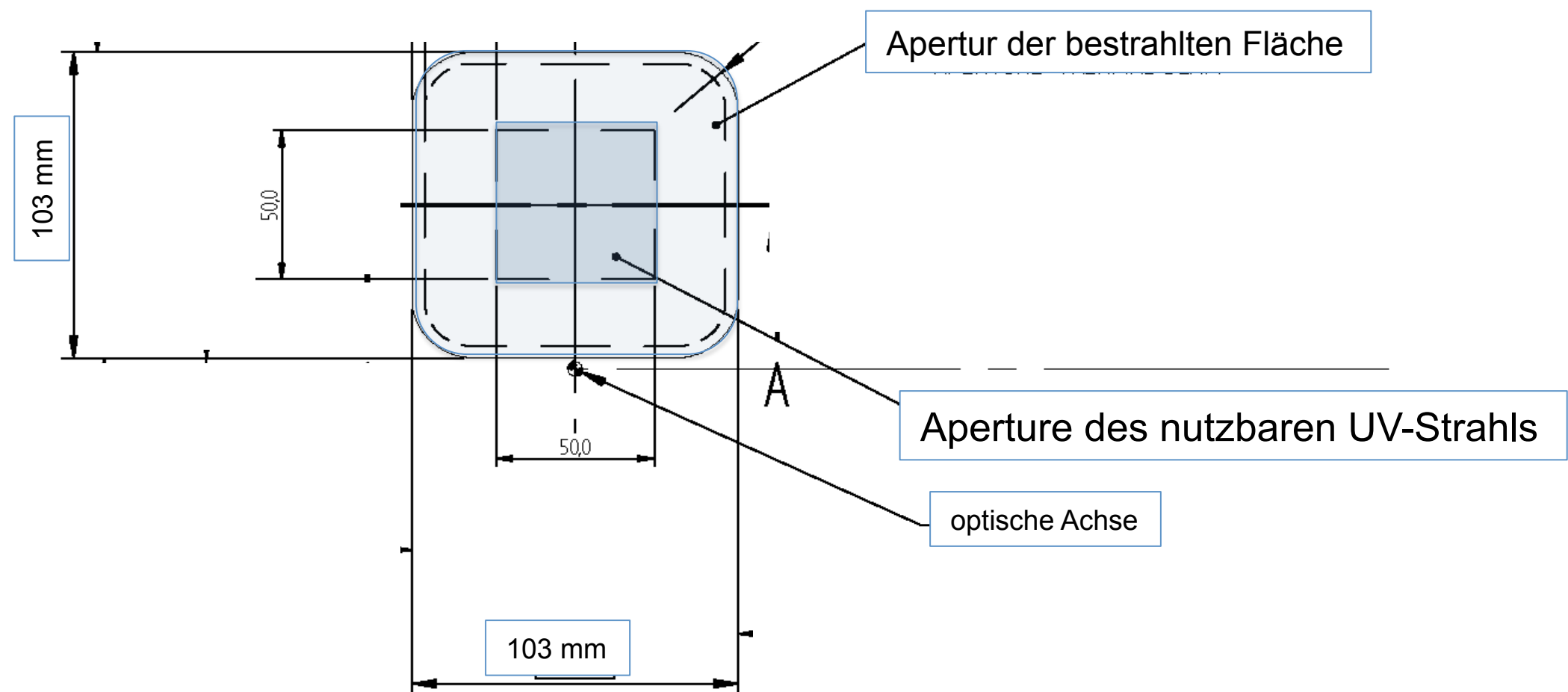


Design des Teleskopspiegels

OFF-AXIS PARABOLOID GEOMETRY



Geometrische Größen

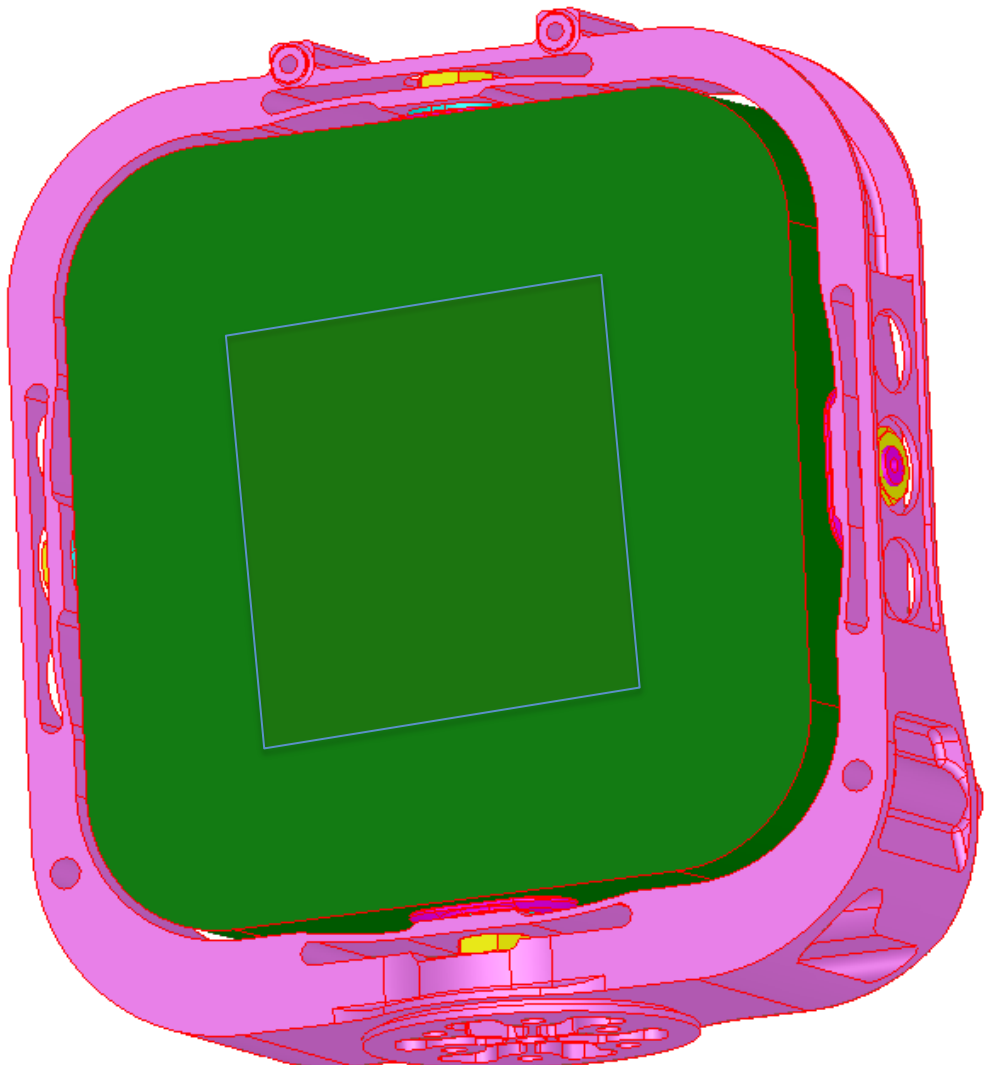




Spezifikationen des Spiegels

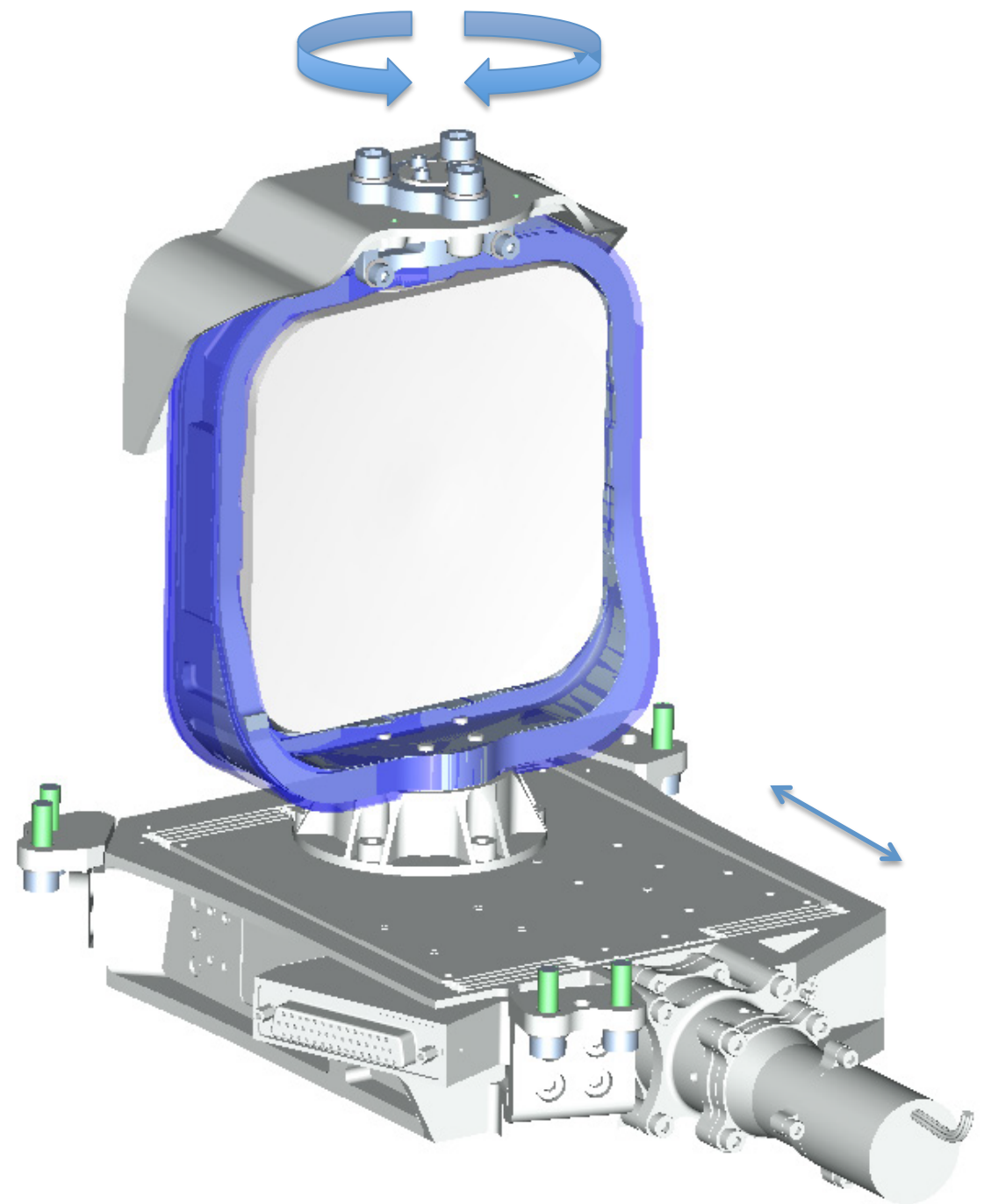
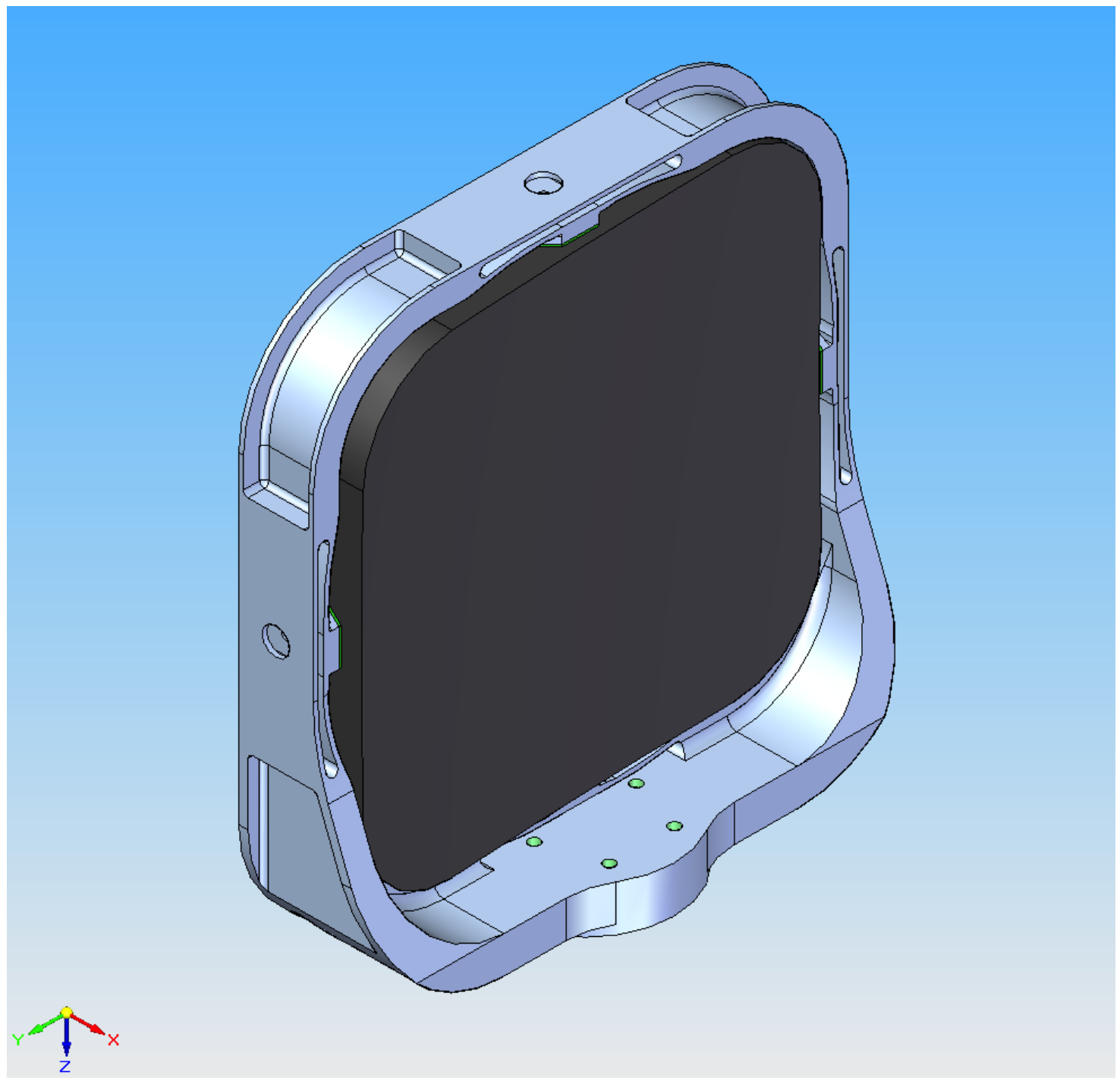
Substrate Material	UV-grade fused-silica (Heraeus Suprasil 300)
Substrate Size	103 x 103 mm
Substrate Thickness	18 mm at centre
Figure of Front Surface	concave, off-axis parabolic
Off-axis Distance	55.0 mm
Base Radius	1244.0 mm
Figure Error	$\lambda/20$ RMS at 632.8 nm over clear aperture
Front-side Coating	single layer B_4C , 10 nm thickness, at central 50 x 50 mm
Clear Aperture of thermal beam	$\geq 95.0 \text{ mm} \times 95.0 \text{ mm}$
Back-side Coating	Anti-reflective MgF_2 single layer

Spiegelaufhängung



- single parabola
- rectangular aperture area
- focal length of 622 mm
- mounted to a frame of the SFM
- substrate: square 103.0 mm
- 18 mm thickness at the centre.
- useful aperture is 95 mm x 95 mm
- square with rounded corners.

Aufhängung und Unterbringung





Fertigung des Spiegels

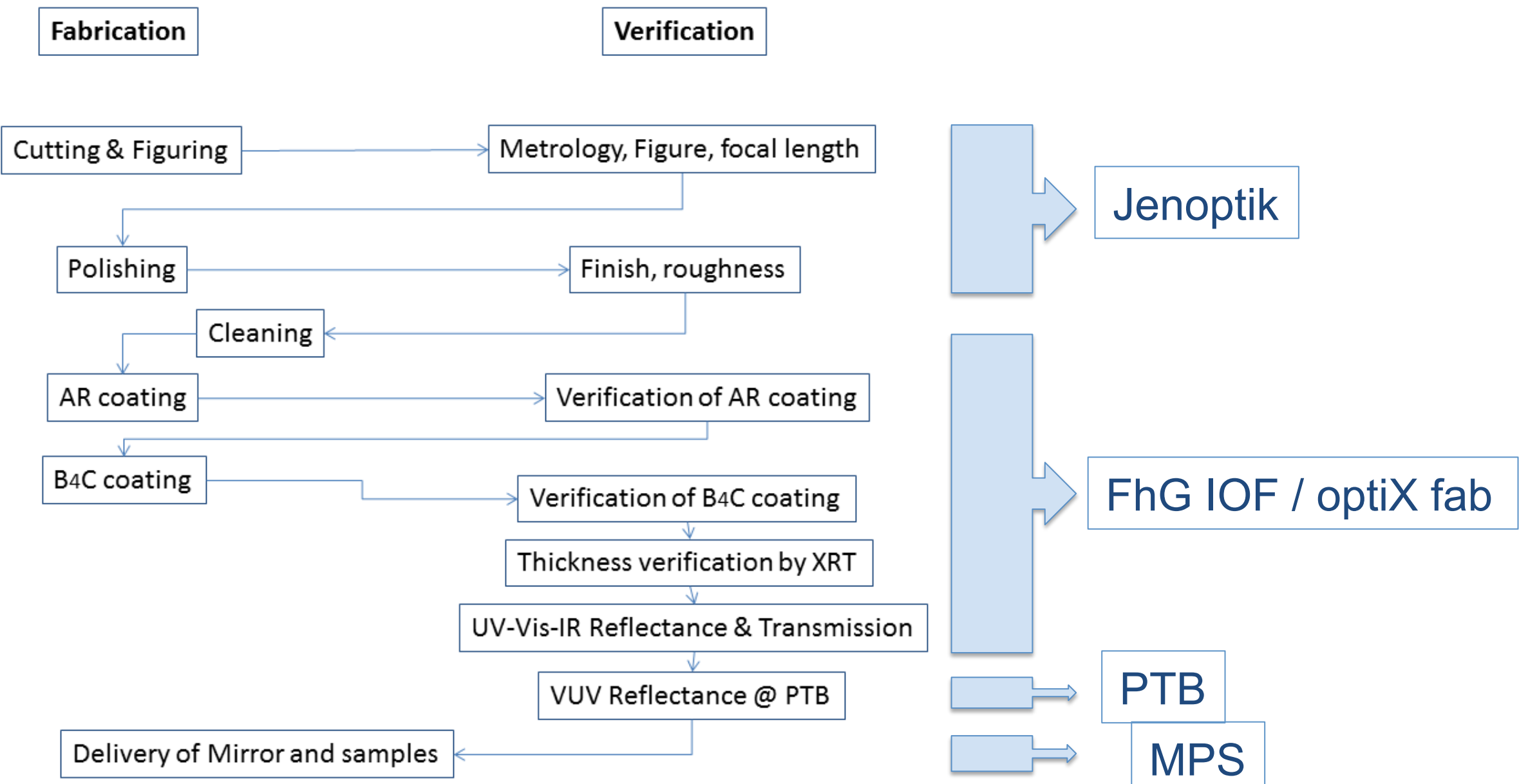
Zusammenarbeit zwischen MPS und Fraunhofer Institut für Angewandte Optik und Feinmechanik (FhG-IOF) und optiX fab GmbH

- Substratfertigung und Vermessung durch Jenoptik
- Optische Beschichtungen und Charakterisierung (XRD) optiXfab/FhG-IOF
- Rauhigkeitsmessungen (AFM) optiXfab/FhG-IOF
- Thermo-optische Eigenschaften (R,T,A) optiXfab/FhG-IOF
- Streulichtberechnungen optiXfab/FhG-IOF

Physikalisch-Technische Bundesanstalt (PTB)

- Metrology Light Source (MLS)
- VUV and EUV metrology

Spiegelfertigung und Verifikation

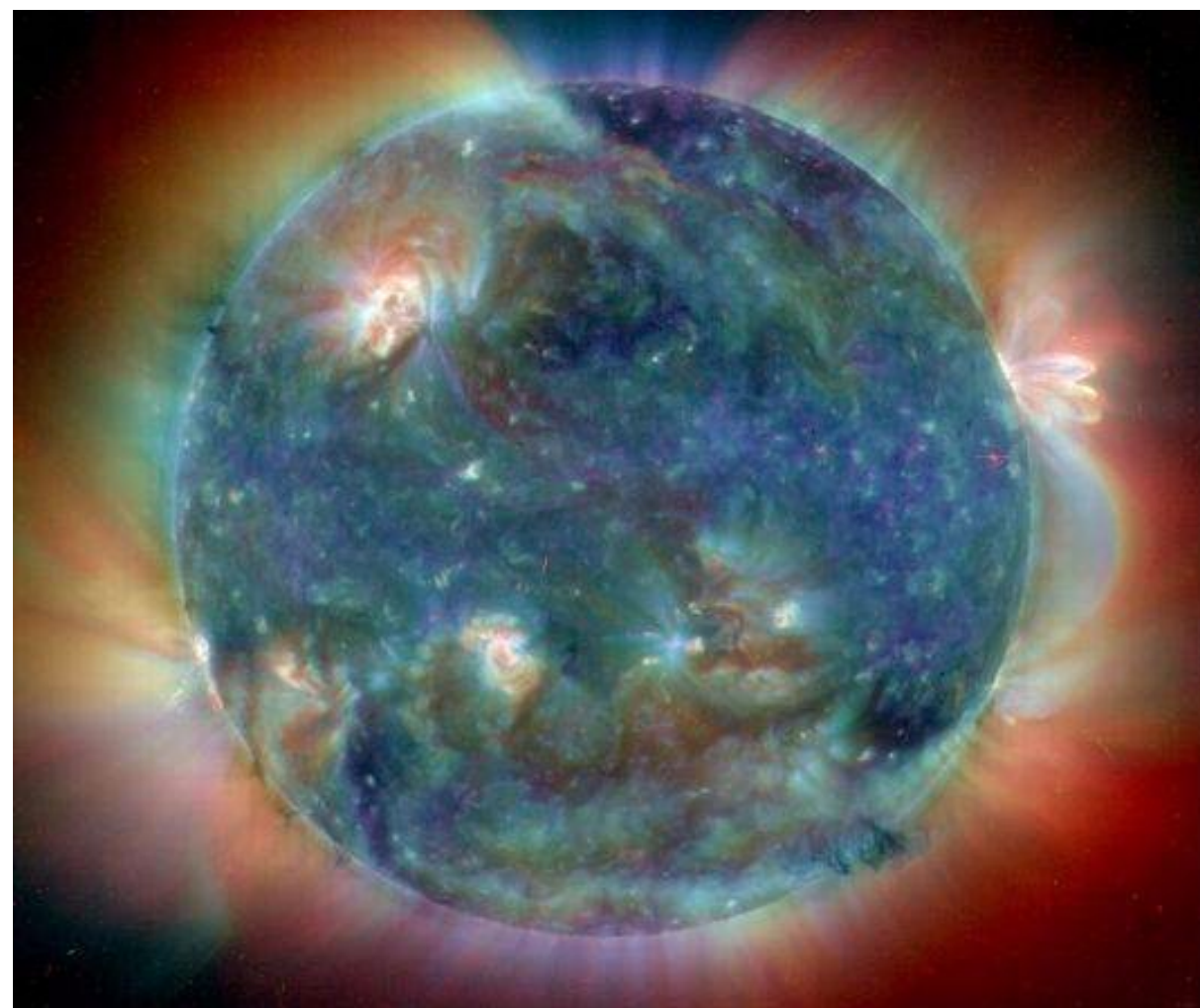




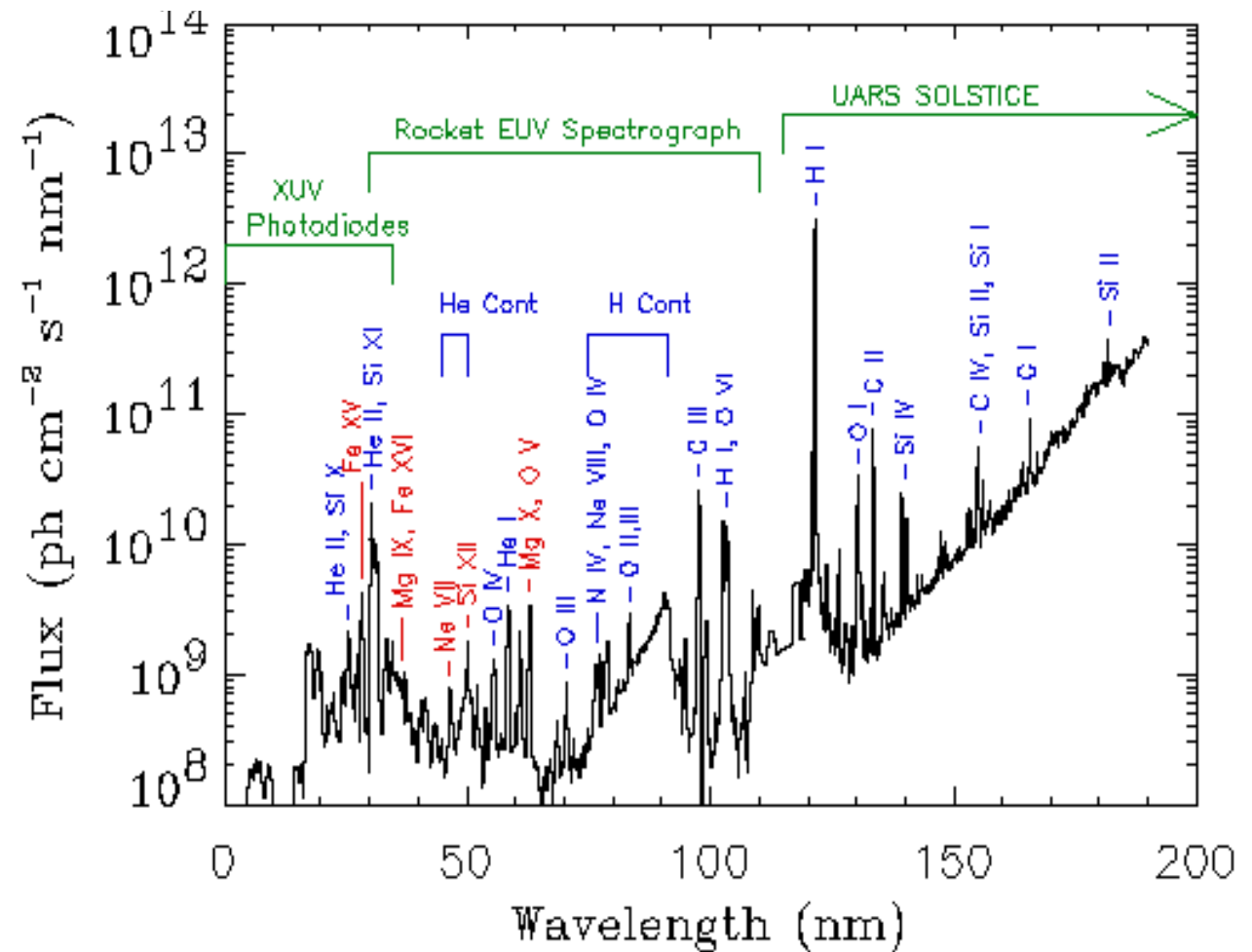
Zugabe:

VUV-Kameraentwicklung für
Sonnenbeobachtung vom Weltraum

VUV-Detektoren für Sonnenobservation vom Weltraum



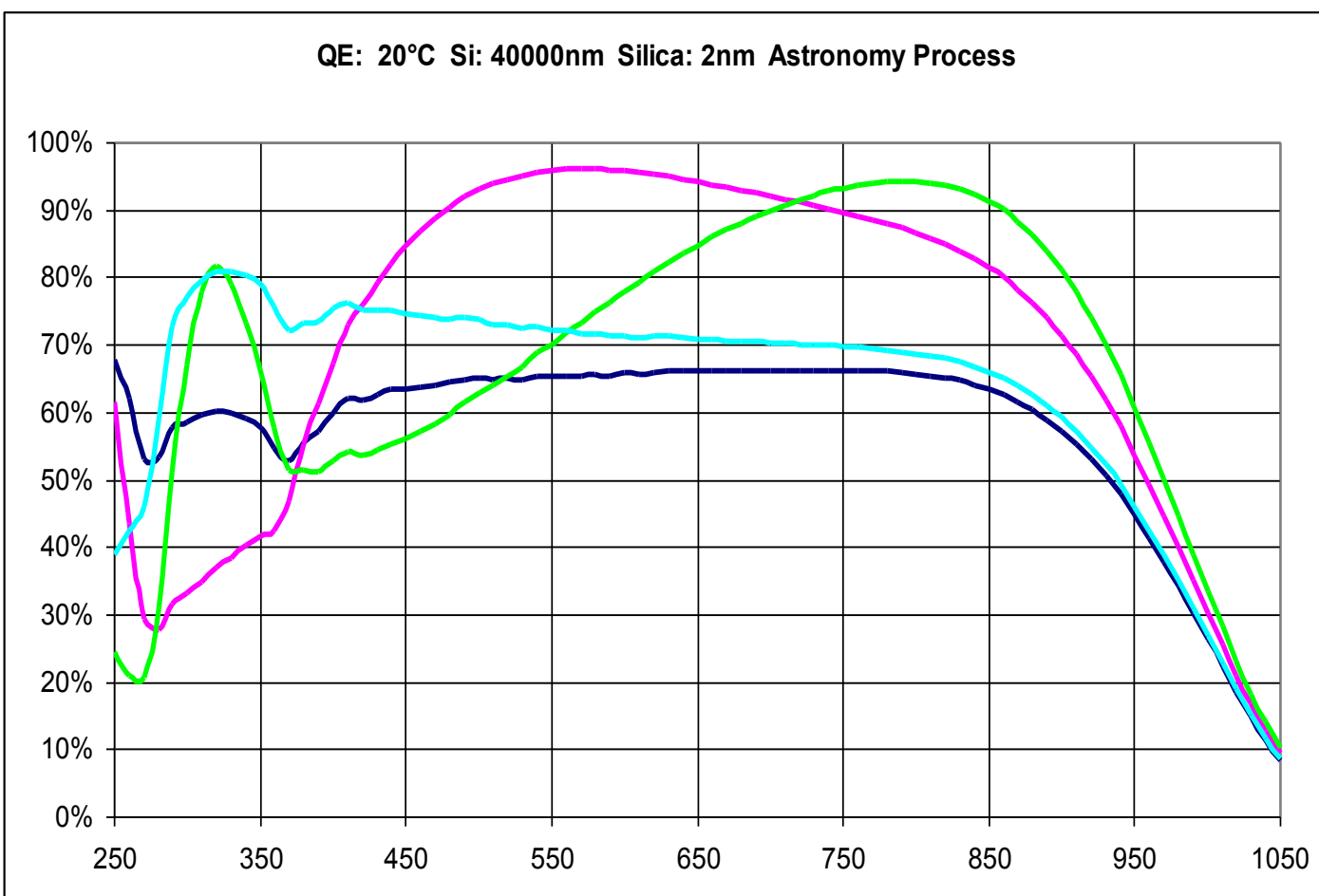
TRACE-image of the Sun in the EUV



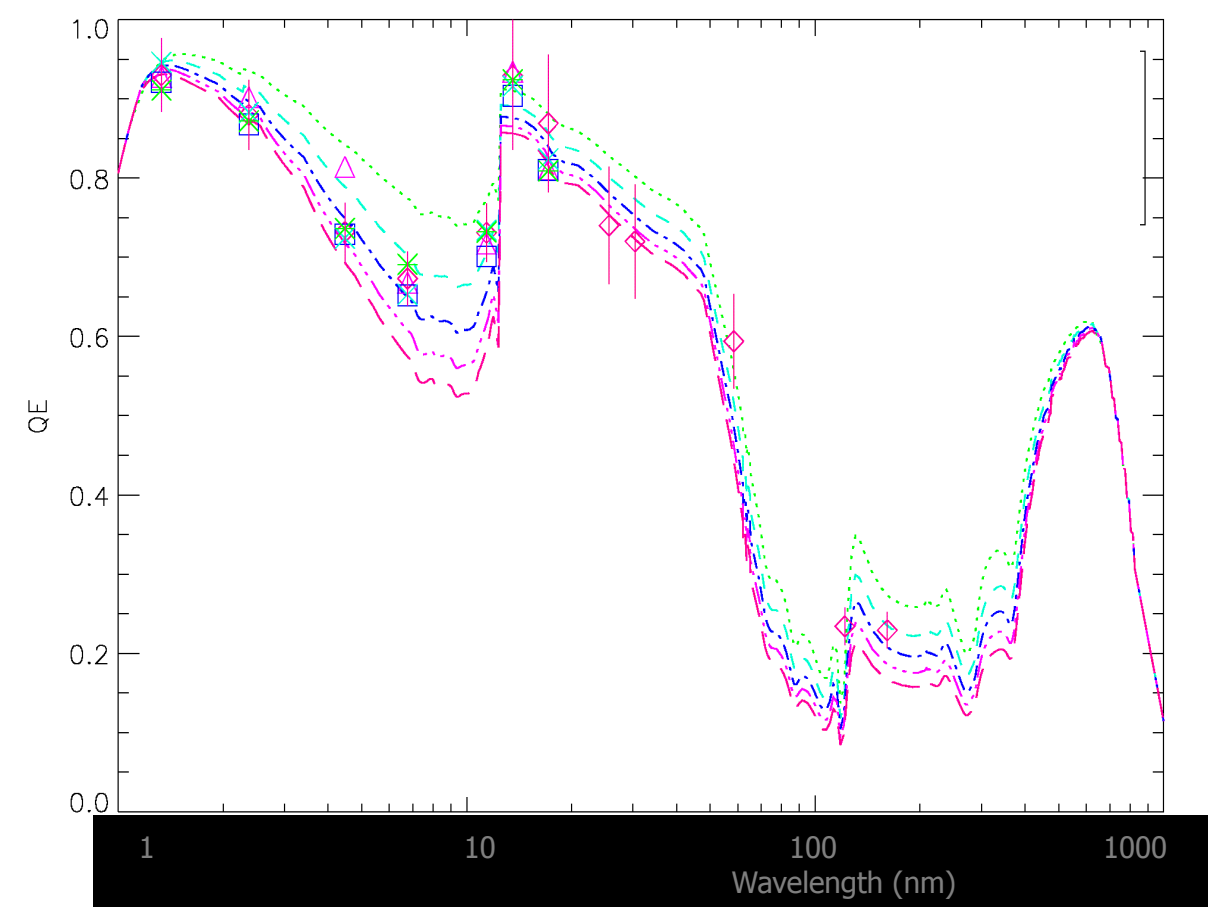
Emissionsspektrum der Sonne im VUV

Backside thinning of CCDs and APSs

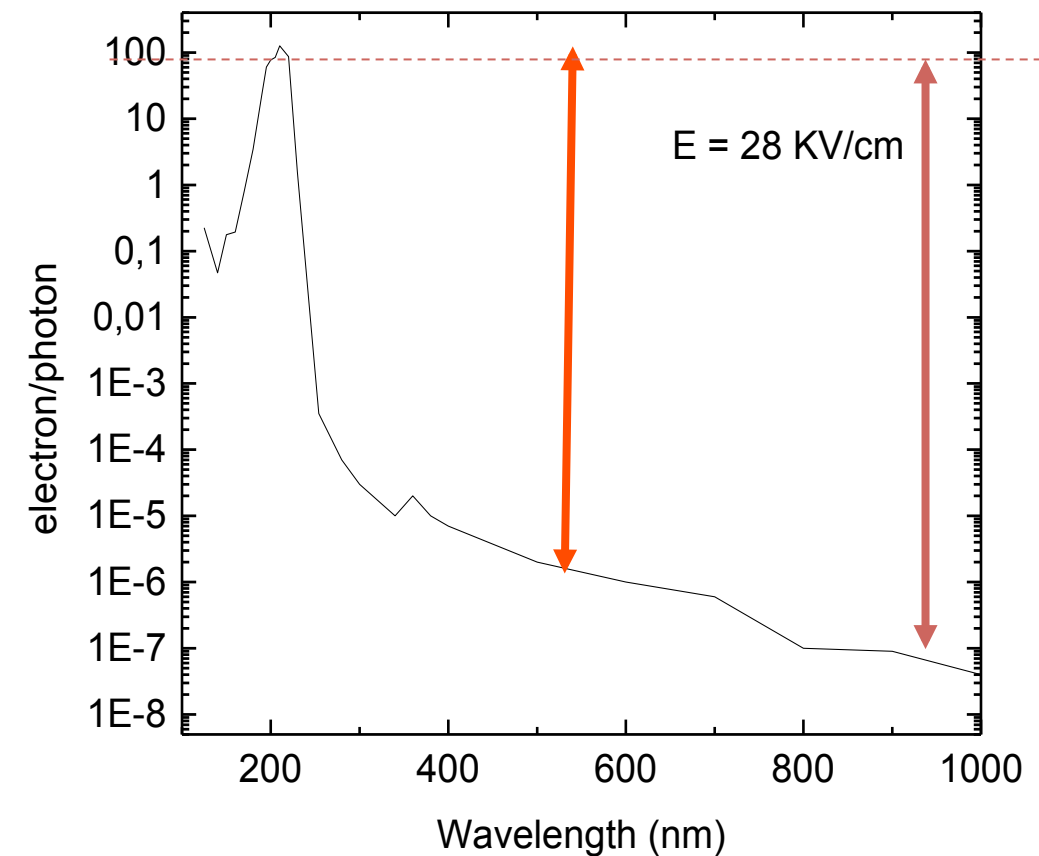
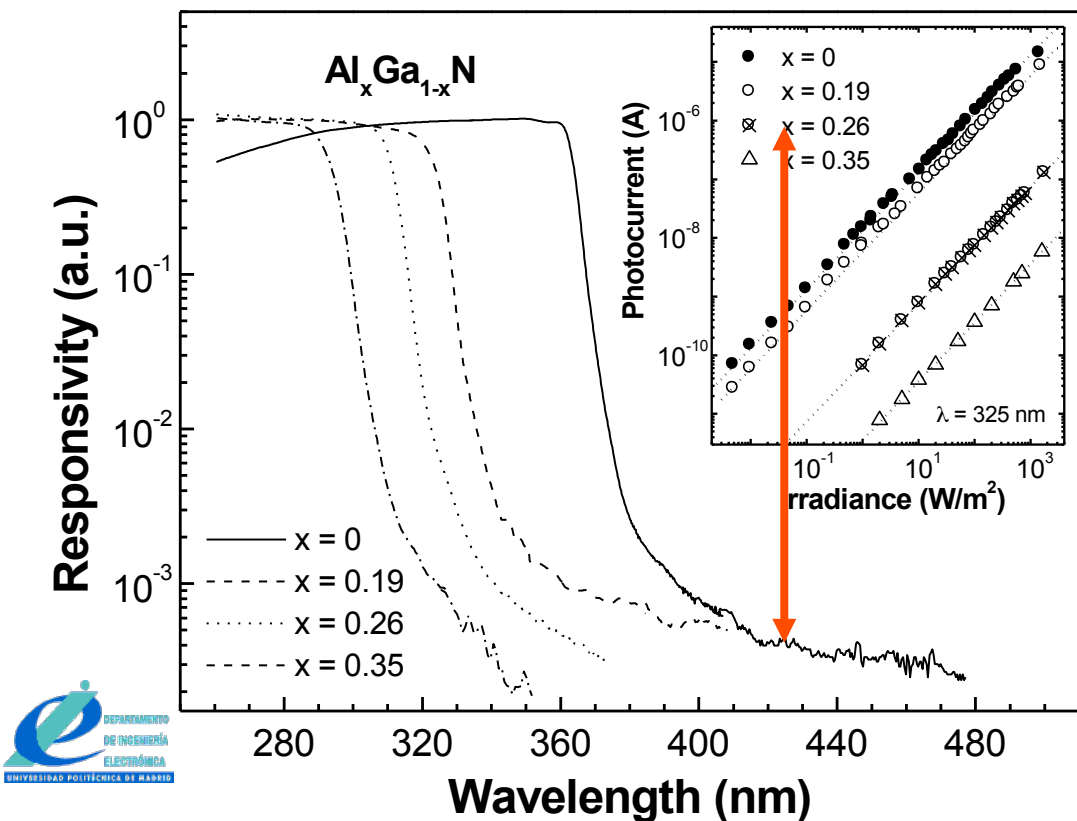
UV to NIR



VUV to soft X-ray



Sensoren aus Material mit großer Bandlücke (wide band gap semiconductor sensors)



Pau *et al.* 2003.

Nitride

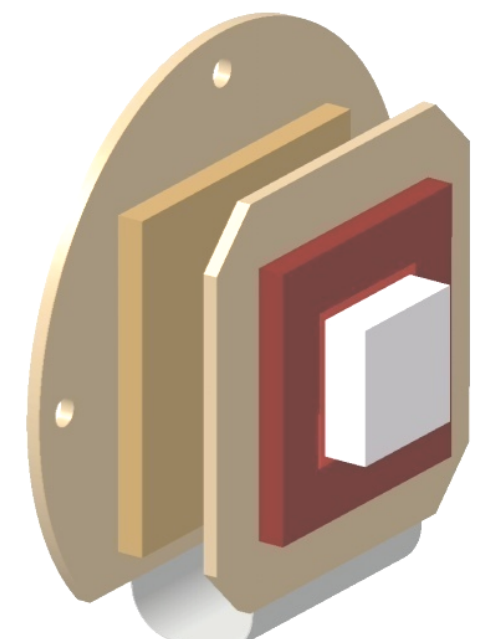
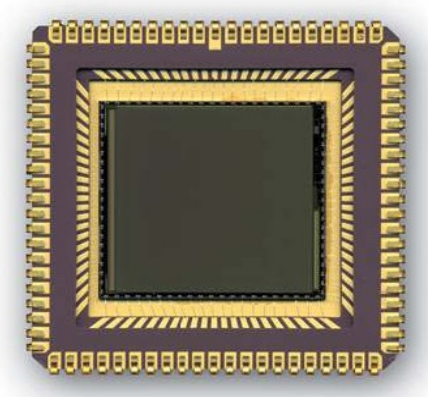
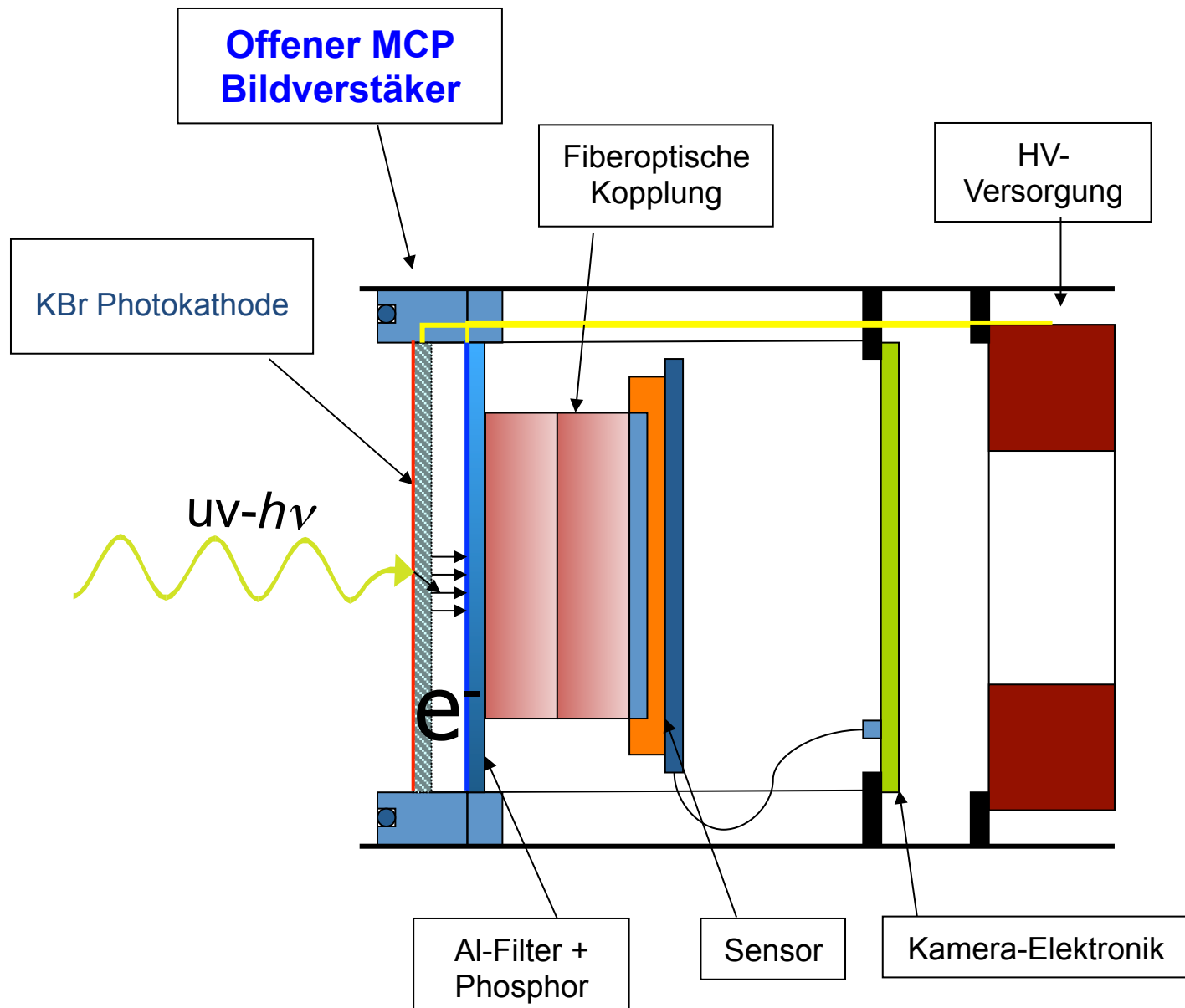
- ✓ blind im Sichtbaren
- ✓ geringer Dunkelstrom
- ✓ keine Kühlung erforderlich

Pace *et al.* 2000.

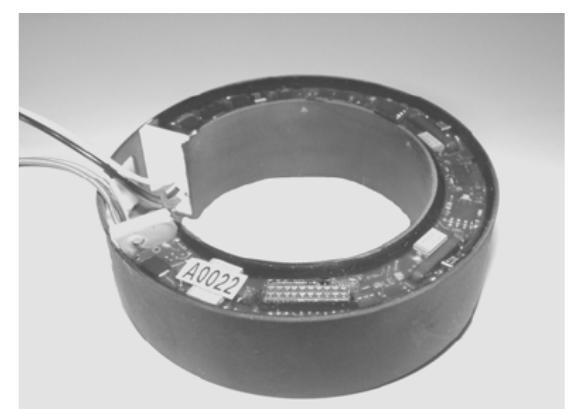
Diamond

Sichtbar-blinde Kamera mit Bildverstärker

= MCP-Bildverstärker gekoppelt mit Bildsensor

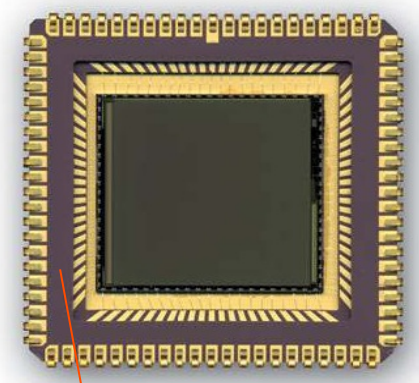


APS sensor array on PCB

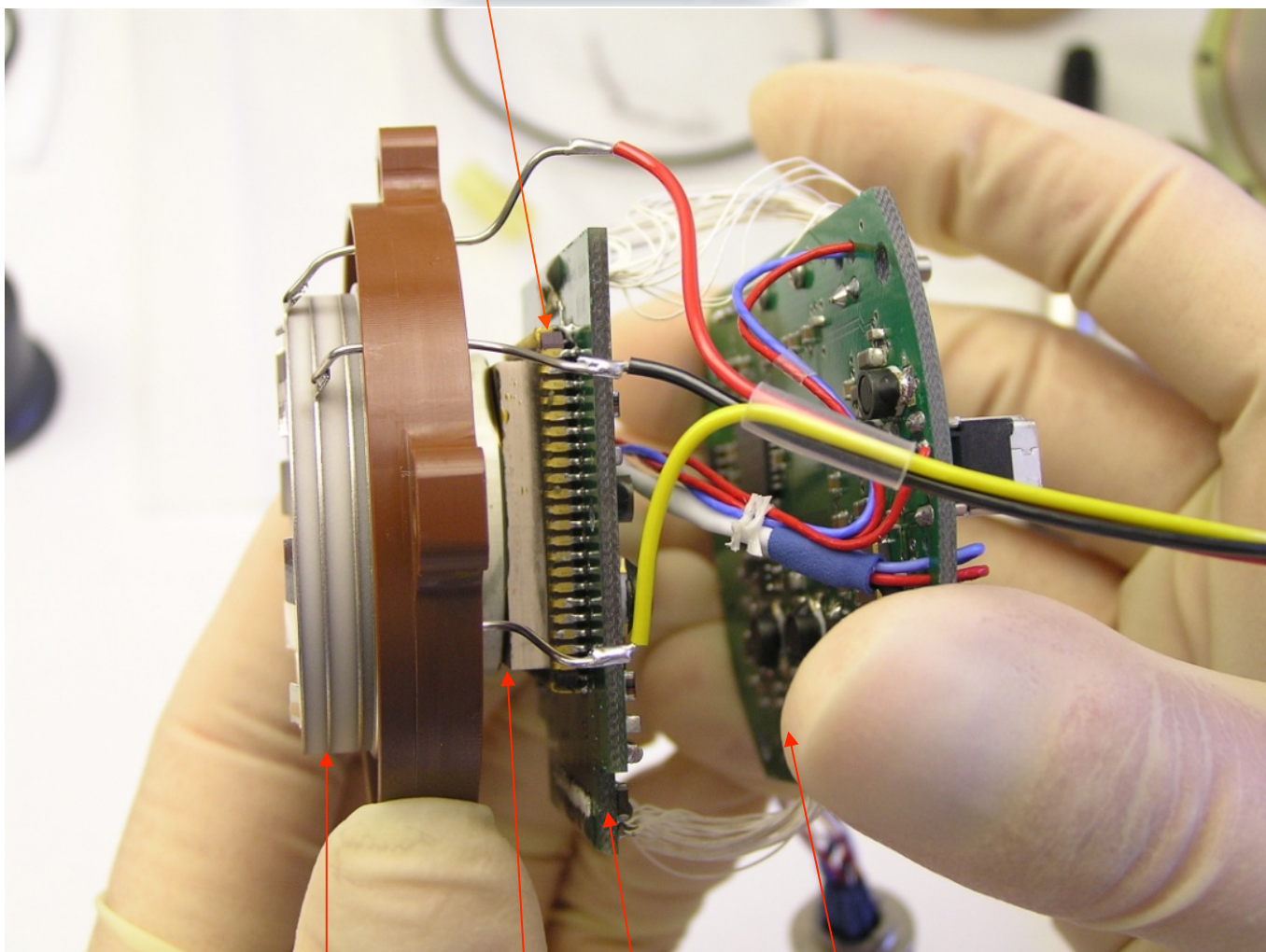


HV power supply

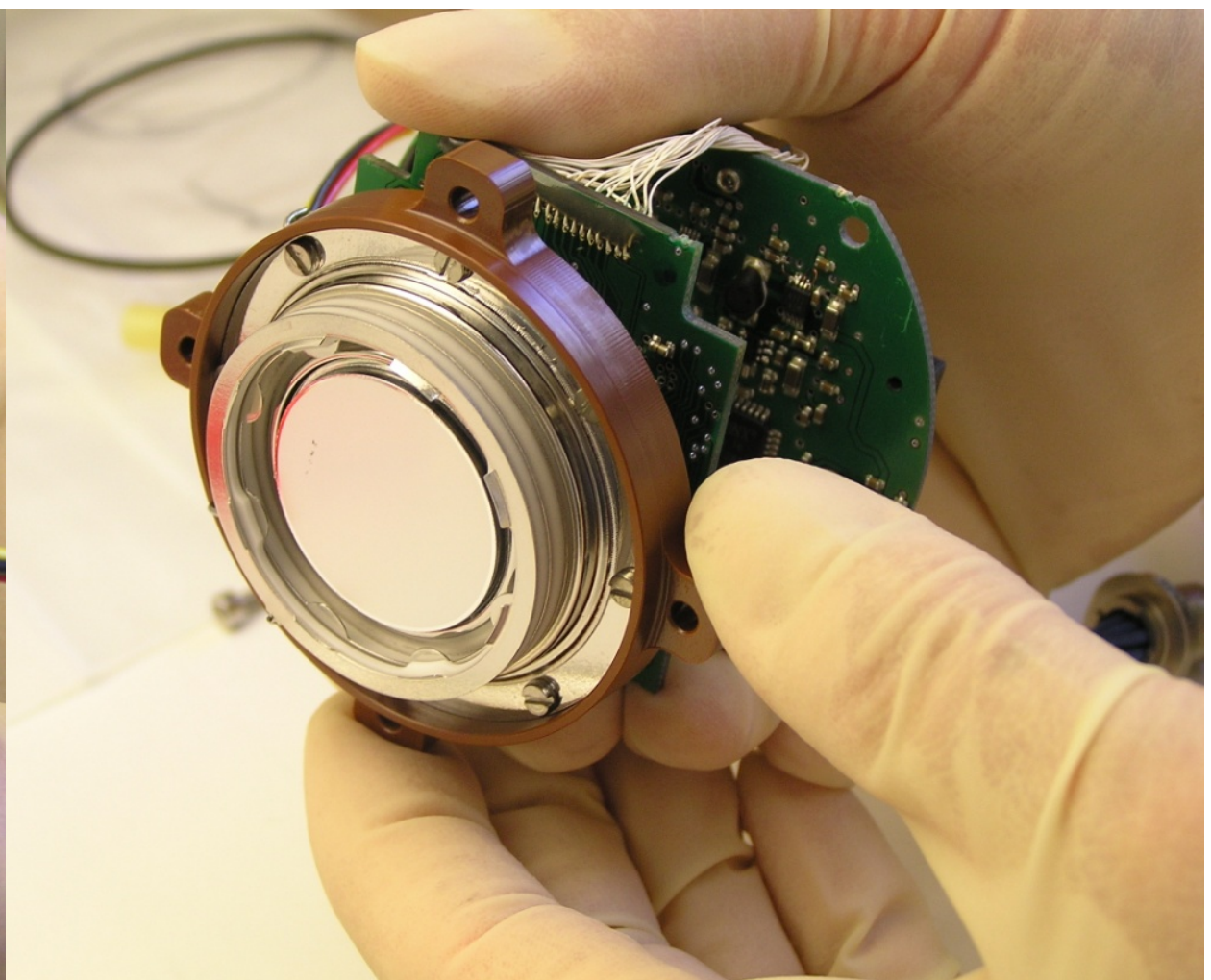
Offene Bildverstärker-Kamera



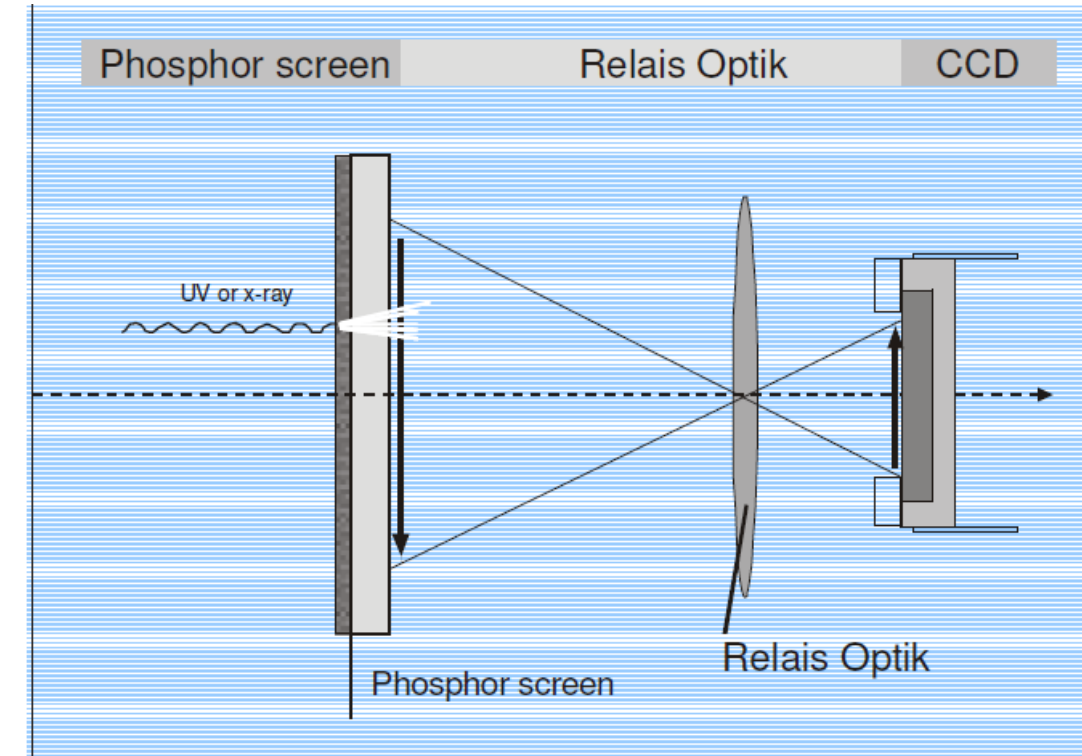
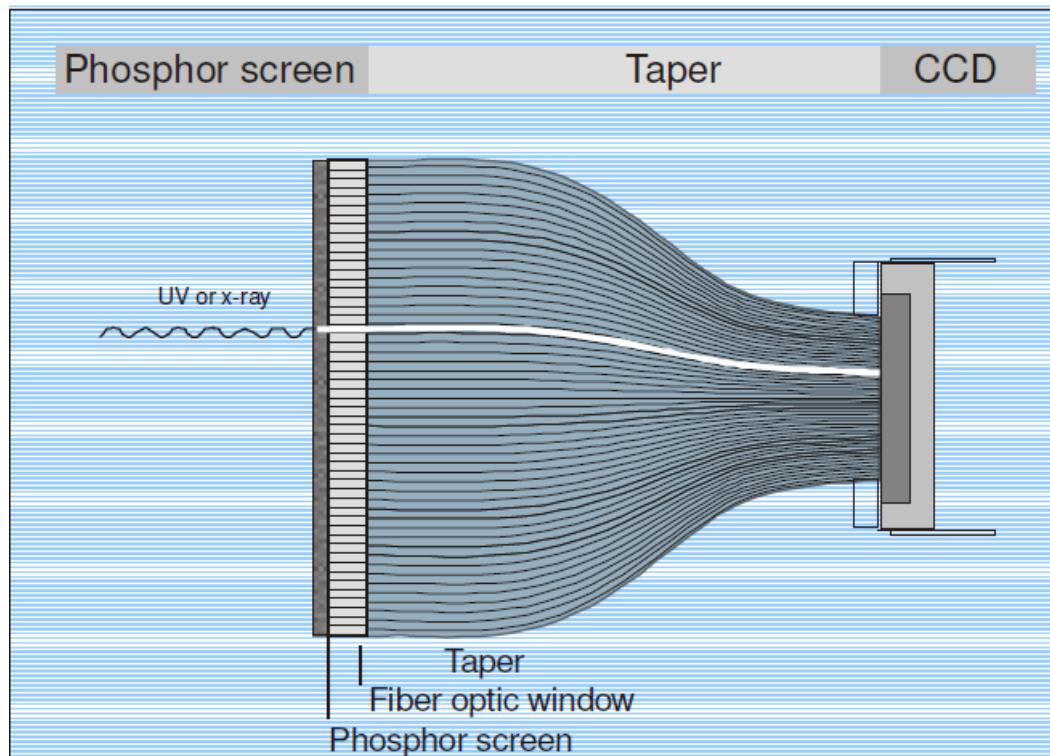
STAR 1000
visible CMOS-APS sensor



MCP stack
fiber optic blocks
APS sensor board
FEE board



Optische Kopplung

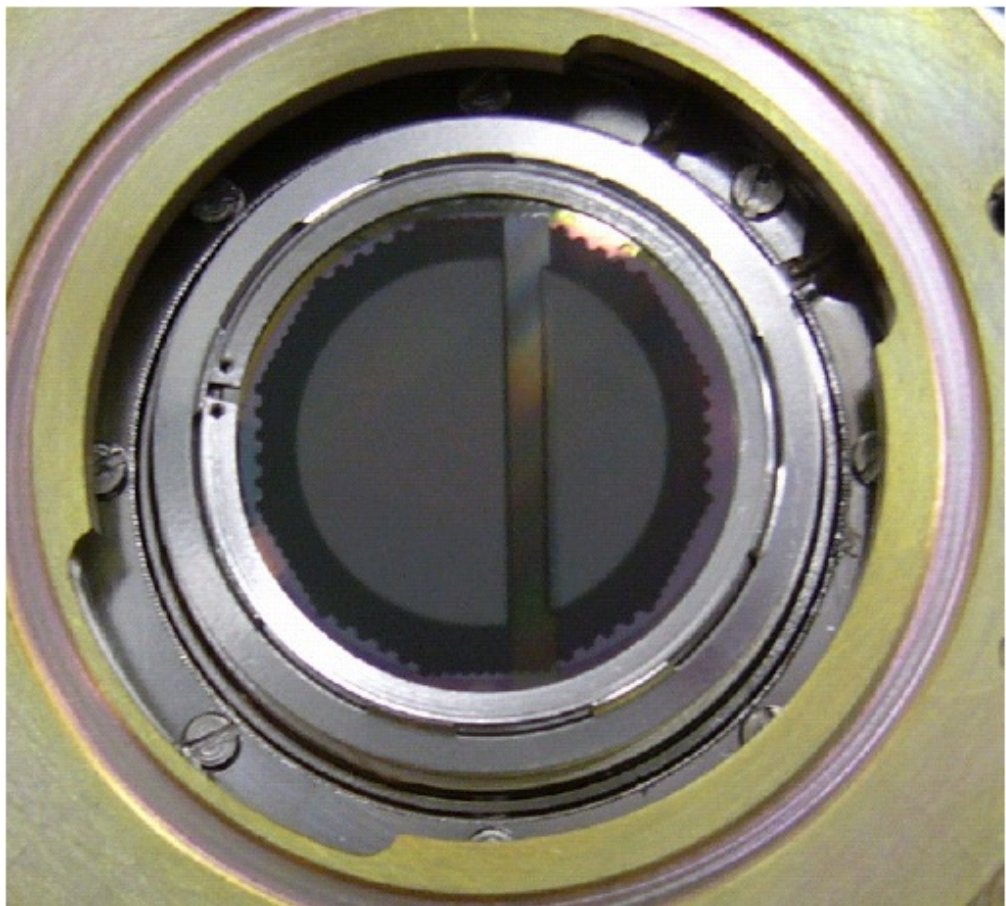


Bildverstärker kann an den Sensor angepasst werden

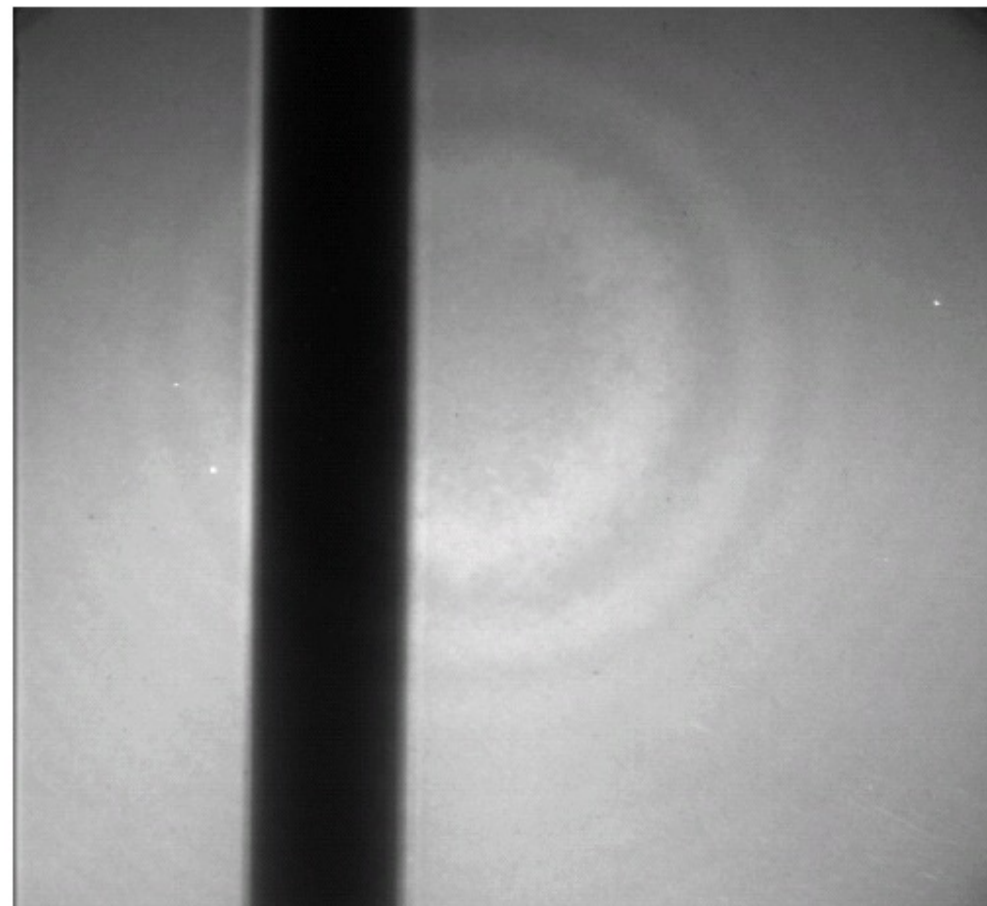
- Bildfeldgröße ist wählbar unabhängig von der Sensorgröße!
- Dynamikbereich kann angepasst werden (durch HV)
- Photokathodenmaterial wählbar (sichtbar blind)

Selektive Photokathodenbeschichtung

Photokathode auf MCP-Vorderseite



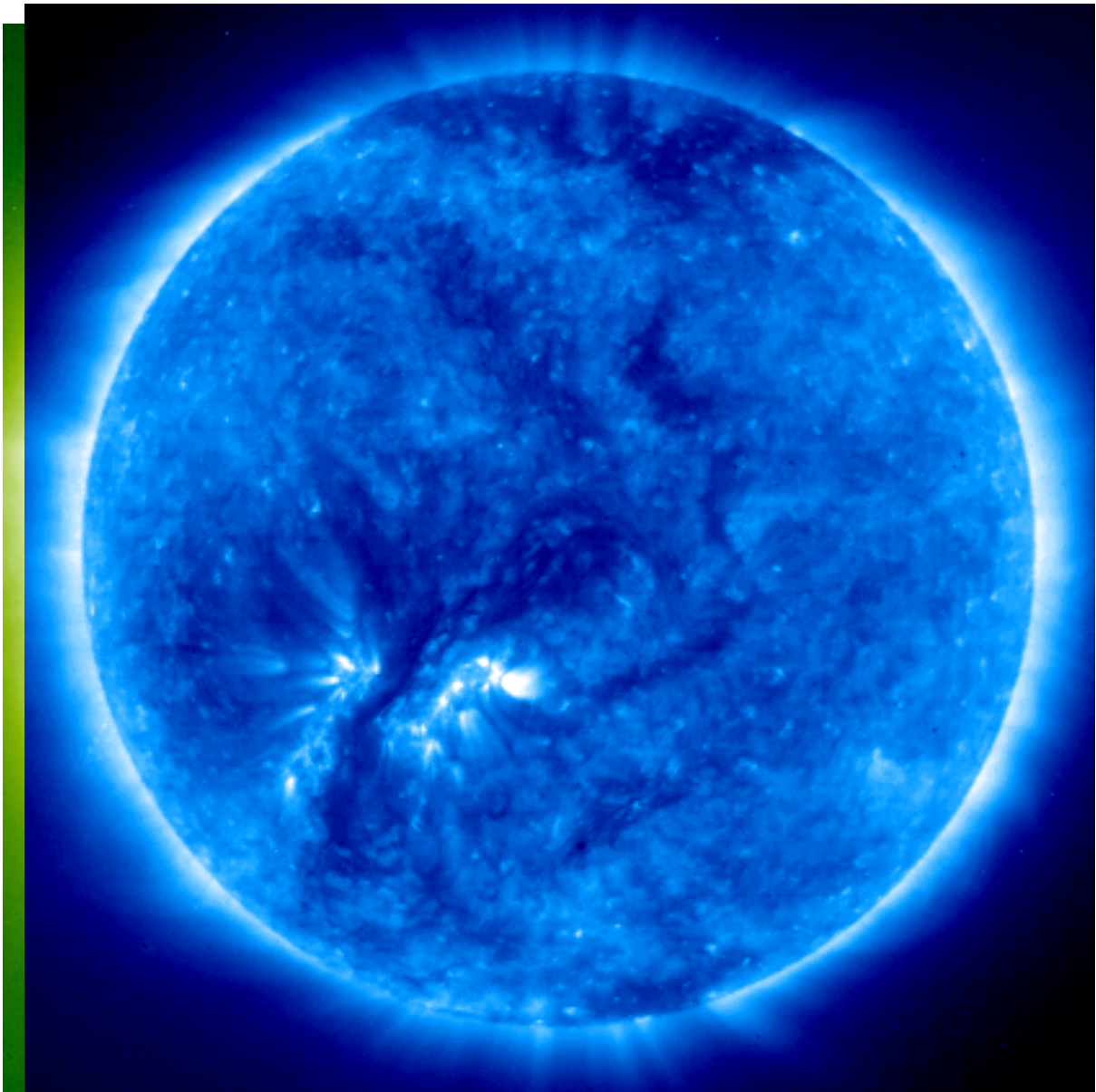
Testbild bei 121.6 nm



Beschichtung durch Verdampfen unter Vakuum

Die Sonne am 24. September 1996

Fe IX/X 17.2 nm
(SOHO/EIT)



H I Lyman- ϵ
(SOHO/SUMER)

